

(19) 日本国特許庁(JP)

(12) 公表特許公報(A)

(11) 特許出願公表番号

特表2011-527701

(P2011-527701A)

(43) 公表日 平成23年11月4日(2011.11.4)

(51) Int.Cl.	F I	テーマコード (参考)
<b>C07D 211/22</b> (2006.01)	C07D 211/22	4C054
<b>C07D 401/04</b> (2006.01)	C07D 401/04 C S P	4C063
<b>A61K 31/506</b> (2006.01)	A61K 31/506	4C072
<b>C07D 401/14</b> (2006.01)	C07D 401/14	4C086
<b>A61K 31/445</b> (2006.01)	A61K 31/445	

審査請求 有 予備審査請求 未請求 (全 91 頁) 最終頁に続く

(21) 出願番号 特願2011-517627 (P2011-517627)  
 (86) (22) 出願日 平成21年7月9日 (2009.7.9)  
 (85) 翻訳文提出日 平成23年3月10日 (2011.3.10)  
 (86) 国際出願番号 PCT/US2009/050139  
 (87) 国際公開番号 W02010/006191  
 (87) 国際公開日 平成22年1月14日 (2010.1.14)  
 (31) 優先権主張番号 61/080,096  
 (32) 優先日 平成20年7月11日 (2008.7.11)  
 (33) 優先権主張国 米国 (US)

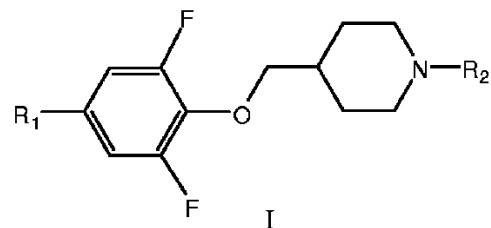
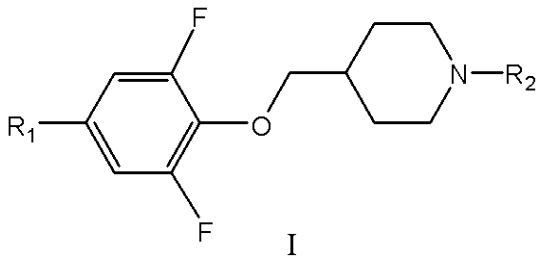
(71) 出願人 503261524  
 アイアールエム・リミテッド・ライアピリ  
 ティ・カンパニー  
 I R M, L L C  
 英国領バーミューダ、エイチエム・エルエ  
 ックス、ハミルトン、ポスト・オフィス・  
 ボックス・エイチエム2899、フロント  
 ・ストリート131番  
 (74) 代理人 100062144  
 弁理士 青山 稔  
 (74) 代理人 100101454  
 弁理士 山田 卓二  
 (74) 代理人 100106518  
 弁理士 松谷 道子

最終頁に続く

(54) 【発明の名称】 G P R 1 1 9 活性のモジュレーターとしての4-フェノキシメチルピペリジン類

## (57) 【要約】

本発明は、式 I の化合物、かかる化合物を含む医薬組成物化合物および G P R 1 1 9 の活性と関連する疾患または障害の処置または予防のためのかかる化合物の使用方法を提供する。

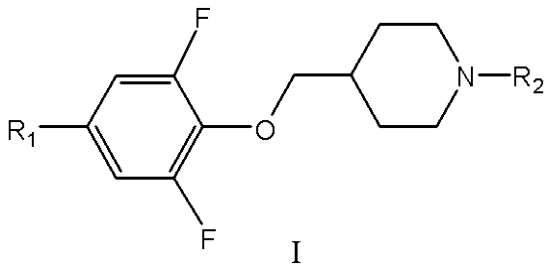


## 【特許請求の範囲】

## 【請求項 1】

式 I :

## 【化 1】



〔式中、

R<sub>1</sub> はフェニル、ピリジン - 2 - イル、ピリジン - 3 - イル、ピリジン - 4 - イル、ピリミジン - 5 - イル、ピラゾール - 4 - イル、1H - ピラゾール - 4 - イル、6 - オキソ - 1,6 - ジヒドロピリジン - 3 - イル、2 - オキソ - 1,2 - ジヒドロピリミジン - 5 - イル、2 - オキソ - 1,2 - ジヒドロピリジン - 4 - イルおよび 2 - オキソ - 2,3 - ジヒドロオキサゾロ[4,5 - b]ピリジン - 6 - イルから選択され；ここで、R<sub>1</sub> の該フェニル、ピリジン - 2 - イル、ピリジン - 3 - イル、ピリジン - 4 - イル、ピリミジン - 5 - イル、ピラゾール - 4 - イル、1H - ピラゾール - 4 - イル、6 - オキソ - 1,6 - ジヒドロピリジン - 3 - イル、2 - オキソ - 1,2 - ジヒドロピリミジン - 5 - イル、2 - オキソ - 1,2 - ジヒドロピリジン - 4 - イルまたは 2 - オキソ - 2,3 - ジヒドロオキサゾロ[4,5 - b]ピリジン - 6 - イルは、場合により、ハロ、- X<sub>1</sub>R<sub>4</sub>、- X<sub>1</sub>OR<sub>4</sub>、- X<sub>1</sub>C(O)R<sub>4</sub>、- X<sub>1</sub>C(O)OR<sub>4</sub>、- X<sub>2</sub>NR<sub>4</sub>C(O)R<sub>4</sub>、- X<sub>1</sub>S(O)<sub>2</sub>R<sub>4</sub>、- X<sub>1</sub>NR<sub>4</sub>S(O)<sub>2</sub>R<sub>4</sub>、- X<sub>1</sub>C(O)NR<sub>4</sub>R<sub>5</sub>、- X<sub>1</sub>C(O)NR<sub>4</sub>X<sub>2</sub>OR<sub>5</sub>、- X<sub>1</sub>C(O)NR<sub>4</sub>X<sub>2</sub>NR<sub>4</sub>R<sub>5</sub>、- X<sub>1</sub>C(O)NR<sub>4</sub>X<sub>2</sub>C(O)OR<sub>5</sub>、- X<sub>1</sub>S(O)<sub>0-2</sub>X<sub>2</sub>R<sub>4</sub>、- X<sub>1</sub>S(O)<sub>0-2</sub>X<sub>2</sub>OR<sub>4</sub>、- X<sub>2</sub>CN、- X<sub>1</sub>OX<sub>2</sub>R<sub>4</sub>、- X<sub>1</sub>NR<sub>5</sub>X<sub>2</sub>R<sub>4</sub>、- X<sub>2</sub>NR<sub>4</sub>R<sub>5</sub>、- X<sub>1</sub>S(O)<sub>0-2</sub>X<sub>2</sub>C(O)R<sub>4</sub>、- X<sub>1</sub>S(O)<sub>0-2</sub>X<sub>2</sub>C(O)OR<sub>4</sub> および - X<sub>1</sub>S(O)<sub>0-2</sub>NR<sub>4</sub>R<sub>5</sub> から独立して選択される 1 ~ 3 個の基で置換されていてよく；ここで、X<sub>1</sub> は結合、O、NR<sub>6</sub> および C<sub>1-4</sub> アルキレンから選択され；R<sub>5</sub> は水素および C<sub>1-6</sub> アルキルから選択され；各 X<sub>2</sub> は独立して結合および C<sub>1-4</sub> アルキレンから選択され；各 R<sub>4</sub> は独立して水素、C<sub>1-6</sub> アルキル、C<sub>6-10</sub> アリール、C<sub>1-10</sub> ヘテロアリール、C<sub>3-8</sub> ヘテロシクロアルキル、C<sub>3-8</sub> シクロアルキルおよび - X<sub>3</sub>C(O)OR<sub>7</sub>、- X<sub>3</sub>R<sub>7</sub>、- X<sub>3</sub>OR<sub>7</sub>、- X<sub>3</sub>NR<sub>7</sub>R<sub>8</sub> から選択され；ここで、R<sub>4</sub> の該アルキル、アリール、ヘテロアリール、シクロアルキルおよびヘテロシクロアルキルは、場合により、ヒドロキシ、ハロ、アミノ、シアノ、C<sub>1-6</sub> アルキル、ハロ - 置換 - C<sub>1-6</sub> アルキル、ヒドロキシ - 置換 - C<sub>1-6</sub> アルキル、C<sub>1-6</sub> アルコキシ、ハロ - 置換 - C<sub>1-6</sub> アルコキシ、C<sub>6-10</sub> アリール - C<sub>1-4</sub> アルコキシおよび - NR<sub>7</sub>C(O)R<sub>8</sub> から独立して選択される 1 ~ 3 個の基で置換されていてよく；X<sub>3</sub> は C<sub>1-3</sub> アルキレンであり；そして R<sub>7</sub> は水素、C<sub>1-6</sub> アルキルおよび C<sub>3-8</sub> ヘテロシクロアルキル(場合により C<sub>1-6</sub> アルキルで置換されている)から選択され；R<sub>8</sub> は独立して水素および C<sub>1-6</sub> アルキルから選択され；そして

R<sub>2</sub> は R<sub>9</sub> および - C(O)OR<sub>9</sub> から選択され；ここで、R<sub>9</sub> は C<sub>1-6</sub> アルキル、C<sub>6-10</sub> アリール、C<sub>1-10</sub> ヘテロアリール、C<sub>3-8</sub> シクロアルキルおよび C<sub>3-8</sub> ヘテロシクロアルキルから選択され；ここで、R<sub>9</sub> の該アルキル、アリール、ヘテロアリール、シクロアルキルまたはヘテロシクロアルキルは、場合により、ハロ、C<sub>1-6</sub> アルキル、C<sub>3-12</sub> シクロアルキル、C<sub>3-8</sub> ヘテロシクロアルキル、ハロ - 置換 - C<sub>1-6</sub> アルキル、ヒドロキシ - 置換 - C<sub>1-6</sub> アルキル、C<sub>1-6</sub> アルコキシおよびハロ - 置換 - C<sub>1-6</sub> アルコキシから独立して選択される 1 ~ 3 個の基で置換されていてよい。〕  
の化合物またはその薬学的に許容される塩。

10

20

30

40

50

## 【請求項 2】

R<sub>2</sub> が 5 - エチルピリミジン - 2 - イル、tert - ブトキシカルボニルおよび (1 - メチルシクロプロポキシ)カルボニルから選択される、請求項 1 に記載の化合物。

## 【請求項 3】

R<sub>1</sub> がフェニル、ピリジン - 2 - イル、ピリジン - 3 - イル、ピリジン - 4 - イル、ピリミジン - 5 - イル、ピラゾール - 4 - イル、1H - ピラゾール - 4 - イル、6 - オキソ - 1, 6 - ジヒドロピリジン - 3 - イル、2 - オキソ - 1, 2 - ジヒドロピリミジン - 5 - イル、2 - オキソ - 1, 2 - ジヒドロピリジン - 4 - イルおよび 2 - オキソ - 2, 3 - ジヒドロオキサゾロ[4, 5 - b]ピリジン - 6 - イルから選択され；

ここで、R<sub>1</sub> の該フェニル、ピリジン - 2 - イル、ピリジン - 3 - イル、ピリジン - 4 - イル、ピリミジン - 5 - イル、ピラゾール - 4 - イル、1H - ピラゾール - 4 - イル、6 - オキソ - 1, 6 - ジヒドロピリジン - 3 - イル、2 - オキソ - 1, 2 - ジヒドロピリミジン - 5 - イル、2 - オキソ - 1, 2 - ジヒドロピリジン - 4 - イルまたは 2 - オキソ - 2, 3 - ジヒドロオキサゾロ[4, 5 - b]ピリジン - 6 - イルは、場合より、メチル - スルホニル、3 - メチルオキセタン - 3 - イル)メチルスルホニル、イソブチル - スルホニル、プロピル - スルホニル、イソプロピル - スルホニル、シアノ、シアノ - メチル、ヒドロキシ - メチル、ピロリジン - 1 - イル、メトキシ、クロロ、メチル、アセチル - アミノ、メチル - スルホニル - アミノ、ベンジル - オキシ、アミノ - カルボニル、カルボキシル、2 - ヒドロキシプロパン - 2 - イル、1 - アミノシクロプロピル、2H - テトラゾール - 5 - イル、2H - テトラゾール - 5 - イル - メチル、1H - テトラゾール - 5 - イル、1 - 20  
メチル - 1H - テトラゾール - 5 - イル、2 - メチル - 2H - テトラゾール - 5 - イル - メチル、1H - 1, 2, 4 - トリアゾール - 1 - イル、オキサゾール - 5 - イル、1H - ピラゾール - 3 - イル、メチル - アミノ - メチル、t - ブトキシ - アミノ - メチル、モルホリノ - メチル、1H - イミダゾール - 1 - イル - メチル、2H - テトラゾール - 2 - イル - メチル、1H - テトラゾール - 1 - イル - メチル、メチル - アミノ - カルボニル、ジメチル - アミノ - カルボニル、メチル - ピペラジニル、ピペラジニル - カルボニル、モルホリノ - カルボニル、2 - メトキシエチルカルバモイル、2 - ヒドロキシエチルカルバモイルおよび 2 - ヒドロキシプロピルカルバモイルから独立して選択される 1 ~ 2 個の基で置換されていてよい、請求項 2 に記載の化合物。

## 【請求項 4】

次のものから選択される、請求項 3 に記載の化合物：2 - (4 - ((2, 6 - ジフルオロ - 4 - (5 - (メチルスルホニル)ピリジン - 2 - イル)フェノキシ)メチル)ピペリジン - 1 - イル) - 5 - エチルピリミジン；tert - ブチル 4 - ((3, 5 - ジフルオロ - 4' - (メチルスルホニル)ピフェニル - 4 - イルオキシ)メチル)ピペリジン - 1 - カルボキシレート；2 - (4 - ((3, 5 - ジフルオロ - 4' - ((3 - メチルオキセタン - 3 - イル)メチルスルホニル)ピフェニル - 4 - イルオキシ)メチル)ピペリジン - 1 - イル) - 5 - エチルピリミジン；2 - (4 - ((3, 5 - ジフルオロ - 4' - (イソブチルスルホニル)ピフェニル - 4 - イルオキシ)メチル)ピペリジン - 1 - イル) - 5 - エチルピリミジン；2 - (4 - ((3, 5 - ジフルオロ - 4' - (プロピルスルホニル)ピフェニル - 4 - イルオキシ)メチル)ピペリジン - 1 - イル) - 5 - エチルピリミジン；2 - (4 - ((3, 5 - ジフルオロ - 4' - (メチルスルホニル)ピフェニル - 4 - イルオキシ)メチル)ピペリジン - 1 - イル) - 5 - エチルピリミジン；2 - (4 - ((3, 5 - ジフルオロ - 4' - (イソプロピルスルホニル)ピフェニル - 4 - イルオキシ)メチル)ピペリジン - 1 - イル) - 5 - エチルピリミジン；4' - ((1 - (5 - エチルピリミジン - 2 - イル)ピペリジン - 4 - イル)メトキシ) - 3', 5' - ジフルオロピフェニル - 4 - カルボニトリル；4' - ((1 - (5 - エチルピリミジン - 2 - イル)ピペリジン - 4 - イル)メトキシ) - 3', 5' - ジフルオロピフェニル - 3 - カルボニトリル；2 - (4' - ((1 - (5 - エチルピリミジン - 2 - イル)ピペリジン - 4 - イル)メトキシ) - 3', 5' - ジフルオロピフェニル - 3 - イル)アセトニトリル；(4' - ((1 - (5 - エチルピリミジン - 2 - イル)ピペリジン - 4 - イル)メトキシ) - 3', 5' - ジフルオロピフェニル - 3 - イル)メタノール；2 - (4 - ((3, 5 - ジフルオロ - 40  
40  
50

3' - (メチルスルホニル)ピフェニル - 4 - イルオキシ)メチル)ピペリジン - 1 - イル)  
 - 5 - エチルピリミジン; 2 - (4' - ((1 - (5 - エチルピリミジン - 2 - イル)ピペリ  
 ジン - 4 - イル)メトキシ) - 3', 5' - ジフルオロピフェニル - 4 - イル)アセトニトリ  
 ル; (4' - ((1 - (5 - エチルピリミジン - 2 - イル)ピペリジン - 4 - イル)メトキシ)  
 - 3', 5' - ジフルオロピフェニル - 4 - イル)メタノール; 2 - (4 - ((2, 6 - ジフル  
 オロ - 4 - (2 - (ピロリジン - 1 - イル)ピリミジン - 5 - イル)フェノキシ)メチル)ピペ  
 リジン - 1 - イル) - 5 - エチルピリミジン; 2 - (4 - ((2, 6 - ジフルオロ - 4 - (ピリ  
 ミジン - 5 - イル)フェノキシ)メチル)ピペリジン - 1 - イル) - 5 - エチルピリミジン;  
 2 - (4 - ((3, 5 - ジフルオロピフェニル - 4 - イルオキシ)メチル)ピペリジン - 1 - イ  
 ル) - 5 - エチルピリミジン; 2 - (4 - ((2, 6 - ジフルオロ - 4 - (ピリジン - 4 - イル  
 )フェノキシ)メチル)ピペリジン - 1 - イル) - 5 - エチルピリミジン; tert - ブチル  
 4 - ((2, 6 - ジフルオロ - 4 - (2 - メトキシピリジン - 4 - イル)フェノキシ)メチル)  
 ピペリジン - 1 - カルボキシレート; tert - ブチル 4 - ((2, 6 - ジフルオロ - 4 - (ピ  
 リジン - 4 - イル)フェノキシ)メチル)ピペリジン - 1 - カルボキシレート; 2 - (4 -  
 ((2, 6 - ジフルオロ - 4 - (6 - (メチルスルホニル)ピリジン - 3 - イル)フェノキシ)メ  
 チル)ピペリジン - 1 - イル) - 5 - エチルピリミジン; 2 - (4 - ((4 - (6 - クロロ - 2  
 - メチルピリジン - 3 - イル) - 2, 6 - ジフルオロフェノキシ)メチル)ピペリジン - 1 -  
 イル) - 5 - エチルピリミジン; 2 - (4 - ((2, 6 - ジフルオロ - 4 - (1 - メチル - 1 H  
 - ピラゾール - 4 - イル)フェノキシ)メチル)ピペリジン - 1 - イル) - 5 - エチルピリミ  
 ジン; 2 - (4 - ((2, 6 - ジフルオロ - 4 - (1 H - ピラゾール - 4 - イル)フェノキシ)  
 メチル)ピペリジン - 1 - イル) - 5 - エチルピリミジン; 5 - (4 - ((1 - (5 - エチルピ  
 リミジン - 2 - イル)ピペリジン - 4 - イル)メトキシ) - 3, 5 - ジフルオロフェニル)ピ  
 コリノニトリル; 2 - (4 - ((2, 6 - ジフルオロ - 4 - (3 - メトキシピリジン - 4 - イ  
 ル)フェノキシ)メチル)ピペリジン - 1 - イル) - 5 - エチルピリミジン; N - (4' - ((  
 1 - (5 - エチルピリミジン - 2 - イル)ピペリジン - 4 - イル)メトキシ) - 3', 5' -  
 ジフルオロピフェニル - 4 - イル)アセトアミド; N - (4' - ((1 - (5 - エチルピリミ  
 ジン - 2 - イル)ピペリジン - 4 - イル)メトキシ) - 3', 5' - ジフルオロピフェニル -  
 4 - イル)メタンスルホンアミド; 2 - (4 - ((4 - (6 - (ベンジルオキシ)ピリジン - 3  
 - イル) - 2, 6 - ジフルオロフェノキシ)メチル)ピペリジン - 1 - イル) - 5 - エチルピ  
 リミジン; 5 - (4 - ((1 - (5 - エチルピリミジン - 2 - イル)ピペリジン - 4 - イル)メ  
 トキシ) - 3, 5 - ジフルオロフェニル)ピリジン - 2 (1 H) - オン; 2 - (4 - ((2, 6 -  
 ジフルオロ - 4 - (2 - メトキシピリミジン - 5 - イル)フェノキシ)メチル)ピペリジン -  
 1 - イル) - 5 - エチルピリミジン; 5 - (4 - ((1 - (5 - エチルピリミジン - 2 - イル)  
 ピペリジン - 4 - イル)メトキシ) - 3, 5 - ジフルオロフェニル)ピリミジン - 2 (1 H) -  
 オン; 5 - (4 - ((1 - (5 - エチルピリミジン - 2 - イル)ピペリジン - 4 - イル)メトキ  
 シ) - 3, 5 - ジフルオロフェニル)ピリミジン - 2 - カルボキサミド; tert - ブチル  
 4 - ((2, 6 - ジフルオロ - 4 - (ピリジン - 3 - イル)フェノキシ)メチル)ピペリジン -  
 1 - カルボキシレート; 5 - (4 - ((1 - (5 - エチルピリミジン - 2 - イル)ピペリジン  
 - 4 - イル)メトキシ) - 3, 5 - ジフルオロフェニル)ピリミジン - 2 - カルボン酸; 2 -  
 (5 - (4 - ((1 - (5 - エチルピリミジン - 2 - イル)ピペリジン - 4 - イル)メトキシ) -  
 3, 5 - ジフルオロフェニル)ピリジン - 2 - イル)プロパン - 2 - オール; 2 - (4 - ((3  
 , 5 - ジフルオロ - 4' - (1 H - テトラゾール - 5 - イル)ピフェニル - 4 - イルオキシ)  
 メチル)ピペリジン - 1 - イル) - 5 - エチルピリミジン; 2 - (4 - ((3, 5 - ジフルオロ  
 - 3' - (2 H - テトラゾール - 5 - イル)ピフェニル - 4 - イルオキシ)メチル)ピペリジ  
 ン - 1 - イル) - 5 - エチルピリミジン; 2 - (4 - ((3' - ((2 H - テトラゾール - 5 -  
 イル)メチル) - 3, 5 - ジフルオロピフェニル - 4 - イルオキシ)メチル)ピペリジン - 1  
 - イル) - 5 - エチルピリミジン; 2 - (4 - ((4' - ((2 H - テトラゾール - 5 - イル)  
 メチル) - 3, 5 - ジフルオロピフェニル - 4 - イルオキシ)メチル)ピペリジン - 1 - イ  
 ル) - 5 - エチルピリミジン; 2 - (4 - ((4 - (6 - (2 H - テトラゾール - 5 - イル)ピリ  
 ジン - 3 - イル) - 2, 6 - ジフルオロフェノキシ)メチル)ピペリジン - 1 - イル) - 5 -

エチルピリミジン； 2 - (4 - ((3, 5 - ジフルオロ - 4' - (2 - メチル - 2 H - テトラ  
 ザール - 5 - イル)ピフェニル - 4 - イルオキシ)メチル)ピペリジン - 1 - イル) - 5 - エ  
 チルピリミジン； 2 - (4 - ((3, 5 - ジフルオロ - 4' - (1 - メチル - 1 H - テトラゾ  
 ール - 5 - イル)ピフェニル - 4 - イルオキシ)メチル)ピペリジン - 1 - イル) - 5 - エチ  
 ルピリミジン； 2 - (4 - ((3, 5 - ジフルオロ - 3' - (2 - メチル - 2 H - テトラゾー  
 ル - 5 - イル)ピフェニル - 4 - イルオキシ)メチル)ピペリジン - 1 - イル) - 5 - エチル  
 ピリミジン； 2 - (4 - ((3, 5 - ジフルオロ - 3' - (1 - メチル - 1 H - テトラゾール  
 - 5 - イル)ピフェニル - 4 - イルオキシ)メチル)ピペリジン - 1 - イル) - 5 - エチルピ  
 リミジン； 2 - (4 - ((3, 5 - ジフルオロ - 3' - ((2 - メチル - 2 H - テトラゾール -  
 5 - イル)メチル)ピフェニル - 4 - イルオキシ)メチル)ピペリジン - 1 - イル) - 5 - エ  
 チルピリミジン； 2 - (4 - ((3, 5 - ジフルオロ - 3' - ((1 - メチル - 1 H - テトラゾ  
 ール - 5 - イル)メチル)ピフェニル - 4 - イルオキシ)メチル)ピペリジン - 1 - イル) -  
 5 - エチルピリミジン； 2 - (4 - ((3, 5 - ジフルオロ - 4' - ((2 - メチル - 2 H - テ  
 トラゾール - 5 - イル)メチル)ピフェニル - 4 - イルオキシ)メチル)ピペリジン - 1 - イ  
 ル) - 5 - エチルピリミジン； 2 - (4 - ((3, 5 - ジフルオロ - 4' - ((1 - メチル - 1  
 H - テトラゾール - 5 - イル)メチル)ピフェニル - 4 - イルオキシ)メチル)ピペリジン -  
 1 - イル) - 5 - エチルピリミジン； 2 - (4 - ((2, 6 - ジフルオロ - 4 - (6 - (2 - メ  
 チル - 2 H - テトラゾール - 5 - イル)ピリジン - 3 - イル)フェノキシ)メチル)ピペリジ  
 ン - 1 - イル) - 5 - エチルピリミジン； 2 - (4 - ((2, 6 - ジフルオロ - 4 - (6 - (1  
 - メチル - 1 H - テトラゾール - 5 - イル)ピリジン - 3 - イル)フェノキシ)メチル)ピペ  
 リジン - 1 - イル) - 5 - エチルピリミジン； 1 - メチルシクロプロピル 4 - ((3, 5 - ジ  
 フルオロ - 4' - (メチルスルホニル)ピフェニル - 4 - イルオキシ)メチル)ピペリジン -  
 1 - カルボキシレート； 4 - (4 - ((1 - (tert - ブトキシカルボニル)ピペリジン -  
 4 - イル)メトキシ) - 3, 5 - ジフルオロフェニル)ピリジン 1 - オキシド； tert - ブ  
 チル 4 - ((2, 6 - ジフルオロ - 4 - (2 - オキソ - 1, 2 - ジヒドロピリジン - 4 - イル)  
 フェノキシ)メチル)ピペリジン - 1 - カルボキシレート； tert - ブチル 4 - ((2, 6  
 - ジフルオロ - 4 - (1 - メチル - 2 - オキソ - 1, 2 - ジヒドロピリジン - 4 - イル)フ  
 ェノキシ)メチル)ピペリジン - 1 - カルボキシレート； 2 - (4 - ((2, 6 - ジフルオロ -  
 4 - (2 - メチル - 6 - (1 H - 1, 2, 4 - トリアゾール - 1 - イル)ピリジン - 3 - イル)  
 フェノキシ)メチル)ピペリジン - 1 - イル) - 5 - エチルピリミジン； 2 - (4 - ((2, 6  
 - ジフルオロ - 4 - (2 - メチル - 6 - (メチルスルホニル)ピリジン - 3 - イル)フェノキ  
 シ)メチル)ピペリジン - 1 - イル) - 5 - エチルピリミジン； 5 - (4' - ((1 - (5 - エ  
 チルピリミジン - 2 - イル)ピペリジン - 4 - イル)メトキシ) - 3', 5' - ジフルオロピ  
 フェニル - 4 - イル)オキサゾール； 2 - (4 - ((3, 5 - ジフルオロ - 4' - (1 H - ピラ  
 ザール - 3 - イル)ピフェニル - 4 - イルオキシ)メチル)ピペリジン - 1 - イル) - 5 - エ  
 チルピリミジン； 1 - (4' - ((1 - (5 - エチルピリミジン - 2 - イル)ピペリジン - 4  
 - イル)メトキシ) - 3', 5' - ジフルオロピフェニル - 4 - イル) - N - メチルメタンア  
 ミン； N - ((4' - ((1 - (5 - エチルピリミジン - 2 - イル)ピペリジン - 4 - イル)メ  
 トキシ) - 3', 5' - ジフルオロピフェニル - 4 - イル)メチル) - 2 - メチルプロパン -  
 2 - アミン； 4 - ((4' - ((1 - (5 - エチルピリミジン - 2 - イル)ピペリジン - 4 - イ  
 ル)メトキシ) - 3', 5' - ジフルオロピフェニル - 4 - イル)メチル)モルホリノ； 2 - (  
 4 - ((4' - ((1 H - イミダゾール - 1 - イル)メチル) - 3, 5 - ジフルオロピフェニル  
 - 4 - イルオキシ)メチル)ピペリジン - 1 - イル) - 5 - エチルピリミジン； 2 - (4 - ((  
 4' - ((2 H - テトラゾール - 2 - イル)メチル) - 3, 5 - ジフルオロピフェニル - 4 -  
 イルオキシ)メチル)ピペリジン - 1 - イル) - 5 - エチルピリミジン； 2 - (4 - ((4' -  
 ((1 H - テトラゾール - 1 - イル)メチル) - 3, 5 - ジフルオロピフェニル - 4 - イルオ  
 キシ)メチル)ピペリジン - 1 - イル) - 5 - エチルピリミジン； 5 - (4 - ((1 - (5 - エ  
 チルピリミジン - 2 - イル)ピペリジン - 4 - イル)メトキシ) - 3, 5 - ジフルオロフェ  
 ニル)ピコリンアミド； 5 - (4 - ((1 - (5 - エチルピリミジン - 2 - イル)ピペリジン - 4  
 - イル)メトキシ) - 3, 5 - ジフルオロフェニル) - N - メチルピコリンアミド； 5 - (4

- ((1 - (5 - エチルピリミジン - 2 - イル)ピペリジン - 4 - イル)メトキシ) - 3, 5 - ジフルオロフェニル) - N, N - ジメチルピコリンアミド ; 1 - メチルシクロプロピル 4 - ((2, 6 - ジフルオロ - 4 - (2 - (ピペラジン - 1 - カルボニル)ピリミジン - 5 - イル)フェノキシ)メチル)ピペリジン - 1 - カルボキシレート ; 1 - メチルシクロプロピル 4 - ((4 - (2 - (ジメチルカルバモイル)ピリミジン - 5 - イル) - 2, 6 - ジフルオロフェノキシ)メチル)ピペリジン - 1 - カルボキシレート ; 1 - メチルシクロプロピル 4 - ((2, 6 - ジフルオロ - 4 - (2 - (モルホリン - 4 - カルボニル)ピリミジン - 5 - イル)フェノキシ)メチル)ピペリジン - 1 - カルボキシレート ; 1 - メチルシクロプロピル 4 - ((2, 6 - ジフルオロ - 4 - (2 - (2 - メトキシエチルカルバモイル)ピリミジン - 5 - イル)フェノキシ)メチル)ピペリジン - 1 - カルボキシレート ; 1 - メチルシクロプロピル 4 - ((2, 6 - ジフルオロ - 4 - (2 - オキソ - 2, 3 - ジヒドロオキサゾロ[4, 5 - b]ピリジン - 6 - イル)フェノキシ)メチル)ピペリジン - 1 - カルボキシレート ; 1 - メチルシクロプロピル 4 - ((2, 6 - ジフルオロ - 4 - (2 - (2 - ヒドロキシエチルカルバモイル)ピリミジン - 5 - イル)フェノキシ)メチル)ピペリジン - 1 - カルボキシレート ; および 1 - メチルシクロプロピル 4 - ((2, 6 - ジフルオロ - 4 - (2 - (3 - ヒドロキシプロピルカルバモイル)ピリミジン - 5 - イル)フェノキシ)メチル)ピペリジン - 1 - カルボキシレート。

10

【請求項 5】

R<sub>1</sub> がフェニル、ピリジン - 2 - イル、ピリジン - 3 - イル、ピリジン - 4 - イル、ピリミジン - 5 - イル、ピラゾール - 4 - イル、1H - ピラゾール - 4 - イル、6 - オキソ - 1, 6 - ジヒドロピリジン - 3 - イル、2 - オキソ - 1, 2 - ジヒドロピリミジン - 5 - イル、2 - オキソ - 1, 2 - ジヒドロピリジン - 4 - イルおよび 2 - オキソ - 2, 3 - ジヒドロオキサゾロ[4, 5 - b]ピリジン - 6 - イルから選択され ;  
ここで、R<sub>1</sub> の該フェニル、ピリジン - 2 - イル、ピリジン - 3 - イル、ピリジン - 4 - イル、ピリミジン - 5 - イル、ピラゾール - 4 - イル、1H - ピラゾール - 4 - イル、6 - オキソ - 1, 6 - ジヒドロピリジン - 3 - イル、2 - オキソ - 1, 2 - ジヒドロピリミジン - 5 - イル、2 - オキソ - 1, 2 - ジヒドロピリジン - 4 - イルまたは 2 - オキソ - 2, 3 - ジヒドロオキサゾロ[4, 5 - b]ピリジン - 6 - イルは、場合より、(S) - 3 - ヒドロキシピロリジン - 1 - カルボニル、4 - ヒドロキシピペリジン - 1 - カルボニル、ビス(2 - ヒドロキシエチル)カルバモイル、モルホリン - エチル - アミノ、4 - メチルピペラジン - 1 - イル、1 - アセトアミドシクロプロピル、2 - ((3 - メチルオキサタン - 3 - イル)メチル) - 2H - テトラゾール - 5 - イル、(2 - ヒドロキシエチル)(メチル)カルバモイル、(2 - ヒドロキシエチル)(エチル)カルバモイル、2 - カルボキシエチルカルバモイル、3 - エトキシ - 3 - オキソプロピルカルバモイル、カルボキシメチルカルバモイル、2 - tert - ブトキシ - 2 - オキソエチルカルバモイル、4 - メチルピペラジン - 1 - カルボニル、(2 - (ジメチルアミノ)エチル)(メチル)カルバモイルおよび 3, 4 - ジヒドロキシピロリジン - 1 - カルボニルから独立して選択される 1 ~ 2 個の基で置換されていてよい、請求項 2 に記載の化合物。

20

30

【請求項 6】

次のものから選択される、請求項 5 に記載の化合物 : 5 - (4 - ((1 - (5 - エチルピリミジン - 2 - イル)ピペリジン - 4 - イル)メトキシ) - 3, 5 - ジフルオロフェニル) - N - (2 - モルホリンエチル)ピリジン - 2 - アミン ; 2 - (4 - ((2, 6 - ジフルオロ - 4 - (6 - (4 - メチルピペラジン - 1 - イル)ピリジン - 3 - イル)フェノキシ)メチル)ピペリジン - 1 - イル) - 5 - エチルピリミジン ; 1 - メチルシクロプロピル 4 - ((4 - (6 - (1 - アミノシクロプロピル)ピリジン - 3 - イル) - 2, 6 - ジフルオロフェノキシ)メチル)ピペリジン - 1 - カルボキシレート ; 1 - メチルシクロプロピル 4 - ((4 - (6 - (1 - アセトアミドシクロプロピル)ピリジン - 3 - イル) - 2, 6 - ジフルオロフェノキシ)メチル)ピペリジン - 1 - カルボキシレート ; 2 - (4 - ((3, 5 - ジフルオロ - 4 - (2 - ((3 - メチルオキサタン - 3 - イル)メチル) - 2H - テトラゾール - 5 - イル)ピフェニル - 4 - イルオキシ)メチル)ピペリジン - 1 - イル) - 5 - エチルピリミジン ; 1 - メチル

40

50

シクロプロピル 4 - ((4 - (2 - ((3 R, 4 R) - 3, 4 - ジヒドロキシピロリジン - 1 - カルボニル)ピリミジン - 5 - イル) - 2, 6 - ジフルオロフェノキシ)メチル)ピペリジン - 1 - カルボキシレート ; 1 - メチルシクロプロピル 4 - ((4 - (2 - ((2 - (ジメチルアミノ)エチル)(メチル)カルバモイル)ピリミジン - 5 - イル) - 2, 6 - ジフルオロフェノキシ)メチル)ピペリジン - 1 - カルボキシレート ; 1 - メチルシクロプロピル 4 - ((2, 6 - ジフルオロ - 4 - (2 - (4 - メチルピペラジン - 1 - カルボニル)ピリミジン - 5 - イル)フェノキシ)メチル)ピペリジン - 1 - カルボキシレート ; 1 - メチルシクロプロピル 4 - ((2, 6 - ジフルオロ - 4 - (2 - ((2 - ヒドロキシエチル)(メチル)カルバモイル)ピリミジン - 5 - イル)フェノキシ)メチル)ピペリジン - 1 - カルボキシレート ; 1 - メチルシクロプロピル 4 - ((4 - (2 - (エチル(2 - ヒドロキシエチル)カルバモイル)ピリミジン - 5 - イル) - 2, 6 - ジフルオロフェノキシ)メチル)ピペリジン - 1 - カルボキシレート ; 3 - (5 - (3, 5 - ジフルオロ - 4 - ((1 - ((1 - メチルシクロプロボキシ)カルボニル)ピペリジン - 4 - イル)メトキシ)フェニル)ピリミジン - 2 - カルボキサミド)プロパン酸 ; 1 - メチルシクロプロピル 4 - ((4 - (2 - (3 - エトキシ - 3 - オキソプロピルカルバモイル)ピリミジン - 5 - イル) - 2, 6 - ジフルオロフェノキシ)メチル)ピペリジン - 1 - カルボキシレート ; 2 - (5 - (3, 5 - ジフルオロ - 4 - ((1 - ((1 - メチルシクロプロボキシ)カルボニル)ピペリジン - 4 - イル)メトキシ)フェニル)ピリミジン - 2 - カルボキサミド)酢酸 ; 1 - メチルシクロプロピル 4 - ((4 - (2 - (2 - tert - ブトキシ - 2 - オキソエチルカルバモイル)ピリミジン - 5 - イル) - 2, 6 - ジフルオロフェノキシ)メチル)ピペリジン - 1 - カルボキシレート ; 1 - メチルシクロプロピル 4 - ((4 - (2 - (ビス(2 - ヒドロキシエチル)カルバモイル)ピリミジン - 5 - イル) - 2, 6 - ジフルオロフェノキシ)メチル)ピペリジン - 1 - カルボキシレート ; 1 - メチルシクロプロピル 4 - ((2, 6 - ジフルオロ - 4 - (2 - (4 - ヒドロキシピペリジン - 1 - カルボニル)ピリミジン - 5 - イル)フェノキシ)メチル)ピペリジン - 1 - カルボキシレート ; および(5) - 1 - メチルシクロプロピル 4 - ((2, 6 - ジフルオロ - 4 - (2 - (3 - ヒドロキシピロリジン - 1 - カルボニル)ピリミジン - 5 - イル)フェノキシ)メチル)ピペリジン - 1 - カルボキシレート。

10

20

30

40

50

【請求項 7】

治療有効量の請求項 4 または 6 に記載の化合物を薬学的に許容される賦形剤と共に含む、医薬組成物。

【請求項 8】

G P R 1 1 9 活性を調節する方法であって、それを必要とする系または対象に、治療有効量の請求項 1 に記載の化合物または薬学的に許容される塩またはその医薬組成物を投与し、それにより該 G P R 1 1 9 活性を調節することを含む、方法。

【請求項 9】

請求項 1 に記載の化合物を G P R 1 1 9 と直接接触させる、請求項 8 に記載の方法。

【請求項 10】

接触がインビトロまたはインビボで起こる、請求項 9 に記載の方法。

【請求項 11】

G P R 1 1 9 活性の調節が疾患の病状および/または症状を予防、阻止または軽減できる疾患または障害の処置方法であって、対象に治療有効量の請求項 1 に記載の化合物または薬学的に許容される塩またはその医薬組成物を投与することを含む、方法。

【請求項 12】

該疾患または状態が肥満、I 型糖尿病、II 型真性糖尿病、高脂血症、特発性 I 型糖尿病、成人潜在性自己免疫性糖尿病、早期発症型 II 型糖尿病、若者発症非定型糖尿病、若年発症成人型糖尿病、栄養障害関連糖尿病および妊娠性糖尿病から成る群から選択される、請求項 11 に記載の方法。

【請求項 13】

該疾患または状態が冠動脈心疾患、虚血性卒中、血管形成術後再狭窄、末梢血管疾患、間欠性跛行、心筋梗塞、異脂肪血症、摂食後脂肪血症、耐糖能障害状態、空腹時血漿グル

コース障害状態、代謝性アシドーシス、ケトン症、関節炎、骨粗鬆症、高血圧、鬱血性心不全、左室肥大、末梢動脈疾患、糖尿病性網膜症、黄斑変性症、白内障、糖尿病性腎症、糸球体硬化症、慢性腎不全、糖尿病性ニューロパシー、メタボリック症候群、症候群 X、月経前緊張症、冠動脈心疾患、狭心症、血栓症、アテローム性動脈硬化症、心筋梗塞、一過性虚血発作、卒中、血管再狭窄、高血糖、高インスリン血症、高脂血症、高トリグリセリド血症(hypertriglyceridemia)、インスリン抵抗性、グルコース代謝障害、耐糖能障害状態、空腹時血漿グルコース障害状態、肥満、勃起不全、皮膚および結合組織障害、足潰瘍化および潰瘍性大腸炎、内皮機能不全および血管伸展性障害から選択される、請求項 1 2 に記載の方法。

【発明の詳細な説明】

【技術分野】

【0001】

関連出願の相互参照

発明の分野

本出願は、2008年7月11日出願の米国仮特許出願番号61/080,096に対する優先権の利益を主張する。この出願の全部の記載は、引用により、その全体として、かつすべての目的に関して、本明細書に包含される。

【0002】

発明の背景

発明の分野

本発明は、化合物、かかる化合物を含む医薬組成物およびGPR119の活性と関連する疾患または障害の処置または予防のためのかかる化合物の使用方法を提供する。

【背景技術】

【0003】

背景

GPR119は、主として膵臓、小腸、結腸および脂肪組織に発現し、Gタンパク質共役受容体(GPCR)である。ヒトGPR119受容体の発現プロファイルは、肥満および糖尿病の処置標的としてそれらが利用できる可能性を示す。本発明の新規化合物は、GPR119の活性を調節し、それ故、糖尿病、肥満および関連する代謝障害のような、しかしこれらに限定されないGPR119関連疾患または障害の処置に有用であることが期待される。

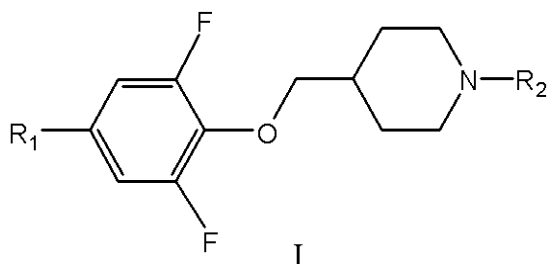
【発明の概要】

【0004】

発明の要約

一面において、本発明は、式 I :

【化 1】



〔式中、

R<sub>1</sub> はフェニル、ピリジン - 2 - イル、ピリジン - 3 - イル、ピリジン - 4 - イル、ピリミジン - 5 - イル、ピラゾール - 4 - イル、1H - ピラゾール - 4 - イル、6 - オキソ - 1, 6 - ジヒドロピリジン - 3 - イル、2 - オキソ - 1, 2 - ジヒドロピリミジン - 5 - イル、2 - オキソ - 1, 2 - ジヒドロピリジン - 4 - イルおよび 2 - オキソ - 2, 3 - ジヒドロオキサゾロ[4, 5 - b]ピリジン - 6 - イルから選択され；ここで、R<sub>1</sub> の該フェニル、ピリジン - 2 - イル、ピリジン - 3 - イル、ピリジン - 4 - イル、ピリミジン - 5 - イ

10

20

30

40

50

ル、ピラゾール - 4 - イル、1H - ピラゾール - 4 - イル、6 - オキソ - 1, 6 - ジヒドロピリジン - 3 - イル、2 - オキソ - 1, 2 - ジヒドロピリミジン - 5 - イル、2 - オキソ - 1, 2 - ジヒドロピリジン - 4 - イルまたは2 - オキソ - 2, 3 - ジヒドロオキサゾロ [4, 5 - b]ピリジン - 6 - イルは、場合により、ハロ、 $-X_1R_4$ 、 $-X_1OR_4$ 、 $-X_1C(O)R_4$ 、 $-X_1C(O)OR_4$ 、 $-X_2NR_4C(O)R_4$ 、 $-X_1S(O)_2R_4$ 、 $-X_1NR_4S(O)_2R_4$ 、 $-X_1C(O)NR_4R_5$ 、 $-X_1C(O)NR_4X_2OR_5$ 、 $-X_1C(O)NR_4X_2NR_4R_5$ 、 $-X_1C(O)NR_4X_2C(O)OR_5$ 、 $-X_1S(O)_0-2X_2R_4$ 、 $-X_1S(O)_0-2X_2OR_4$ 、 $-X_2CN$ 、 $-X_1OX_2R_4$ 、 $-X_1NR_5X_2R_4$ 、 $-X_2NR_4R_5$ 、 $-X_1S(O)_0-2X_2C(O)R_4$ 、 $-X_1S(O)_0-2X_2C(O)OR_4$  および  $-X_1S(O)_0-2NR_4R_5$  から独立して選択される1~3個の基で置換されていてよく；ここで、 $X_1$  は結合、O、 $NR_6$  および  $C_{1-4}$  アルキレンから選択され； $R_5$  は水素および  $C_{1-6}$  アルキルから選択され；各  $X_2$  は独立して結合および  $C_{1-4}$  アルキレンから選択され；各  $R_4$  は独立して水素、 $C_{1-6}$  アルキル、 $C_{6-10}$  アリール、 $C_{1-10}$  ヘテロアリール、 $C_{3-8}$  ヘテロシクロアルキル、 $C_{3-8}$  シクロアルキルおよび  $-X_3C(O)OR_7$ 、 $-X_3R_7$ 、 $-X_3OR_7$ 、 $-X_3NR_7R_8$  から選択され；ここで、 $R_4$  の該アルキル、アリール、ヘテロアリール、シクロアルキルおよびヘテロシクロアルキルは、場合により、ヒドロキシ、ハロ、アミノ、シアノ、 $C_{1-6}$  アルキル、ハロ - 置換 -  $C_{1-6}$  アルキル、ヒドロキシ - 置換 -  $C_{1-6}$  アルキル、 $C_{1-6}$  アルコキシ、ハロ - 置換 -  $C_{1-6}$  アルコキシ、 $C_{6-10}$  アリール -  $C_{1-4}$  アルコキシおよび  $-NR_7C(O)R_8$  から独立して選択される1~3個の基で置換されていてよく； $X_3$  は  $C_{1-3}$  アルキレンであり；そして  $R_7$  は水素、 $C_{1-6}$  アルキルおよび  $C_{3-8}$  ヘテロシクロアルキル(場合により  $C_{1-6}$  アルキルで置換されていてよい)から選択され； $R_8$  は独立して水素および  $C_{1-6}$  アルキルから選択され；そして

$R_2$  は  $R_9$  および  $-C(O)OR_9$  から選択され；ここで、 $R_9$  は  $C_{1-6}$  アルキル、 $C_{6-10}$  アリール、 $C_{1-10}$  ヘテロアリール、 $C_{3-8}$  シクロアルキルおよび  $C_{3-8}$  ヘテロシクロアルキルから選択され；ここで、 $R_9$  の該アルキル、アリール、ヘテロアリール、シクロアルキルまたはヘテロシクロアルキルは、場合により、ハロ、 $C_{1-6}$  アルキル、 $C_{3-12}$  シクロアルキル、 $C_{3-8}$  ヘテロシクロアルキル、ハロ - 置換 -  $C_{1-6}$  アルキル、ヒドロキシ - 置換 -  $C_{1-6}$  アルキル、 $C_{1-6}$  アルコキシおよびハロ - 置換 -  $C_{1-6}$  アルコキシから独立して選択される1~3個の基で置換されていてよい。)の化合物、またはその薬学的に許容される塩を提供する。

#### 【0005】

第二の面において、本発明は、式 I の化合物またはその N - オキシド誘導体、個々の異性体および異性体の混合物、またはその薬学的に許容される塩を、1種以上の適当な賦形剤と共に含む、医薬組成物を提供する。

#### 【0006】

第三の面において、本発明は、動物における GPR119 活性の調節が疾患の病状および/または症状を予防、阻止または軽減できる疾患の処置方法であって、動物に治療有効量の式 I の化合物またはその N - オキシド誘導体、個々の異性体および異性体の混合物、またはその薬学的に許容される塩を投与することを含む、方法を提供する。

#### 【0007】

第四の面において、本発明は動物における GPR119 活性が疾患の病状および/または症状に關与している疾患の処置用医薬の製造における、式 I の化合物の使用を提供する。

#### 【0008】

第五の面において、本発明は、式 I の化合物およびその N - オキシド誘導体、プロドラッグ誘導体、被保護誘導体、個々の異性体および異性体の混合物、およびその薬学的に許容される塩の製造方法を提供する。

#### 【0009】

10

20

30

40

50

## 発明の詳細な記載

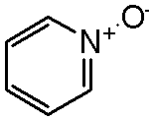
## 定義

基として、および他の基、例えばハロ - 置換 - アルキルおよびアルコキシの構造要素としての“アルキル”は、直鎖、分枝鎖、環状またはスピロのいずれでもよい。C<sub>1</sub> - 6アルコキシは、メトキシ、エトキシなどを含む。ハロ - 置換アルキルはトリフルオロメチル、ペンタフルオロエチルなどを含む。

## 【0010】

“アリアル”は、6 ~ 10個の環炭素原子を含む単環式または縮合二環式芳香環集合体を意味する。例えば、アリアルはフェニルまたはナフチル、好ましくはフェニルであり得る。“アリーレン”は、アリアル基由来の二価基を意味する。“ヘテロアリアル”は、環員の1個以上がヘテロ原子であるときの、アリアルについて定義した通りである。例えば、C<sub>1</sub> - 10ヘテロアリアルは、ピリジル、インドリル、インダゾリル、キノキサリニル、キノリニル、ベンゾフラニル、ベンゾピラニル、ベンゾチオピラニル、ベンゾ[1,3]ジオキサソール、イミダゾリル、ベンゾ - イミダゾリル、ピリミジニル、フラニル、オキサゾリル、イソオキサゾリル、トリアゾリル、テトラゾリル、ピラゾリル、チエニル、1H - ピリジン - 2 - オニル、6 - オキソ - 1,6 - ジヒドロ - ピリジン - 3 - イルなどを含む。ヘテロアリアルはまたN - オキシド誘導体、例えば、次の構造式を有するピリジンN - オキシド誘導体も含む：

## 【化2】



## 【0011】

“シクロアルキル”は、飽和または部分的不飽和の、示す環原子数を含む単環式、縮合二環式または架橋多環式環集合体を意味する。例えば、C<sub>3</sub> - 10シクロアルキルは、シクロプロピル、シクロブチル、シクロペンチル、シクロヘキシルなどを含む。“ヘテロシクロアルキル”は、環炭素の1個以上が - O - 、 - N = 、 - NR - 、 - C(O) - 、 - S - 、 - S(O) - または - S(O)<sub>2</sub> - (ここで、Rは水素、C<sub>1</sub> - 4アルキルまたは窒素保護基である)から選択される部分で置き換えられている、本明細書で定義したシクロアルキルを意味する。例えば、本発明の化合物を述べるために本明細書で使用するC<sub>3</sub> - 8ヘテロシクロアルキルは、モルホリノ、ピロリジニル、ペペラジニル、ペペリジニル、ペペリジニオン、2 - オキソ - ピロリジン - 1 - イル、2 - オキソ - ペペリジン - 1 - イルなどを含む。

## 【0012】

GPR119は、Gタンパク質共役受容体119 (GenBank<sup>(登録商標)</sup> Accession No. AP72125)を意味し、文献ではRUP3やGPR116とも呼ばれる。ここで使用する用語GPR119は、GeneBank受託番号AY288416で見られるヒト配列、その天然に存在する対立遺伝子変異体、哺乳動物オルソログ、および組み換え変異体を含む。

## 【0013】

“ハロゲン”(またはハロ)は、好ましくはクロロまたはフルオロであるが、プロモまたはヨードでもよい。

## 【0014】

“処置”、“処置する”および“処置し”は、疾患および/またはその随伴症状を軽減するまたは無くす方法を意味する。

## 【0015】

## 好ましい態様の記載

本発明は、化合物、組成物および、動物に治療有効量の式Iの化合物を投与することを含む、GPR119活性の調節が疾患の病状および/または症状を予防、阻止または軽減できる疾患の処置のための方法を提供する。

10

20

30

40

50

## 【 0 0 1 6 】

一つの態様において、式 I の化合物を参照して、 $R_2$  は 5 - エチルピリミジン - 2 - イル、*tert* - ブトキシカルボニルおよび (1 - メチルシクロプロポキシ)カルボニルから選択される。

## 【 0 0 1 7 】

さらなる態様において、 $R_1$  はフェニル、ピリジン - 2 - イル、ピリジン - 3 - イル、ピリジン - 4 - イル、ピリミジン - 5 - イル、ピラゾール - 4 - イル、1H - ピラゾール - 4 - イル、6 - オキソ - 1, 6 - ジヒドロピリジン - 3 - イル、2 - オキソ - 1, 2 - ジヒドロピリミジン - 5 - イル、2 - オキソ - 1, 2 - ジヒドロピリジン - 4 - イルおよび 2 - オキソ - 2, 3 - ジヒドロオキサゾロ[4, 5 - b]ピリジン - 6 - イルから選択され；ここで、 $R_1$  の該フェニル、ピリジン - 2 - イル、ピリジン - 3 - イル、ピリジン - 4 - イル、ピリミジン - 5 - イル、ピラゾール - 4 - イル、1H - ピラゾール - 4 - イル、6 - オキソ - 1, 6 - ジヒドロピリジン - 3 - イル、2 - オキソ - 1, 2 - ジヒドロピリミジン - 5 - イル、2 - オキソ - 1, 2 - ジヒドロピリジン - 4 - イルまたは 2 - オキソ - 2, 3 - ジヒドロオキサゾロ[4, 5 - b]ピリジン - 6 - イルは、場合より、メチル - スルホニル、3 - メチルオキサタン - 3 - イル)メチルスルホニル、イソブチル - スルホニル、プロピル - スルホニル、イソプロピル - スルホニル、シアノ、シアノ - メチル、ヒドロキシ - メチル、ピロリジン - 1 - イル、メトキシ、クロロ、メチル、アセチル - アミノ、メチル - スルホニル - アミノ、ベンジル - オキシ、アミノ - カルボニル、カルボキシル、2 - ヒドロキシプロパン - 2 - イル、1 - アミノシクロプロピル、2H - テトラゾール - 5 - イル、2H - テトラゾール - 5 - イル - メチル、1H - テトラゾール - 5 - イル、1 - メチル - 1H - テトラゾール - 5 - イル、2 - メチル - 2H - テトラゾール - 5 - イル - メチル、1H - 1, 2, 4 - トリアゾール - 1 - イル、オキサゾール - 5 - イル、1H - ピラゾール - 3 - イル、メチル - アミノ - メチル、*t* - ブトキシ - アミノ - メチル、モルホリノ - メチル、1H - イミダゾール - 1 - イル - メチル、2H - テトラゾール - 2 - イル - メチル、1H - テトラゾール - 1 - イル - メチル、メチル - アミノ - カルボニル、ジメチル - アミノ - カルボニル、メチル - ピペラジニル、ピペラジニル - カルボニル、モルホリノ - カルボニル、2 - メトキシエチルカルバモイル、2 - ヒドロキシエチルカルバモイルおよび 2 - ヒドロキシプロピルカルバモイルから独立して選択される 1 ~ 2 個の基で置換されていてよい。

10

20

30

## 【 0 0 1 8 】

さらなる態様において、2 - (4 - ((2, 6 - ジフルオロ - 4 - (5 - (メチルスルホニル)ピリジン - 2 - イル)フェノキシ)メチル)ピペリジン - 1 - イル) - 5 - エチルピリミジン；*tert* - ブチル 4 - ((3, 5 - ジフルオロ - 4' - (メチルスルホニル)ピフェニル - 4 - イルオキシ)メチル)ピペリジン - 1 - カルボキシレート；2 - (4 - ((3, 5 - ジフルオロ - 4' - ((3 - メチルオキサタン - 3 - イル)メチルスルホニル)ピフェニル - 4 - イルオキシ)メチル)ピペリジン - 1 - イル) - 5 - エチルピリミジン；2 - (4 - ((3, 5 - ジフルオロ - 4' - (イソブチルスルホニル)ピフェニル - 4 - イルオキシ)メチル)ピペリジン - 1 - イル) - 5 - エチルピリミジン；2 - (4 - ((3, 5 - ジフルオロ - 4' - (プロピルスルホニル)ピフェニル - 4 - イルオキシ)メチル)ピペリジン - 1 - イル) - 5 - エチルピリミジン；2 - (4 - ((3, 5 - ジフルオロ - 4' - (メチルスルホニル)ピフェニル - 4 - イルオキシ)メチル)ピペリジン - 1 - イル) - 5 - エチルピリミジン；2 - (4 - ((3, 5 - ジフルオロ - 4' - (イソプロピルスルホニル)ピフェニル - 4 - イルオキシ)メチル)ピペリジン - 1 - イル) - 5 - エチルピリミジン；4' - ((1 - (5 - エチルピリミジン - 2 - イル)ピペリジン - 4 - イル)メトキシ) - 3', 5' - ジフルオロピフェニル - 4 - カルボニトリル；4' - ((1 - (5 - エチルピリミジン - 2 - イル)ピペリジン - 4 - イル)メトキシ) - 3', 5' - ジフルオロピフェニル - 3 - カルボニトリル；2 - (4' - ((1 - (5 - エチルピリミジン - 2 - イル)ピペリジン - 4 - イル)メトキシ) - 3', 5' - ジフルオロピフェニル - 3 - イル)アセトニトリル；(4' - ((1 - (5 - エチルピリミジン - 2 - イル)ピペリジン - 4 - イル)メトキシ) - 3', 5' - ジフルオロピフェニル - 3

40

50

-イル)メタノール; 2-(4-((3,5-ジフルオロ-3'- (メチルスルホニル)ピフェニル-4-イルオキシ)メチル)ピペリジン-1-イル)-5-エチルピリミジン; 2-(4'-((1-(5-エチルピリミジン-2-イル)ピペリジン-4-イル)メトキシ)-3',5'-ジフルオロピフェニル-4-イル)アセトニトリル; (4'-((1-(5-エチルピリミジン-2-イル)ピペリジン-4-イル)メトキシ)-3',5'-ジフルオロピフェニル-4-イル)メタノール; 2-(4-((2,6-ジフルオロ-4-(2-(ピロリジン-1-イル)ピリミジン-5-イル)フェノキシ)メチル)ピペリジン-1-イル)-5-エチルピリミジン; 2-(4-((2,6-ジフルオロ-4-(ピリミジン-5-イル)フェノキシ)メチル)ピペリジン-1-イル)-5-エチルピリミジン;

## 【0019】

2-(4-((3,5-ジフルオロピフェニル-4-イルオキシ)メチル)ピペリジン-1-イル)-5-エチルピリミジン; 2-(4-((2,6-ジフルオロ-4-(ピリジン-4-イル)フェノキシ)メチル)ピペリジン-1-イル)-5-エチルピリミジン; tert-ブチル4-((2,6-ジフルオロ-4-(2-メトキシピリジン-4-イル)フェノキシ)メチル)ピペリジン-1-カルボキシレート; tert-ブチル4-((2,6-ジフルオロ-4-(ピリジン-4-イル)フェノキシ)メチル)ピペリジン-1-カルボキシレート; 2-(4-((2,6-ジフルオロ-4-(6-(メチルスルホニル)ピリジン-3-イル)フェノキシ)メチル)ピペリジン-1-イル)-5-エチルピリミジン; 2-(4-((4-(6-クロロ-2-メチルピリジン-3-イル)-2,6-ジフルオロフェノキシ)メチル)ピペリジン-1-イル)-5-エチルピリミジン; 2-(4-((2,6-ジフルオロ-4-(1-メチル-1H-ピラゾール-4-イル)フェノキシ)メチル)ピペリジン-1-イル)-5-エチルピリミジン; 2-(4-((2,6-ジフルオロ-4-(1H-ピラゾール-4-イル)フェノキシ)メチル)ピペリジン-1-イル)-5-エチルピリミジン; 5-(4-((1-(5-エチルピリミジン-2-イル)ピペリジン-4-イル)メトキシ)-3,5-ジフルオロフェニル)ピコリノニトリル; 2-(4-((2,6-ジフルオロ-4-(3-メトキシピリジン-4-イル)フェノキシ)メチル)ピペリジン-1-イル)-5-エチルピリミジン; N-(4'-((1-(5-エチルピリミジン-2-イル)ピペリジン-4-イル)メトキシ)-3',5'-ジフルオロピフェニル-4-イル)アセトアミド; N-(4'-((1-(5-エチルピリミジン-2-イル)ピペリジン-4-イル)メトキシ)-3',5'-ジフルオロピフェニル-4-イル)メタンスルホンアミド; 2-(4-((4-(6-(ベンジルオキシ)ピリジン-3-イル)-2,6-ジフルオロフェノキシ)メチル)ピペリジン-1-イル)-5-エチルピリミジン; 5-(4-((1-(5-エチルピリミジン-2-イル)ピペリジン-4-イル)メトキシ)-3,5-ジフルオロフェニル)ピリジン-2(1H)-オン; 2-(4-((2,6-ジフルオロ-4-(2-メトキシピリミジン-5-イル)フェノキシ)メチル)ピペリジン-1-イル)-5-エチルピリミジン; 5-(4-((1-(5-エチルピリミジン-2-イル)ピペリジン-4-イル)メトキシ)-3,5-ジフルオロフェニル)ピリミジン-2(1H)-オン; 5-(4-((1-(5-エチルピリミジン-2-イル)ピペリジン-4-イル)メトキシ)-3,5-ジフルオロフェニル)ピリミジン-2-カルボキサミド; tert-ブチル4-((2,6-ジフルオロ-4-(ピリジン-3-イル)フェノキシ)メチル)ピペリジン-1-カルボキシレート; 5-(4-((1-(5-エチルピリミジン-2-イル)ピペリジン-4-イル)メトキシ)-3,5-ジフルオロフェニル)ピリミジン-2-カルボン酸; 2-(5-(4-((1-(5-エチルピリミジン-2-イル)ピペリジン-4-イル)メトキシ)-3,5-ジフルオロフェニル)ピリジン-2-イル)プロパン-2-オール; 2-(4-((3,5-ジフルオロ-4'- (1H-テトラゾール-5-イル)ピフェニル-4-イルオキシ)メチル)ピペリジン-1-イル)-5-エチルピリミジン; 2-(4-((3,5-ジフルオロ-3'- (2H-テトラゾール-5-イル)ピフェニル-4-イルオキシ)メチル)ピペリジン-1-イル)-5-エチルピリミジン;

## 【0020】

2-(4-((3'-((2H-テトラゾール-5-イル)メチル)-3,5-ジフルオロピフェニル-4-イルオキシ)メチル)ピペリジン-1-イル)-5-エチルピリミジン; 2-(4

10

20

30

40

50

- ((4' - ((2H - テトラゾール - 5 - イル)メチル) - 3, 5 - ジフルオロピフェニル - 4 - イルオキシ)メチル)ピペリジン - 1 - イル) - 5 - エチルピリミジン ; 2 - (4 - ((4 - (6 - (2H - テトラゾール - 5 - イル)ピリジン - 3 - イル) - 2, 6 - ジフルオロフェノキシ)メチル)ピペリジン - 1 - イル) - 5 - エチルピリミジン ; 2 - (4 - ((3, 5 - ジフルオロ - 4' - (2 - メチル - 2H - テトラゾール - 5 - イル)ピフェニル - 4 - イルオキシ)メチル)ピペリジン - 1 - イル) - 5 - エチルピリミジン ; 2 - (4 - ((3, 5 - ジフルオロ - 4' - (1 - メチル - 1H - テトラゾール - 5 - イル)ピフェニル - 4 - イルオキシ)メチル)ピペリジン - 1 - イル) - 5 - エチルピリミジン ; 2 - (4 - ((3, 5 - ジフルオロ - 3' - (2 - メチル - 2H - テトラゾール - 5 - イル)ピフェニル - 4 - イルオキシ)メチル)ピペリジン - 1 - イル) - 5 - エチルピリミジン ; 2 - (4 - ((3, 5 - ジフルオロ - 3' - (1 - メチル - 1H - テトラゾール - 5 - イル)ピフェニル - 4 - イルオキシ)メチル)ピペリジン - 1 - イル) - 5 - エチルピリミジン ; 2 - (4 - ((3, 5 - ジフルオロ - 3' - ((2 - メチル - 2H - テトラゾール - 5 - イル)メチル)ピフェニル - 4 - イルオキシ)メチル)ピペリジン - 1 - イル) - 5 - エチルピリミジン ; 2 - (4 - ((3, 5 - ジフルオロ - 3' - ((1 - メチル - 1H - テトラゾール - 5 - イル)メチル)ピフェニル - 4 - イルオキシ)メチル)ピペリジン - 1 - イル) - 5 - エチルピリミジン ; 2 - (4 - ((3, 5 - ジフルオロ - 4' - ((2 - メチル - 2H - テトラゾール - 5 - イル)メチル)ピフェニル - 4 - イルオキシ)メチル)ピペリジン - 1 - イル) - 5 - エチルピリミジン ; 2 - (4 - ((3, 5 - ジフルオロ - 4' - ((1 - メチル - 1H - テトラゾール - 5 - イル)メチル)ピフェニル - 4 - イルオキシ)メチル)ピペリジン - 1 - イル) - 5 - エチルピリミジン ; 2 - (4 - ((2, 6 - ジフルオロ - 4 - (6 - (2 - メチル - 2H - テトラゾール - 5 - イル)ピリジン - 3 - イル)フェノキシ)メチル)ピペリジン - 1 - イル) - 5 - エチルピリミジン ; 2 - (4 - ((2, 6 - ジフルオロ - 4 - (6 - (1 - メチル - 1H - テトラゾール - 5 - イル)ピリジン - 3 - イル)フェノキシ)メチル)ピペリジン - 1 - イル) - 5 - エチルピリミジン ; 1 - メチルシクロプロピル 4 - ((3, 5 - ジフルオロ - 4' - (メチルスルホニル)ピフェニル - 4 - イルオキシ)メチル)ピペリジン - 1 - カルボキシレート ; 4 - (4 - ((1 - (tert - ブトキシカルボニル)ピペリジン - 4 - イル)メトキシ) - 3, 5 - ジフルオロピフェニル)ピリジン 1 - オキシド ; tert - ブチル 4 - ((2, 6 - ジフルオロ - 4 - (2 - オキソ - 1, 2 - ジヒドロピリジン - 4 - イル)フェノキシ)メチル)ピペリジン - 1 - カルボキシレート ; tert - ブチル 4 - ((2, 6 - ジフルオロ - 4 - (1 - メチル - 2 - オキソ - 1, 2 - ジヒドロピリジン - 4 - イル)フェノキシ)メチル)ピペリジン - 1 - カルボキシレート ; 2 - (4 - ((2, 6 - ジフルオロ - 4 - (2 - メチル - 6 - (1H - 1, 2, 4 - トリアゾール - 1 - イル)ピリジン - 3 - イル)フェノキシ)メチル)ピペリジン - 1 - イル) - 5 - エチルピリミジン ; 2 - (4 - ((2, 6 - ジフルオロ - 4 - (2 - メチル - 6 - (メチルスルホニル)ピリジン - 3 - イル)フェノキシ)メチル)ピペリジン - 1 - イル) - 5 - エチルピリミジン ; 5 - (4' - ((1 - (5 - エチルピリミジン - 2 - イル)ピペリジン - 4 - イル)メトキシ) - 3', 5' - ジフルオロピフェニル - 4 - イル)オキサゾール ; 2 - (4 - ((3, 5 - ジフルオロ - 4' - (1H - ピラゾール - 3 - イル)ピフェニル - 4 - イルオキシ)メチル)ピペリジン - 1 - イル) - 5 - エチルピリミジン ; 1 - (4' - ((1 - (5 - エチルピリミジン - 2 - イル)ピペリジン - 4 - イル)メトキシ) - 3', 5' - ジフルオロピフェニル - 4 - イル) - N - メチルメタンアミン ; N - ((4' - ((1 - (5 - エチルピリミジン - 2 - イル)ピペリジン - 4 - イル)メトキシ) - 3', 5' - ジフルオロピフェニル - 4 - イル)メチル) - 2 - メチルプロパン - 2 - アミン ; 4 - ((4' - ((1 - (5 - エチルピリミジン - 2 - イル)ピペリジン - 4 - イル)メトキシ) - 3', 5' - ジフルオロピフェニル - 4 - イル)メチル)モルホリノ ; 2 - (4 - ((4' - ((1H - イミダゾール - 1 - イル)メチル) - 3, 5 - ジフルオロピフェニル - 4 - イルオキシ)メチル)ピペリジン - 1 - イル) - 5 - エチルピリミジン ; 2 - (4 - ((4' - ((2H - テトラゾール - 2 - イル)メチル) - 3, 5 - ジフルオロピフェニル - 4 - イルオキシ)メチル)ピペリジン - 1 - イル) - 5 - エチルピリミジン ; 2 - (4 - ((4' - ((1H - テトラゾール - 1 - イル)メチル) - 3, 5 - ジフルオロピフェニル - 4 - イルオキシ)メチル)ピペリジン - 1 - イル) -

5 - エチルピリミジン ;

【 0 0 2 1 】

5 - (4 - ((1 - (5 - エチルピリミジン - 2 - イル)ピペリジン - 4 - イル)メトキシ) - 3, 5 - ジフルオロフェニル)ピコリンアミド ; 5 - (4 - ((1 - (5 - エチルピリミジン - 2 - イル)ピペリジン - 4 - イル)メトキシ) - 3, 5 - ジフルオロフェニル) - N - メチルピコリンアミド ; 5 - (4 - ((1 - (5 - エチルピリミジン - 2 - イル)ピペリジン - 4 - イル)メトキシ) - 3, 5 - ジフルオロフェニル) - N, N - ジメチルピコリンアミド ; 1 - メチルシクロプロピル 4 - ((2, 6 - ジフルオロ - 4 - (2 - (ピペラジン - 1 - カルボニル)ピリミジン - 5 - イル)フェノキシ)メチル)ピペリジン - 1 - カルボキシレート ; 1 - メチルシクロプロピル 4 - ((4 - (2 - (ジメチルカルバモイル)ピリミジン - 5 - イル) - 2, 6 - ジフルオロフェノキシ)メチル)ピペリジン - 1 - カルボキシレート ; 1 - メチルシクロプロピル 4 - ((2, 6 - ジフルオロ - 4 - (2 - (モルホリン - 4 - カルボニル)ピリミジン - 5 - イル)フェノキシ)メチル)ピペリジン - 1 - カルボキシレート ; 1 - メチルシクロプロピル 4 - ((2, 6 - ジフルオロ - 4 - (2 - (2 - メトキシエチルカルバモイル)ピリミジン - 5 - イル)フェノキシ)メチル)ピペリジン - 1 - カルボキシレート ; 1 - メチルシクロプロピル 4 - ((2, 6 - ジフルオロ - 4 - (2 - オキソ - 2, 3 - ジヒドロオキサゾロ[4, 5 - b]ピリジン - 6 - イル)フェノキシ)メチル)ピペリジン - 1 - カルボキシレート ; 1 - メチルシクロプロピル 4 - ((2, 6 - ジフルオロ - 4 - (2 - (2 - ヒドロキシエチルカルバモイル)ピリミジン - 5 - イル)フェノキシ)メチル)ピペリジン - 1 - カルボキシレート ; および 1 - メチルシクロプロピル 4 - ((2, 6 - ジフルオロ - 4 - (2 - (3 - ヒドロキシプロピルカルバモイル)ピリミジン - 5 - イル)フェノキシ)メチル)ピペリジン - 1 - カルボキシレート

から選択される化合物である。

【 0 0 2 2 】

他の態様において、R<sub>1</sub>はフェニル、ピリジン - 2 - イル、ピリジン - 3 - イル、ピリジン - 4 - イル、ピリミジン - 5 - イル、ピラゾール - 4 - イル、1H - ピラゾール - 4 - イル、6 - オキソ - 1, 6 - ジヒドロピリジン - 3 - イル、2 - オキソ - 1, 2 - ジヒドロピリミジン - 5 - イル、2 - オキソ - 1, 2 - ジヒドロピリジン - 4 - イルおよび 2 - オキソ - 2, 3 - ジヒドロオキサゾロ[4, 5 - b]ピリジン - 6 - イルから選択され ; ここで、R<sub>1</sub>の該フェニル、ピリジン - 2 - イル、ピリジン - 3 - イル、ピリジン - 4 - イル、ピリミジン - 5 - イル、ピラゾール - 4 - イル、1H - ピラゾール - 4 - イル、6 - オキソ - 1, 6 - ジヒドロピリジン - 3 - イル、2 - オキソ - 1, 2 - ジヒドロピリミジン - 5 - イル、2 - オキソ - 1, 2 - ジヒドロピリジン - 4 - イルまたは 2 - オキソ - 2, 3 - ジヒドロオキサゾロ[4, 5 - b]ピリジン - 6 - イルは、場合より、(S) - 3 - ヒドロキシピロリジン - 1 - カルボニル、4 - ヒドロキシピペリジン - 1 - カルボニル、ビス(2 - ヒドロキシエチル)カルバモイル、モルホリノ - エチル - アミノ、4 - メチルピペラジン - 1 - イル、1 - アセトアミドシクロプロピル、2 - ((3 - メチルオキサタン - 3 - イル)メチル) - 2H - テトラゾール - 5 - イル、(2 - ヒドロキシエチル)(メチル)カルバモイル、(2 - ヒドロキシエチル)(エチル)カルバモイル、2 - カルボキシエチルカルバモイル、3 - エトキシ - 3 - オキソプロピルカルバモイル、カルボキシメチルカルバモイル、2 - tert - ブトキシ - 2 - オキソエチルカルバモイル、4 - メチルピペラジン - 1 - カルボニル、(2 - (ジメチルアミノ)エチル)(メチル)カルバモイルおよび 3, 4 - ジヒドロキシピロリジン - 1 - カルボニルから独立して選択される 1 ~ 2 個の基で置換されていてよい。

【 0 0 2 3 】

他の態様において、5 - (4 - ((1 - (5 - エチルピリミジン - 2 - イル)ピペリジン - 4 - イル)メトキシ) - 3, 5 - ジフルオロフェニル) - N - (2 - モルホリノエチル)ピリジン - 2 - アミン ; 2 - (4 - ((2, 6 - ジフルオロ - 4 - (6 - (4 - メチルピペラジン - 1 - イル)ピリジン - 3 - イル)フェノキシ)メチル)ピペリジン - 1 - イル) - 5 - エチルピリミジン ; 1 - メチルシクロプロピル 4 - ((4 - (6 - (1 - アミノシクロプロピル)ピリ

10

20

30

40

50

ジン - 3 - イル) - 2, 6 - ジフルオロフェノキシ)メチル)ピペリジン - 1 - カルボキシレ  
 ート ; 1 - メチルシクロプロピル 4 - ((4 - (6 - (1 - アセトアミドシクロプロピル)ピ  
 リジン - 3 - イル) - 2, 6 - ジフルオロフェノキシ)メチル)ピペリジン - 1 - カルボキシ  
 レート ; 2 - (4 - ((3, 5 - ジフルオロ - 4 - (2 - ((3 - メチルオキセタン - 3 - イ  
 ル)メチル) - 2 H - テトラゾール - 5 - イル)ピフェニル - 4 - イルオキシ)メチル)ピペ  
 リジン - 1 - イル) - 5 - エチルピリミジン ; 1 - メチルシクロプロピル 4 - ((4 - (2 -  
 ((3 R, 4 R) - 3, 4 - ジヒドロキシピロリジン - 1 - カルボニル)ピリミジン - 5 - イル  
 ) - 2, 6 - ジフルオロフェノキシ)メチル)ピペリジン - 1 - カルボキシレート ; 1 - メチ  
 ルシクロプロピル 4 - ((4 - (2 - ((2 - (ジメチルアミノ)エチル)(メチル)カルバモイル  
 )ピリミジン - 5 - イル) - 2, 6 - ジフルオロフェノキシ)メチル)ピペリジン - 1 - カル  
 ボキシレート ; 1 - メチルシクロプロピル 4 - ((2, 6 - ジフルオロ - 4 - (2 - (4 - メ  
 チルピペラジン - 1 - カルボニル)ピリミジン - 5 - イル)フェノキシ)メチル)ピペリジン  
 - 1 - カルボキシレート ; 1 - メチルシクロプロピル 4 - ((2, 6 - ジフルオロ - 4 - (2  
 - ((2 - ヒドロキシエチル)(メチル)カルバモイル)ピリミジン - 5 - イル)フェノキシ)メ  
 チル)ピペリジン - 1 - カルボキシレート ; 1 - メチルシクロプロピル 4 - ((4 - (2 - (エ  
 チル(2 - ヒドロキシエチル)カルバモイル)ピリミジン - 5 - イル) - 2, 6 - ジフルオ  
 ロフェノキシ)メチル)ピペリジン - 1 - カルボキシレート ; 3 - (5 - (3, 5 - ジフルオ  
 ロ - 4 - ((1 - ((1 - メチルシクロプロボキシ)カルボニル)ピペリジン - 4 - イル)メト  
 キシ)フェニル)ピリミジン - 2 - カルボキサミド)プロパン酸 ; 1 - メチルシクロプロピ  
 ル 4 - ((4 - (2 - (3 - エトキシ - 3 - オキソプロピルカルバモイル)ピリミジン - 5 -  
 イル) - 2, 6 - ジフルオロフェノキシ)メチル)ピペリジン - 1 - カルボキシレート ; 2 -  
 (5 - (3, 5 - ジフルオロ - 4 - ((1 - ((1 - メチルシクロプロボキシ)カルボニル)ピペ  
 リジン - 4 - イル)メトキシ)フェニル)ピリミジン - 2 - カルボキサミド)酢酸 ; 1 - メチ  
 ルシクロプロピル 4 - ((4 - (2 - (2 - tert - ブトキシ - 2 - オキソエチルカルバモ  
 イル)ピリミジン - 5 - イル) - 2, 6 - ジフルオロフェノキシ)メチル)ピペリジン - 1 -  
 カルボキシレート ; 1 - メチルシクロプロピル 4 - ((4 - (2 - (ビス(2 - ヒドロキシエ  
 チル)カルバモイル)ピリミジン - 5 - イル) - 2, 6 - ジフルオロフェノキシ)メチル)ピペ  
 リジン - 1 - カルボキシレート ; 1 - メチルシクロプロピル 4 - ((2, 6 - ジフルオロ -  
 4 - (2 - (4 - ヒドロキシピペリジン - 1 - カルボニル)ピリミジン - 5 - イル)フェノキ  
 シ)メチル)ピペリジン - 1 - カルボキシレート ; および(S) - 1 - メチルシクロプロピル  
 4 - ((2, 6 - ジフルオロ - 4 - (2 - (3 - ヒドロキシピロリジン - 1 - カルボニル)ピリ  
 ミジン - 5 - イル)フェノキシ)メチル)ピペリジン - 1 - カルボキシレート  
 から選択される化合物である。

【0024】

さらなる本発明の化合物は、以下の実施例および表 I に記載する。

【0025】

本発明は、本発明の化合物、またはその薬学的に許容される塩の全ての適当な同位体化  
 合物を含む。本発明の化合物またはその薬学的に許容される塩の同位体化合物は、少なく  
 とも 1 個の原子が、同じ原子番号を有するが、原子質量が天然に通常見られる原子質量と  
 異なる原子で置き換えられている化合物として定義する。本発明の化合物およびその薬学  
 的に許容される塩に包含できる同位体の例は、水素、炭素、窒素および酸素、例えば <sup>2</sup>H  
 、 <sup>3</sup>H、<sup>11</sup>C、<sup>13</sup>C、<sup>14</sup>C、<sup>15</sup>N、<sup>17</sup>O、<sup>18</sup>O、<sup>35</sup>S、<sup>18</sup>F、<sup>36</sup>Cl  
 および <sup>123</sup>I を含み、これらに限定されない。本発明の化合物およびその薬学的に許容  
 される塩のある種の同位体化合物、例えば、<sup>3</sup>H または <sup>14</sup>C のような放射活性動態が包  
 含されている化合物は、薬物および / または基質組織分布に有用である。具体例として、  
<sup>3</sup>H および <sup>14</sup>C が、その製造の容易さおよび検出能のために使用され得る。他の例とし  
 て、<sup>2</sup>H のような同位体での置換は、大きな代謝安定性に起因するある種の治療的利点、  
 例えばインビボ半減期延長または必要投与量減少を提供し得る。本発明の化合物またはそ  
 の薬学的に許容される塩の同位体化合物は、一般に適当な同位体試薬を使用した慣用の方  
 法により製造できる。例えば、次の 3 個の実施例化合物が、示す通り重水素化できる：

10

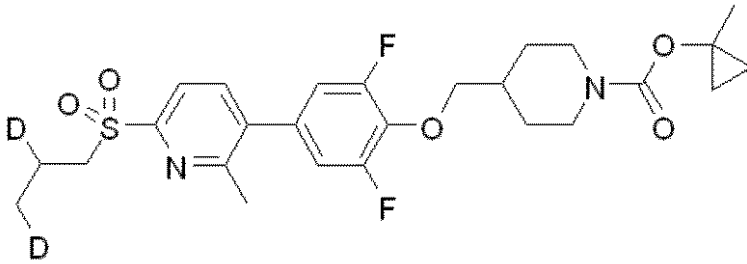
20

30

40

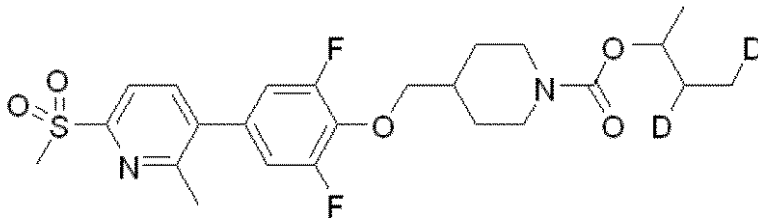
50

## 【化3】



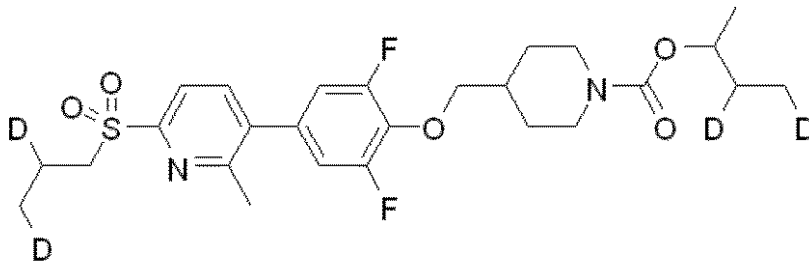
重水素化実施例 F4

10



重水素化実施例 F5

20



重水素化実施例 F6

30

## 【0026】

## 薬理学および有用性

本発明の化合物は G P R 1 1 9 の活性を調節し、それ自体、G P R 1 1 9 の活性が疾患の病状および / または症状に關与する疾患または障害の処置に有用である。本発明は、さらに、G P R 1 1 9 活性が疾患の病状および / または症状に關与する疾患または障害の処置用医薬の製造に使用するための、本発明の化合物を提供する。

## 【0027】

II型糖尿病の結果として起こる病状は、その標的組織でのインスリンシグナル伝達の障害と、膵臓のインスリン産生細胞が高血糖性シグナルに応答した適切な量のインスリンを分泌できなくなることである。後者を処置するための現在の治療は、内因性貯留インスリンの放出の引き金を引くための細胞 A T P 感受性カリウムチャネルの阻害剤、または外因性インスリンの投与である。これらは、いずれも血中グルコース濃度の正確な正常化を達成せず、低血糖を誘発する危険性がある。これらの理由のために、グルコース依存性作用で機能し、すなわちグルコースシグナル伝達の増強剤の開発に非常に興味を持たれている。この方法で機能する生理学的シグナル伝達系は十分に解明されており、腸ペプチド G L P - 1、G I P および P A C A P を含む。これらのホルモンは、膵臓細胞の c A M P の産生を刺激するためにその同族 G - タンパク質共役受容体を介して作用する。c A M P

40

50

増加は、空腹または摂食前状態の間のインスリン放出の刺激の結果であるようには見えない。しかしながら、ATP感受性カリウムチャネル、電位感受性カリウムチャネルおよび開口分泌機構を含む一連のcAMPシグナル伝達が、摂食後グルコース刺激に応答したインスリン分泌が顕著に増大される方法で修飾される。従って、新規な、同様に機能し、GPR119を含む細胞GPCRのアゴニストもまたII型糖尿病における内因性インスリンの放出を刺激し、その結果、正常血糖を促進するはずである。例えばGLP-1刺激の結果としてのcAMP増加は、細胞増殖を促進し、細胞死を減少させ、そしてそれ故に島質量を改善することも確立されている。細胞質量に対するこの正の効果は、インスリン産生が不十分であるII型糖尿病、および細胞が不適当な自己免疫性により破壊されているI型糖尿病の両方に有益であることが予期される。

10

## 【0028】

GPR119を含むいくつかの細胞GPCRはまた、視床下部にも存在し、そこで、それらは空腹、満腹、摂食量減少、体重制御または減少およびエネルギー消費を調節する。それ故に、視床下部回路網でのそれらの機能から、これらの受容体のアゴニストまたは逆アゴニストは、空腹を和らげ、満腹を促進し、それ故に体重を調節する。

## 【0029】

代謝性疾患は他の生理学的系に悪影響を及ぼすことも十分に確立されている。それ故に、複数の疾患状態(例えば“症候群X”のI型糖尿病、II型糖尿病、不適当な糖耐性、インスリン抵抗性、高血糖、高脂血症、高トリグリセリド血症、高コレステロール血症、異脂肪血症、肥満または心血管疾患)または明らかに糖尿病に二次的に起こる二次性疾患(例えば腎臓疾患、末梢ニューロパシー)の同時発症がしばしばある。それ故に、糖尿病性状態の有効な処置は、ひいてはかかる相互に関連した疾患状態に有益であることが予期される。

20

## 【0030】

本発明の一態様は、個体における代謝疾患および/または代謝関連障害であって、かかる処置を必要とする個体に治療有効量の本発明の化合物またはその医薬組成物を投与することを含む方法である。代謝疾患および代謝関連障害は、高脂血症、I型糖尿病、II型真性糖尿病、特発性I型糖尿病(Ib型)、成人潜在性自己免疫性糖尿病(LADA)、早期発症型II型糖尿病(EOD)、若者発症非定型糖尿病(YOAD)、若年発症成人型糖尿病(MODY)、栄養障害関連糖尿病、妊娠性糖尿病、冠動脈心疾患、虚血性卒中、血管形成術後再狭窄、末梢血管疾患、間欠性跛行、心筋梗塞(例えば壊死およびアポトーシス)、異脂肪血症、摂食後脂肪血症、耐糖能障害状態(IGT)、空腹時血漿グルコース障害状態、代謝性アシドーシス、ケトン症、関節炎、肥満、骨粗鬆症、高血圧、鬱血性心不全、左室肥大、末梢動脈疾患、糖尿病性網膜症、黄斑変性症、白内障、糖尿病性腎症、糸球体硬化症、慢性腎不全、糖尿病性ニューロパシー、メタボリック症候群、症候群X、月経前緊張症、冠動脈心疾患、狭心症、血栓症、アテローム性動脈硬化症、心筋梗塞、一過性虚血発作、卒中、血管再狭窄、高血糖、高インスリン血症、高脂血症、高トリグリセリド血症(hypertriglyceridemia)、インスリン抵抗性、グルコース代謝障害、耐糖能障害状態、空腹時血漿グルコース障害状態、肥満、勃起不全、皮膚および結合組織障害、足潰瘍化および潰瘍性大腸炎、内皮機能不全および血管伸展性障害を含み、これらに限定されない。

30

40

## 【0031】

本発明の一つの態様は、GIPおよびPPYの増加に由来し、GPR119活性モジュレーターの治療的利点である。例えば、神経保護、学習および記憶、発作および末梢ニューロパシー。

## 【0032】

GLP-1およびGLP-1受容体アゴニストは、神経変性疾患および他の神経学的障害の処置に有効であることが示されている。GLP-1およびエキセンディン-4は、PC12細胞で増殖因子離脱後、神経突起伸長を刺激し、細胞生存を促進することが示されている。神経変性の齧歯類モデルで、GLP-1およびエキセンディン-4は前脳基底核のコリン作動性マーカー活性を回復させる。GLP-1およびエキセンディン-4の中枢

50

注入はまた真椅子においてアミロイド ペプチドのレベルを減少させ、そして培養PC12細胞のアミロイド前駆体タンパク質量を減少させる。GLP-1受容体アゴニストはラットで学習を増強し、そしてGLP-1受容体ノックアウトマウスは学習行動の欠如を示す。このノックアウトマウスは、カニン酸誘発発作に対する増加した感受性を示し、これは、GLP-1受容体アゴニスト投与により防止できる。GLP-1およびエキセンデイン-4はまた、末梢感覚性ニューロパシーの実験モデルであるピリドキシン誘発末梢神経変性の処置に有効であることも示されている。

【0033】

グルコース依存性インスリン分泌性ポリペプチド(GIP)はまた、海馬前駆細胞の増殖および感覚運動協調および記憶認識の増強に有効であることも示されている。

10

【0034】

本発明の一つの態様は、GPR119活性モジュレーターの治療効果である。例えば、GLP-2および短腸症候群(SBS)である。動物および臨床試験での幾つかの試験が、GLP-2が腸管順応に重要な役割を有する栄養ホルモンであることを示している。細胞増殖、アポトーシス、および栄養吸収におけるその役割が十分に文書で証明されている。短腸症候群は、疾患または小腸の一部の外科的除去(例えばクローン病)の結果としての栄養素、水およびビタミン類の吸収障害により特徴付けられる。腸管順応を改善する治療は、この疾患の処置に有益であると考えられる。実際、SBS患者での第II相試験では、GLP-2アナログであるテデュグルチド(teduglutide)が、分泌液および栄養吸収を適度に上昇させることが示されている。

20

【0035】

本発明の一つの態様は、GIPおよびPPYのレベルの増加に由来するGPR119活性モジュレーターの治療効果である。例えば、GLP-1、GIPおよび骨粗鬆症。GLP-1は、マウスC-細胞株(CA-77)におけるカルシトニンおよびカルシトニン関連遺伝子ペプチド(CGRP)分泌および発現を増加することが示されている。カルシトニンは破骨細胞による骨吸収を阻害し、骨格の骨のミネラル化を促進する。骨粗鬆症は、骨密度減少により特徴付けられる疾患であり、そしてそれ故に、カルシトニンのGLP-1誘発増加は、治療的に有益であるはずである。

【0036】

GIPは、コラーゲンI型mRNAを含む骨芽細胞(osetoblasts)の新規骨形成のマーカーの上方制御、および骨密度増加に関連することが報告されている。GLP-1と同様、GIPもまた骨吸収を阻害することが示されている。

30

【0037】

本発明の一つの態様は、GIPおよびPPYのレベルの増加に由来するGPR119活性モジュレーターの治療効果である。例えば、PPYおよび胃排出。島の膵臓ポリペプチド(PP)細胞上に位置するGPR119は、PPYの分泌に関与している。PPYは、胃排出および消化器運動性の調節を含む種々の生理学的過程に対して大きな効果を有する。これらの効果は、消化過程および栄養摂取を減速させ、それにより、血中グルコースの摂食後上昇を抑制する。PPYは、視床下部摂食調節ペプチド類の発現の変化により食物摂取量を抑制できる。PP過発現マウスは、食物摂取量および胃排出速度の減少を伴い、痩せの表現型を示す。

40

【0038】

前記によって、本発明は、さらに、処置を必要とする対象における上記疾患または障害のいずれかの症状を予防または軽減する方法であって、該対照に治療有効量(下記“投与および医薬組成物”参照)の式Iの化合物またはその薬学的に許容される塩を投与することを含む、方法を提供する。上記の使用の全てに関して、必要投与量は投与方式、処置する特定の状態および所望の効果によって変わる。

【0039】

投与および医薬組成物

一般に、本発明の化合物は、当分野で通常であり、かつ許容される任意の方式により、

50

単独で、または1種以上の治療剤と組み合わせて治療有効量で投与される。治療有効量は、疾患の重症度、対象の年齢および相対的健康、使用する化合物の効力および他の因子に広く依存し得る。一般に、満足な結果が、約0.03~2.5mg/kg体重の一日投与量で全身的に得られることが示される。大型哺乳動物、例えばヒトで指示される一日投与量は約0.5mg~約100mgの範囲であり、簡便には、例えば1日4回までの分割投与量でまたは遅延形態で投与される。経口投与のための適当な単位投与形態は、約1~50mg活性成分を含む。

#### 【0040】

本発明の化合物は、医薬組成物として任意の慣用の経路で、特に経腸的に、例えば、経口的に、例えば、錠剤またはカプセル剤の形で、または非経腸的に、例えば、注射可能溶液または懸濁液の形で、局所的に、例えば、ローション剤、ゲル剤、軟膏剤またはクリーム剤の形で、または経鼻または坐薬形態で投与できる。遊離形または薬学的に許容される塩形態の本発明の化合物を少なくとも1個の薬学的に許容される担体または希釈剤と共に含む医薬組成物は、慣用法で、混合、造粒またはコーティング法により製造できる。例えば、経口組成物は、活性成分をa)希釈剤、例えば、ラクトース、デキストロース、スクロース、マンニトール、ソルビトール、セルロースおよび/またはグリシン；b)滑剤、例えば、シリカ、タルク、ステアリン酸、そのマグネシウムまたはカルシウム塩および/またはポリエチレングリコール；錠剤についてはまたc)結合剤、例えば、ケイ酸アルミニウム・マグネシウム、デンプンペースト、ゼラチン、トラガカント、メチルセルロース、ナトリウムカルボキシメチルセルロースおよびまたはポリビニルピロリドン；望むならばd)崩壊剤、例えば、デンプン類、寒天、アルギン酸またはそのナトリウム塩、または起沸性混合物；および/またはe)吸収剤、着色剤、香味剤および甘味剤と共に含む錠剤またはゼラチンカプセル剤であり得る。注射可能組成物は水性等張溶液または懸濁液であってよく、そして坐薬は脂肪エマルジョンまたは懸濁液から製造してよい。本組成物は滅菌してよくおよび/またはアジュバント、例えば防腐剤、安定化剤、湿潤剤または乳化剤、溶解促進剤、浸透圧調整用塩および/または緩衝剤を含んでよい。加えて、それらはまた他の治療的に価値ある物質を含んでよい。経皮適用に適当な製剤は、有効量の本発明の化合物を担体と共に含む。担体は、宿主の皮膚の通過を助ける吸収性の薬学的に許容される溶媒を含み得る。例えば、経皮デバイスは、裏打ち部材、化合物を所望により担体と共に含む貯蔵部、場合により本化合物を宿主皮膚に制御され、かつ予定された速度で長時間にわたり送達するための速度制御バリア、および該デバイスを皮膚に固定するための手段を含む、バンデージの形である。マトリックス経皮製剤も使用できる。例えば、皮膚および眼への局所適用に適当な製剤は、好ましくは当分野で既知の水性溶液剤、軟膏剤、クリーム剤またはゲル剤である。これらは可溶化剤、安定化剤、張性増加剤、緩衝剤および防腐剤を含んでよい。

#### 【0041】

本発明の化合物は、1種以上の治療剤と組み合わせて治療有効量で投与できる(組合せ剤)。

#### 【0042】

例えば、他の抗肥満剤、食欲低下剤、食欲抑制剤および関連薬剤で相乗効果が起こり得る。食事制限および/または運動とも相乗効果を有し得る。抗肥満剤は、アポリポタンパク質-B分泌/ミクロソームトリグリセリド輸送タンパク質(apo-B/MTP)阻害剤、MCR-4アゴニスト、コレシストキニン(cholecystokinin)-A(CCK-A)アゴニスト、セロトニンおよびノルエピネフリン再取り込み阻害剤(例えば、シブトラミン)、交感神経刺激剤、 $\beta$ 3アドレナリン受容体アゴニスト、ドーパミンアゴニスト(例えば、プロモクリプチン)、メラニン細胞刺激ホルモン受容体アナログ、カンナビノイド1受容体アンタゴニスト(例えば、WO2006/047516に記載された化合物)、メラニン凝集ホルモンアンタゴニスト、レプトン(OBタンパク質)、レプチンアナログ、レプチン受容体アゴニスト、ガラニンアンタゴニスト、リパーゼ阻害剤(例えばテトラヒドロリプスタチン、すなわち、オーリスタット)、食欲低下剤(例えばボンベシンアゴニスト)、神経

10

20

30

40

50

ペプチド - Y アントゴニスト、甲状腺ホルモン様剤、デヒドロエピアンドロステロンまたはそのアナログ、グルココルチコイド受容体アゴニストまたはアントゴニスト、オレキシン受容体アントゴニスト、ウロコルチン結合タンパク質アントゴニスト、グルカゴン様ペプチド - 1 受容体アゴニスト、毛様体神経栄養因子(例えばAxokine<sup>T M</sup>)、ヒトアグーチ関連タンパク質(AGRP)、グレリン受容体アントゴニスト、ヒスタミン3受容体アントゴニストまたはリバースアゴニスト、ニューロメジンU受容体アゴニスト、ノルアドレナリン食欲低下剤(例えば、フェンテルミン、マジンドールなど)および食欲抑制剤(例えば、ブプロピオン)を含み、これらに限定されない。

【0043】

本発明の化合物を他の治療剤と組み合わせて投与するとき、併用化合物の投与量は、当然、用いる併用剤、用いる特定の薬剤、処置する状態などによって変わる。

10

【0044】

組合せ製剤または医薬組成物は、上で定義した本発明の化合物またはその薬学的に許容される塩と、次のものから選択される少なくとも1個の活性成分を含む：

【0045】

a) 抗糖尿病剤、例えばインスリン、インスリン誘導体および模倣剤；インスリン分泌促進物質、例えばスルホニルウレア類、例えば、グリビジド、グリブリドおよびアマリール；インスリン分泌性スルホニルウレア受容体リガンド類、例えばメグリチナイド、例えば、ナテグリニドおよびレバグリニド；インスリン増感剤、例えばタンパク質チロシンホスファターゼ - 1 B (PTP - 1 B) 阻害剤、例えばPTP-112；GSK3 (グリコーゲンシ

ンターゼキナーゼ - 3) 阻害剤、例えばSB-517955、SB-4195052、SB-216763、NN-57-05441およびNN-57-05445；RXRリガンド類、例えばGW - 0791およびAGN - 194204；ナトリウム依存性グルコース共輸送体阻害剤、例えばT - 1095；グリコーゲンホスホリラーゼA阻害剤、例えばBAY R3401；ピグアナイド類、例えばメトホルミン；アルファ - グルコシダーゼ阻害剤、例えばアカルボース；GLP - 1 (グルカゴン様ペプチド - 1)、GLP - 1 アナログ類、例えばエキセンディン - 4 およびGLP - 1 模倣剤；DPP IV (ジペプチジルペプチダーゼIV) 阻害剤、例えばDPP728、LAF237 (ビルダグリプチン - WO 00 / 34241 の実施例 1)、MK-0431、サクサグリプチン、GSK23A；AGEブ

レーカー；チアゾリドン誘導体(グリタゾン)、例えばピオグリタゾン、ロシグリタゾン、または特許出願WO 03 / 043985 に実施例 4 の化合物 19 として記載された(R) - 1

- {4 - [5 - メチル - 2 - (4 - トリフルオロメチル - フェニル) - オキサゾール - 4 - イルメトキシ] - ベンゼンスルホニル} - 2, 3 - ジヒドロ - 1 H - インドール - 2 - カルボン酸、非グリタゾン型PPARガンマアゴニスト、例えばGI-262570；ジアシルグリセロールアセチルトランスフェラーゼ(DGAT)阻害剤、例えばWO 2005044250、WO 2005013907、WO 2004094618 およびWO 2004047755 に記載するもの；

20

30

【0046】

b) 脂質低下剤、例えば3 - ヒドロキシ - 3 - メチル - グルタリルコエンザイムA(HMG - CoA)レダクターゼ阻害剤、例えば、ロバスタチンおよび関連化合物、例えば米国特許4,231,938 に記載するもの、ピタバスタチン、シンバスタチンおよび関連化合物、例えば米国特許4,448,784 および4,450,171 に記載するもの、プラバスタチンおよび関連化合物、例えば米国特許4,346,227 に記載するもの、セリバスタチン、メバスタチンおよび関連化合物、例えば米国特許3,983,140 に記載するもの、ベロスタチン(velostatin)、フルバスタチン、ダルバスタチン(dalvastatin)、アトルバスタチン、ロスバスタチンおよび米国特許5,753,675 に記載する関連スタチン化合物、リバスタチン(rivastatin)、米国特許4,613,610 に記載するメバロノラクトン誘導体のピラゾールアナログ、PCT出願WO 86 / 03488 に記載するメバロノラクトン誘導体のインデンアナログ、米国特許4,647,576 に記載する6 - [2 - (置換 - ピロール - 1 - イル) - アルキル]ピラン - 2 - オン類およびその誘導体、Searle's SC-45355 (3 - 置換ペンタンジオイック酸誘導体)ジクロロアセテート、PCT出願WO 86

40

50

／ 0 7 0 5 4 に記載するメパロノラクトンのイミダゾールアナログ、フランス特許 2, 5 9 6, 3 9 3 に記載する 3 - カルボキシ - 2 - ヒドロキシ - プロパン - ホスホン酸誘導体、欧州特許出願 0 2 2 1 0 2 5 に記載する 2, 3 - 二置換ピロール、フランおよびチオフェン誘導体、米国特許 4, 6 8 6, 2 3 7 に記載するメパロノラクトンのナフチルアナログ、オクタヒドロナフタレン類、例えば米国特許 4, 4 9 9, 2 8 9 に記載するもの、欧州特許出願 0, 1 4 2, 1 4 6 A 2 に記載するメビノリン(ロバスタチン)のケトアナログ、および米国特許 5, 5 0 6, 2 1 9 および 5, 6 9 1, 3 2 2 に記載するキノリンおよびピリジン誘導体。加えて、ここで使用するのに適当な H M G C o A レダクターゼの阻害に有用なホスフィン酸化合物が、G B 2 2 0 5 8 3 7 に記載されている；スクアレンシンターゼ阻害剤；F X R (ファルネソイド X 受容体) および L X R (肝臓 X 受容体) リガンド；コレステラミン；フィブラート；ニコチン酸およびアスピリン；

【 0 0 4 7 】

c) 抗肥満剤または食欲抑制剤、例えば C B 1 活性モジュレーター、メラノコルチン受容体 (M C 4 R) アゴニスト、メラニン凝集ホルモン受容体 (M C H R) アンタゴニスト、成長ホルモン分泌促進物質受容体 (G H S R) アンタゴニスト、ガラニン受容体モジュレーター、オレキシンアンタゴニスト、C C K アゴニスト、G L P - 1 アゴニスト、および他のプレプログルカゴン由来ペプチド類；N P Y 1 または N P Y 5 アンタゴニスト、N P Y 2 および N P Y 4 モジュレーター、副腎皮質刺激ホルモン放出因子アゴニスト、ヒスタミン受容体 - 3 (H 3) モジュレーター、a P 2 阻害剤、P P A R ガンマモジュレーター、P P A R デルタモジュレーター、アセチル - C o A カルボキシラーゼ (A C C) 阻害剤、1 1 - H S D - 1 阻害剤、アディポネクチン (adipoectin) 受容体モジュレーター；ベータ 3 アドレナリンアゴニスト、例えば A J 9 6 7 7 (武田 / 大日本)、L 7 5 0 3 5 5 (Merck)、または C P 3 3 1 6 4 8 (Pfizer) または米国特許 5, 5 4 1, 2 0 4、5, 7 7 0, 6 1 5、5, 4 9 1, 1 3 4、5, 7 7 6, 9 8 3 および 5, 4 8 8, 0 6 4 に記載する他の既知ベータ 3 アゴニスト、甲状腺受容体ベータモジュレーター、例えば W O 9 7 / 2 1 9 9 3 (U . Cal SF)、W O 9 9 / 0 0 3 5 3 (KaroBio) および G B 9 8 / 2 8 4 4 2 5 (KaroBio) に記載する甲状腺受容体リガンド、W O 2 0 0 5 0 1 1 6 5 5 に記載する S C D - 1 阻害剤、リパーゼ阻害剤、例えばオーリスタットまたは ATL-962 (Alizyme)、セロトニン受容体アゴニスト、(例えば、BVT-933 (Biovitrum))、モノアミン再取り込み阻害剤または遊離剤、例えばフェンフルラミン、デキスフェンフルラミン、フルボキサミン、フルオキセチン、パロキセチン、セルトラリン、クロルフェンテルミン、クロホレックス、クロルテルミン、ピシロレックス、シブトラミン、デキサンフェタミン、フェンテルミン、フェニルプロパノールアミンまたはマジンドール、食欲低下剤、例えばトピラメート (Johnson & Johnson)、C N T F (毛様体神経栄養因子) / Axokine (登録商標) (Regeneron)、B D N F (脳由来神経栄養因子)、レプチンおよびレプチン受容体モジュレーター、フェンテルミン、レプチン、プロモクリプチン、デキサンフェタミン、アンフェタミン、フェンフルラミン、デキスフェンフルラミン、シブトラミン、オーリスタット、デキスフェンフルラミン、マジンドール、フェンテルミン、フェンジメトラジン、ジエチルプロピオン、フルオキセチン、ブプロピオン、トピラメート、ジエチルプロピオン、ベンズフェタミン、フェニルプロパノールアミンまたはエコピパム (ecopipam)、エフェドリン、シュードエフェドリン；

【 0 0 4 8 】

d) 抗高血圧剤、例えばループ利尿剤、例えばエタクリン酸、フロセミドおよびトルセミド；利尿剤、例えばチアジド誘導体、クロル (chlori) チアジド、ヒドロクロロチアジド、アミロライド；アンジオテンシン変換酵素 (A C E) 阻害剤、例えばベナゼプリル、カプトプリル、エナラプリル、フォシノプリル、リシノプリル、モエキシプリル、ペリノドプリル (perinodopril)、キナプリル、ラミプリルおよびトランドラプリル；N a - K - A T P a s e 膜ポンプ阻害剤、例えばジゴキシン；中性エンドペプチダーゼ (N E P) 阻害剤例えばチオルファン、t e r t e o - チオルファン、SQ29072；E C E 阻害剤例えば S L V 3 0 6；A C E / N E P 阻害剤、例えばオマパトリラート、サムパトリラート (sampatriilat) およびファシドトリル；アンジオテンシン I I アンタゴニスト例えばカンデサルタン

10

20

30

40

50

、エプロサルタン、イルベサルタン、ロサルタン、テルミサルタンおよびバルサルタン、特にバルサルタン；レニン阻害剤、例えばアリスキレン、テルラキレン(terlakiren)、ジテキレン(ditekiren)、RO 66-1132、RO-66-1168；ベータ - アドレナリン受容体ブロッカー類、例えばアセプトロール、アテノロール、ベタキソロール、ピソプロロール、メトプロロール、ナドロール、プロプラノロール、ソタロールおよびチモロール；変力剤、例えばジゴキシン、ドブタミンおよびミルリノン；カルシウムチャンネルブロッカー類、例えばアムロジピン、ベプリジル、ジルチアゼム、フェロジピン、ニカルジピン、ニモジピン、ニフェジピン、ニソルジピンおよびベラパミル；アルドステロン受容体アンタゴニスト；アルドステロンシンターゼ阻害剤；およびデュアル E T / A IIアンタゴニスト、例えば WO 0 0 0 / 0 1 3 8 9 に記載するもの。

10

【 0 0 4 9 】

e) H D L 増加化合物；

【 0 0 5 0 】

f) コレステロール吸収モジュレーター、例えばZetia(登録商標)およびKT6-971；

【 0 0 5 1 】

g) A p o - A 1 アナログおよび模倣剤；

【 0 0 5 2 】

h) トロンビン阻害剤、例えばキシメラガトラン；

【 0 0 5 3 】

i) アルドステロン阻害剤、例えばアナストロゾール(anastrozole)、ファドロゾール、エプレレノン；

20

【 0 0 5 4 】

j) 血小板凝集阻害剤、例えばアスピリン、硫酸クロピドグレル；

【 0 0 5 5 】

k) エストロゲン、テストステロン、選択的エストロゲン受容体モジュレーター、選択的アンドロゲン受容体モジュレーター；

【 0 0 5 6 】

l) 化学療法剤、例えばアロマターゼ阻害剤例えばフェマール、抗エストロゲン類、トポイソメラーゼ I 阻害剤、トポイソメラーゼ II 阻害剤、微小管活性化剤、アルキル化剤、抗新生物代謝拮抗剤、プラチン化合物、タンパク質キナーゼ活性を減少させる化合物、例えば P D G F 受容体チロシンキナーゼ阻害剤、好ましくは欧州特許出願 E P - A - 0 5 6 4 4 0 9 に実施例 2 1 に記載されているイマチニブ( $\{N - \{5 - [4 - (4 - \text{メチル} - \text{ピペラジノ} - \text{メチル}) - \text{ベンゾイルアミド}] - 2 - \text{メチルフェニル}\} - 4 - (3 - \text{ピリジル}) - 2 - \text{ピリミジン} - \text{アミン}\}$ )または特許出願 W O 0 4 / 0 0 5 2 8 1 に実施例 9 2 として記載されている  $4 - \text{メチル} - N - [3 - (4 - \text{メチル} - \text{イミダゾール} - 1 - \text{イル}) - 5 - \text{トリフルオロメチル} - \text{フェニル}] - 3 - (4 - \text{ピリジン} - 3 - \text{イル} - \text{ピリミジン} - 2 - \text{イルアミノ}) - \text{ベンズアミド}$ ；および

30

【 0 0 5 7 】

m)  $5 - H T _3$  受容体と相互作用する薬剤および / または  $5 - H T _4$  受容体と相互作用する薬剤、例えば米国特許 5 5 1 0 3 5 3 に実施例 1 3 として記載されたテガセロド、マレイン酸水素テガセロド、シサプリド、シランセトロン(cilansetron)；

40

【 0 0 5 8 】

n) タバコ濫用処置剤、例えば、ニコチン受容体部分的アゴニスト、プロピオン塩酸塩(hypochloride)(商品名Zyban(登録商標)としても既知)およびニコチン補充療法；

【 0 0 5 9 】

o) 勃起不全処置剤、例えば、ドーパミン作用剤、例えばアボモルヒネ)、A D D / A D H D 剤(例えば、Ritalin(登録商標)、Strattera(登録商標)、Concerta(登録商標)およびA d d e r a l l(登録商標))；

【 0 0 6 0 】

p) アルコール依存症治療剤、例えばオピオイドアンタゴニスト(例えば、ナルトレキソ

50

ン(商品名ReVia(登録商標)としても既知)およびナルメフェン)、ジスルフィラム(商品名Antabuse(登録商標)としても既知)、およびアカンプロセート(商品名Campral(登録商標)としても既知))。加えて、アルコール離脱症状を軽減する薬剤、例えばベンゾジアゼピン類、ベータ-ブロッカー類、クロニジン、カルバマゼピン、プレガバリン、およびギャバペンチン(Neurontin(登録商標))も併用してよい；

【0061】

q) 抗炎症剤(例えば、COX-2阻害剤)；抗鬱剤(例えば、フルオキセチンヒドロクロライド(Prozac(登録商標)))；認知改善剤(例えば、塩酸ドネペジル(Aircept(登録商標))および他のアセチルコリンエステラーゼ阻害剤)；神経保護剤(例えば、メマンチン)；抗精神病性薬(例えば、ジプラシドン(Geodon(登録商標))、リスペリドン(Risperdal(登録商標))、およびオランザピン(Zyprexa(登録商標)))を含む、他の有用な薬剤；

10

【0062】

または、いずれの場合も、その薬学的に許容される塩；および場合により薬学的に許容される担体。

【0063】

本発明はまた、a)ここに記載する遊離形または薬学的に許容される塩形の本発明の化合物、およびb)少なくとも1個の併用剤を含む、組合せ剤、例えばキットも提供する。本キットは、その投与についての指示書を含んでよい。

【0064】

ここで用いる用語“併用投与”または“組合せ投与”または類似の用語は、選択した複数治療剤の一患者への投与を包含することを意図し、そして複数薬剤を必ずしも同じ投与経路でまたは同時に投与しない処置レジメを含むことを意図する。

20

【0065】

ここで使用する用語“組合せ剤”は、1個を超える活性成分の混合または組合せに由来する製品を意味し、複数活性成分の固定されたおよび固定されていない組合せの両方を含む。用語“固定された組合せ”は、複数活性成分、例えば式Iの化合物および併用剤を、両方とも患者に同時に一つのものまたは投与量の形態で投与することを意味する。用語“固定されていない組合せ”は、複数活性成分、例えば式Iの化合物および併用剤を、両方とも、患者に別々の物として、同時に、一緒にまたは具体的時間制限なく別々に投与し、かかる投与が、患者体内で2化合物の治療有効レベルを提供することを意味する。後者はまたカクテル療法、例えば3種以上の活性成分の投与にも適用される。

30

【0066】

#### 本発明の化合物の製造方法

本発明はまた本発明の化合物の製造方法も含む。記載する反応において、反応性官能基、例えばヒドロキシ基、アミノ基、イミノ基、チオ基またはカルボキシ基を、これらが最終生成物において望まれるとき、反応への望まない参加を避けるために保護する必要があることがある。慣用の保護基を標準実務に従い使用でき、例えば、T.W. Greene and P. G. M. Wuts in “Protective Groups in Organic Chemistry”, John Wiley and Sons, 1991を参照のこと。

【0067】

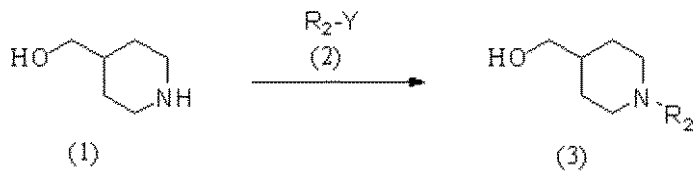
下記スキーム中、本発明の化合物の製造方法の幾つかは説明的である。当業者には、これらの方法が代表例であり、決して本発明の化合物を製造する全ての方法が含まれているわけではないことが認められる。

40

【0068】

## 【化4】

## 反応スキーム I



ここで、 $R_2$  は発明の要約において記載した通りである。式3の化合物を、反応スキーム Iにおける通り、式1の化合物と式2(ここで、 $Y$ は脱離基であり、クロライド、プロマイド、アイオダイド、トリフラート、ノナフラート、カーボネートまたは当業者に周知の他の適切な脱離基である)の化合物を、適当な溶媒、例えばDMF、DMA、 $\text{CH}_3\text{CN}$ 、 $\text{CH}_2\text{Cl}_2$ などの中、適当な塩基、例えば $\text{Cs}_2\text{CO}_3$ 、 $\text{NEt}_3$ などの存在下で反応させることにより製造できる。反応は約 $-20$  ~ 約 $140$ の温度で進行し、完了まで最大24時間かかり得る。このスキームで、 $R_2$ と名付けた基は、発明の要約で定義した基の保護形態であり、これはこのスキームが完了後、またはこのスキームの途中で脱保護し、最終化合物へと操作してよい。

10

【0069】

## 【化5】

## 反応スキーム II



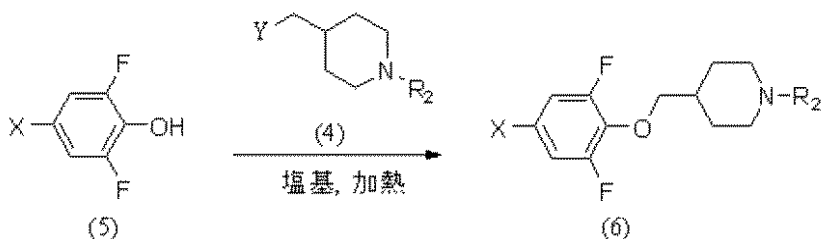
ここで、 $Y$ は脱離基、例えばアルキルスルホン酸エステル、ハライドまたは当業者に周知の他の適切な基であり、そして $R_2$ は発明の要約で定義した通りである。式4の化合物を、反応スキームIIにおける通り、式3の化合物と、メタンサルホニルクロライド、 $\text{SOCl}_2$ などと、塩基、例えば $\text{NEt}_3$ 、 $\text{EtNiPr}_2$ などの存在下または非存在下、溶媒、例えば $\text{CH}_2\text{Cl}_2$ 、 $\text{CHCl}_3$ 、 $\text{AcOEt}$ などの中で反応させることにより製造できる。反応は約 $-20$  ~ 約 $40$ の温度で進行し、完了まで最大24時間かかり得る。

30

【0070】

## 【化6】

## 反応スキーム III



40

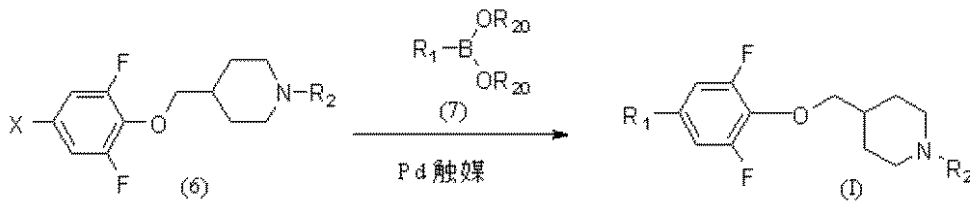
式6の化合物を、反応スキームIIIにおける通り、式5(ここで、 $X$ はクロライド、プロマイド、アイオダイド、トリフラート、ノナフラートなどを意味する)の化合物と、式4(ここで、 $Y$ は脱離基、例えばアルキルスルホン酸エステル、ハライドまたは当業者に周知の他の適切な基を意味する)の化合物を、適当な溶媒、例えばDMF、THF、 $\text{CH}_3\text{CN}$ などの中、適当な塩基、例えば $\text{Cs}_2\text{CO}_3$ 、 $\text{NaH}$ などの存在下で反応させることにより製造できる。反応は約 $50$  ~ 約 $140$ の温度で進行し、完了まで最大24時間かかり得る。

50

【 0 0 7 1 】

【 化 7 】

## 反応スキーム IV



10

式 I の化合物を、反応スキーム IV における通り、式 6 (ここで、X はクロライド、ブロマイド、アイオダイド、トリフラート、ノナフラートなどを意味する) の化合物と、式 7 (ここで、 $R_1$  は発明の要約において記載した通りであり、そして  $B(OR_{20})_2$  はボロン酸またはボロン酸エステル、例えばボロン酸ピナコールエステルなどを意味する) の化合物を、当分野で既知の Pd 方法を使用して反応させることにより製造できる。反応は約 78 ~ 約 100 の温度で進行し、完了まで最大 24 時間かかり得る。

【 0 0 7 2 】

本発明の化合物の合成の詳細は、以下の実施例に記載する。

【 0 0 7 3 】

## 本発明の化合物の製造のためのさらなる方法

20

本発明の化合物は、遊離塩基形態の化合物を薬学的に許容される無機または有機酸と反応させることにより、薬学的に許容される酸付加塩で製造できる。あるいは、本発明の化合物の薬学的に許容される塩基付加塩は、遊離酸形態の化合物を薬学的に許容される無機または有機塩基と反応させることにより製造できる。あるいは、塩形態の本発明の化合物を、塩の出発物質または中間体を使用して製造できる。

【 0 0 7 4 】

本発明の化合物の遊離酸または遊離塩基形態は、対応する塩基付加塩または酸付加塩形態から各々製造できる。例えば酸付加塩形態の本発明の化合物を、適当な塩基 (例えば、水酸化アンモニウム溶液、水酸化ナトリウムなど) で処理することにより対応する遊離塩基に変換できる。塩基付加塩形態の本発明の化合物を、適当な酸 (例えば、塩酸など) で処理することにより対応する遊離酸に変換できる。

30

【 0 0 7 5 】

酸化されていない形態の本発明の化合物を、本発明の化合物の N - オキシドから、還元剤 (例えば、硫黄、二酸化硫黄、トリフェニルホスフィン、リチウムボロハイドライド、水素化ホウ素ナトリウムなど) で適当な不活性有機溶媒 (例えばアセトニトリル、エタノール、水性ジオキサンなど) で 0 ~ 80 で処理することにより製造できる。

【 0 0 7 6 】

本発明の化合物のプロドラッグ誘導体は、当業者に既知の方法により製造できる (例えば、さらなる詳細は Saulnier et al., (1994), Bioorganic and Medicinal Chemistry Letters, Vol. 4, p. 1985 参照)。例えば、適当なプロドラッグを、誘導体化されていない本発明の化合物を適当なカルバミル化剤 (例えば、1,1 - アシルオキシアルキルカルバノクロリデート、パラ - ニトロフェニルカーボネートなど) と反応させることにより製造できる。

40

【 0 0 7 7 】

本発明の化合物の被保護誘導体を、当業者に既知の手段により製造できる。保護基の形成およびその除去に適用できる方法の詳細な記載は、T. W. Greene, "Protecting Groups in Organic Chemistry", 3rd edition, John Wiley and Sons, Inc., 1999 に見ることができる。

【 0 0 7 8 】

本発明の化合物は、溶媒和物 (例えば、水和物) として製造するのが好都合であるか、本

50

発明の工程の間に形成される。本発明の化合物の水和物は、ジオキシン、テトラヒドロフランまたはメタノールを使用したような有機溶媒水性 / 有機溶媒混合物からの再結晶により好都合に製造できる。

【0079】

本発明の化合物は、本化合物のラセミ混合物を光学活性分割剤と反応させてジアステレオ異性化合物のペアを形成させ、ジアステレオマーを分離し、そして光学的に純粋な鏡像体を回収することにより、その個々の立体異性体として製造できる。鏡像体の分割は本発明の化合物の共有結合的結合するジアステレオマー誘導体を使用して実施できるが、解離可能な複合体が好ましい(例えば、結晶性ジアステレオマー塩)。複数ジアステレオマーは異なる物理的特性(例えば、融点、沸点、溶解度、反応性など)を有し、これらの差異を利用して容易に分離できる。ジアステレオマーは、クロマトグラフィーにより、または好ましくは、溶解度の差異に基づく分離 / 分割法により分離できる。次いで、光学的に純粋な鏡像体を、分割剤と共に、ラセミ化をもたらしないう任意の実際的手段により回収する。化合物の立体異性体のラセミ混合物からの分割に適用可能な方法のより詳細な記載は、Jean Jacques, Andre Collet, Samuel H. Wilen, "Enantiomers, Racemates and Resolutions", John Wiley And Sons, Inc., 1981に見ることができる。

10

【0080】

要約すると、式 I の化合物は、次の工程を含む方法により製造できる：

- (a) 反応スキーム I、II、IIIおよびIVの工程；および
- (b) 場合により本発明の化合物を薬学的に許容される塩に変換し；
- (c) 場合により塩形態の本発明の化合物を非塩形態に変換し；
- (d) 場合により酸化されていない形態の本発明の化合物を薬学的に許容される N - オキシドに変換し；
- (e) 場合により N - オキシド形態の本発明の化合物をその酸化されていない形態に変換し；
- (f) 場合により異性体混合物から本発明の化合物の個々の異性体を単離し；
- (g) 場合により誘導体化されていない本発明の化合物を薬学的に許容されるプロドラッグ誘導体に変換し；そして
- (h) 場合によりプロドラッグ誘導体の本発明の化合物をその誘導体化されていない形態に変換する。

20

30

【0081】

出発物質が具体的に記載されていない限り、その化合物は既知であるか、または当分野で既知の、または以下の実施例に記載の通りの方法に準じて製造できる。

【0082】

当業者には、上記の変換が本発明の化合物の製造の単なる代表例であり、他の既知の方法を同様に使用できることは当然である。

【実施例】

【0083】

本発明を、さらに、本発明の化合物の製造を説明する以下の実施例により、限定せずに例示する。

40

【0084】

実施例 A 1

2 - (4 - ((2, 6 - ジフルオロ - 4 - (5 - (メチルスルホニル)ピリジン - 2 - イル)フェノキシ)メチル)ピペリジン - 1 - イル) - 5 - エチルピリミジン



工程 C : 4 - ブロモ - 2, 6 - ジフルオロフェノール (1.15 g、5.5 mmol) および中間体 A 1 b (1.50 g、5.0 mmol) の DMF (20 mL) 溶液に、Cs<sub>2</sub>CO<sub>3</sub> (2.50 g、7.7 mmol) を添加した。得られた懸濁液を 90 °C で 2 時間加熱し、r.t. に冷却し、H<sub>2</sub>O (100 mL) で希釈する。混合物を EtOAc (3 × 40 mL) で抽出し、合わせた有機物を塩水で洗浄し、MgSO<sub>4</sub> で乾燥させ、真空で濃縮する。フラッシュクロマトグラフィー (EtOAc / ヘキサン 勾配) での精製により、2 - ((4 - (4 - ブロモ - 2, 6 - ジフルオロフェノキシ)メチル)ピペリジン - 1 - イル) - 5 - エチルピリミジン A 1 c を、無色油状物として得て、それは静置により固化する：<sup>1</sup>H-NMR (400 MHz, CDCl<sub>3</sub>) δ = 8.19 (s, 2H), 7.10 (d, J = 7.7 Hz, 2H), 4.77 (br d, J = 13.2 Hz, 2H), 3.98 (d, J = 6.8 Hz, 2H), 2.92 (td, J = 14.4, 2.8 Hz, 2H), 2.47 (q, J = 7.6 Hz, 2H), 2.09 (m, 1H), 1.95 (br d, J = 14.4 Hz, 2H), 1.35 (qd, J = 14.4, 4.4 Hz, 2H), 1.21 (t, J = 7.6 Hz, 3H); <sup>19</sup>F-NMR (376.5 MHz, CDCl<sub>3</sub>) δ = -126.00; [M+H]<sup>+</sup> C<sub>18</sub>H<sub>21</sub>BrF<sub>2</sub>N<sub>3</sub>O についての MS 計算値: 412.1, 実測値: 412.1。

10

## 【0087】

工程 D : 中間体 A 1 c (1.03 g、2.5 mmol) の DMSO (20 mL) 溶液に、ビス(ピナコラト)ジボロン (706 mg、2.8 mmol)、酢酸カリウム (740 mg、7.5 mmol)、およびジクロロ[1, 1' - ビス(ジフェニルホスフィノ)フェロセン]パラジウム(II) (95 mg、5 mol %) を添加する。混合物を 80 °C で 2.5 時間加熱する。溶液を次いで r.t. に冷却し、H<sub>2</sub>O (100 mL) で希釈し、EtOAc (3 × 30 mL) で抽出する。有機層を MgSO<sub>4</sub> で乾燥させ、真空で濃縮する。フラッシュクロマトグラフィー (EtOAc / ヘキサン 勾配) での精製により、2 - ((2, 6 - ジフルオロ - 4 - (4, 4, 5, 5 - テトラメチル - 1, 3, 2 - ジオキサボロラン - 2 - イル)フェノキシ)メチル)ピペリジン - 1 - イル) - 5 - エチルピリミジン A 1 d を無色油状物として得る：<sup>1</sup>H-NMR (400 MHz, CDCl<sub>3</sub>) δ = 8.16 (s, 2H), 7.30 (d, J = 8.5 Hz, 2H), 4.75 (d, J = 13.2 Hz, 2H), 4.03 (d, J = 6.4 Hz, 2H), 2.90 (td, J = 12.8, 2.8 Hz, 2H), 2.45 (q, J = 7.6 Hz, 2H), 2.07 (m, 1H), 1.93 (d, J = 12.8 Hz, 2H), 1.32 (s, 12H), 1.18 (t, J = 7.6 Hz, 3H); <sup>19</sup>F-NMR (376.5 MHz, CDCl<sub>3</sub>) δ = -129.18; [M+H]<sup>+</sup> C<sub>24</sub>H<sub>33</sub>BF<sub>2</sub>N<sub>3</sub>O<sub>3</sub> についての MS 計算値: 460.3, 実測値: 460.3。

20

## 【0088】

工程 E : バイアルに中間体 A 1 d (344 mg、0.75 mmol)、2 - ブロモ - 5 - (メチルスルホニル)ピリジン (199 mg、0.84 mmol)、ジクロロ[1, 1' - ビス(ジフェニルホスフィノ)フェロセン]パラジウム(II) (38 mg、6 mol %)、および乾燥ジオキサン (1.5 mL) を入れる。この溶液に 1 M 水性 Cs<sub>2</sub>CO<sub>3</sub> (1 mL、1.0 mmol) を添加し、二相混合物をマイクロ波照射する (120 °C、15 分間)。混合物を H<sub>2</sub>O (20 mL) で希釈し、EtOAc (3 × 25 mL) で抽出する。有機相を塩水 (10 mL) で洗浄し、MgSO<sub>4</sub> で乾燥させ、真空で濃縮する。フラッシュクロマトグラフィー (EtOAc / ヘキサン 勾配) での精製により、表題化合物 (実施例 A 1) を結晶性粉末として得る：<sup>1</sup>H-NMR (400 MHz, CDCl<sub>3</sub>) δ = 9.16 (dd, J = 2.4, 0.8 Hz, 1H), 8.27 (dd, J = 8.4, 2.4 Hz, 1H), 8.17 (s, 2H), 7.82 (dd, J = 8.4, 0.8 Hz, 1H), 7.67 (d, J = 9.2 Hz, 2H), 4.78 (d, J = 13.2 Hz, 2H), 4.10 (d, J = 6.4 Hz, 2H), 3.14 (s, 3H), 2.92 (td, J = 12.8, 2.4 Hz, 2H), 2.46 (q, J = 7.6 Hz, 2H), 2.11 (m, 1H), 1.96 (d, J = 13.2 Hz, 2H), 1.36 (qd, J = 12.4, 4.0 Hz, 2H), 1.19 (t, J = 7.6 Hz, 3H); <sup>19</sup>F-NMR (376.5 MHz, CDCl<sub>3</sub>) δ = -126.56; [M+H]<sup>+</sup> C<sub>24</sub>H<sub>27</sub>F<sub>2</sub>N<sub>4</sub>O<sub>3</sub>S についての MS 計算値: 489.2, 実測値: 489.2。

30

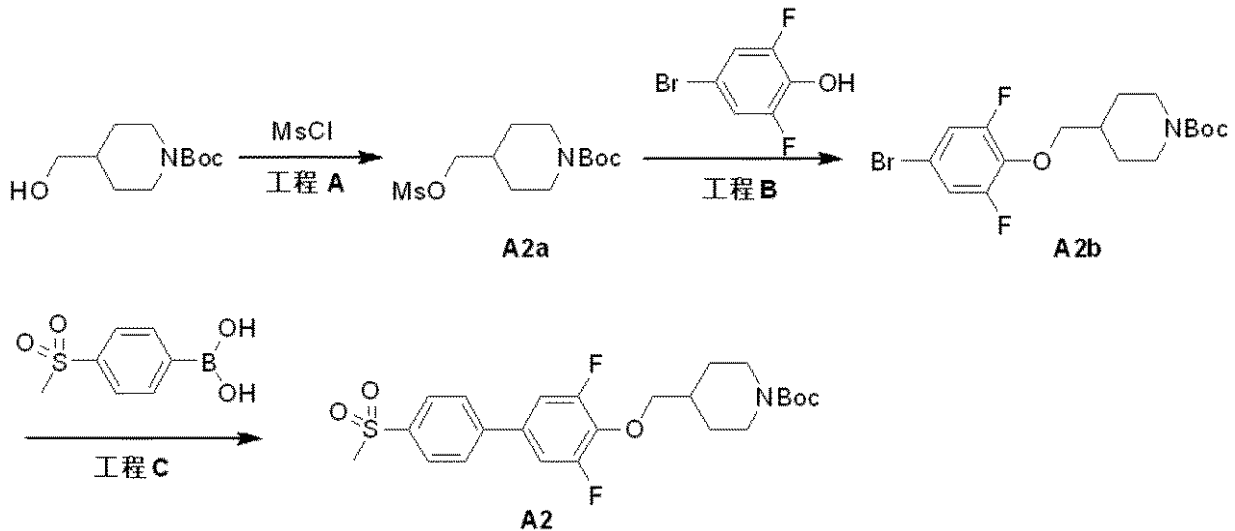
40

## 【0089】

実施例 A 2

tert - ブチル 4 - ((3, 5 - ジフルオロ - 4 - (メチルスルホニル)ピフェニル - 4 - イルオキシ)メチル)ピペリジン - 1 - カルボキシレート

## 【化9】



10

工程 A : *Tert*-ブチル 4 - ((メチルスルホニルオキシ)メチル)ピペリジン - 1 - カルボキシレート A 2 a を、*tert*-ブチル 4 - (ヒドロキシメチル)ピペリジン - 1 - カルボキシレート (30 g、139 mmol) から中間体 A 1 b の製造について記載した方法と同じ方法に従い、製造する。[M-Boc+2H]<sup>+</sup> C<sub>8</sub>H<sub>16</sub>NO<sub>5</sub>S についての MS 計算値: 238.3, 実測値: 238.0。生成物を精製せずに使用する。

20

## 【0090】

工程 B : *Tert*-ブチル 4 - ((4 - プロモ - 2, 6 - ジフルオロフェノキシ)メチル)ピペリジン - 1 - カルボキシレート A 2 b を、4 - プロモ - 2, 6 - ジフルオロフェノール (1.67 g、8 mmol) および中間体 A 2 a (2.35 g、8 mmol) から、中間体 A 1 c の製造について記載した方法と同じ方法に従い、製造する。[M+Na]<sup>+</sup> C<sub>17</sub>H<sub>22</sub>BrF<sub>2</sub>NNaO<sub>3</sub> についての MS 計算値: 428.1, 実測値: 428.2。生成物を精製せずに使用する。

## 【0091】

工程 C : 中間体 A 2 b (20.3 mg、0.05 mmol)、4 - (メタンスルホニル)ベンゼンボロン酸 (12.0 mg、0.06 mmol)、Na<sub>2</sub>CO<sub>3</sub> (15.9 mg、0.15 mmol) および Pd(PPh<sub>3</sub>)<sub>4</sub> (1.7 mg、0.0015 mmol) の H<sub>2</sub>O (0.24 mL)、EtOH (0.18 mL) および DME (0.72 mL) 中の混合物を窒素雰囲気下でマイクロ波照射する (180 °C、10 分間)。冷却後、混合物を MeCN で希釈し、濾過する。濾液を逆相 HPLC で精製して、表題化合物 (実施例 A 2) を得る: <sup>1</sup>H-NMR (400 MHz, CDCl<sub>3</sub>) δ = 8.01 (m, 2H), 7.69 (m, 2H), 7.16 (m, 2H), 4.16 (m, 2H), 4.04 (d, J = 6.4 Hz, 2H), 3.09 (s, 3H), 2.76 (t, J = 12.4 Hz, 2H), 1.98 (m, 1H), 1.86 (m, 2H), 1.47 (s, 9H), 1.28 (m, 2H); <sup>19</sup>F-NMR (376.5 MHz, CDCl<sub>3</sub>) δ = -126.74; [M+Na]<sup>+</sup> C<sub>24</sub>H<sub>29</sub>F<sub>2</sub>NNaO<sub>5</sub>S についての MS 計算値: 504.2, 実測値: 504.1。

30

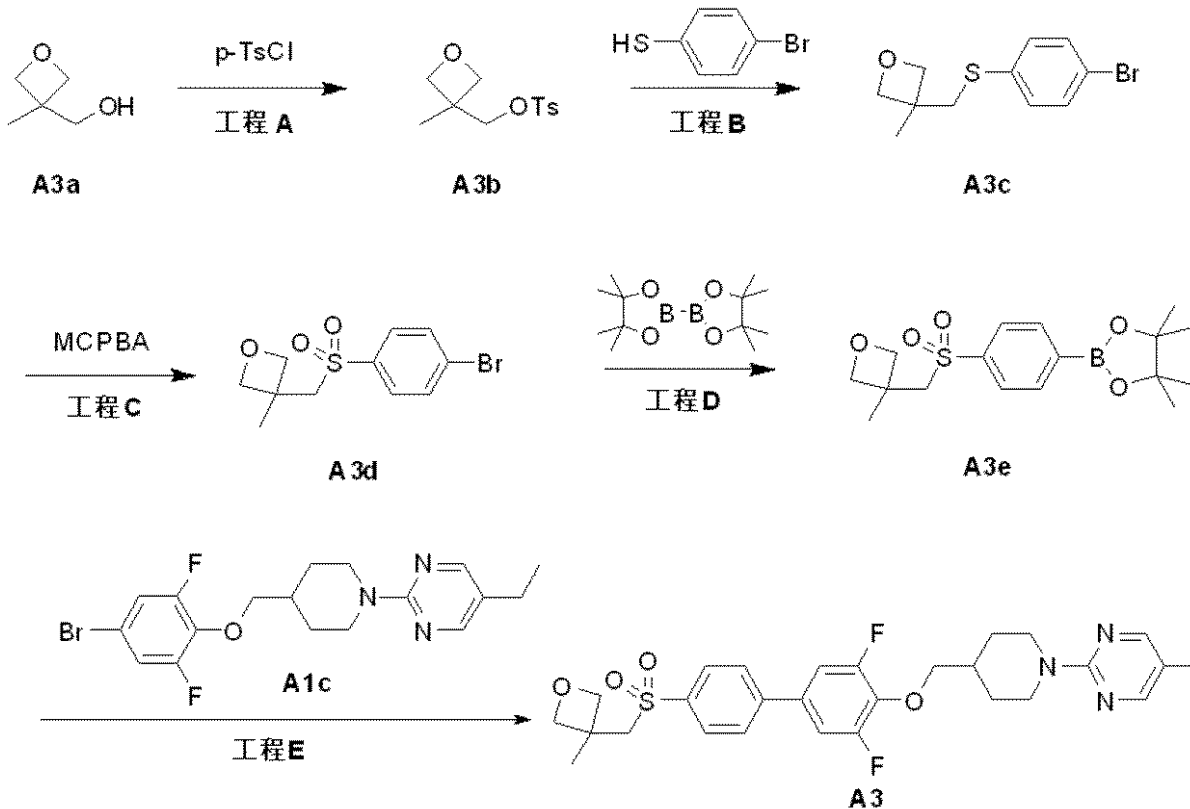
## 【0092】

## 実施例 A 3

2 - (4 - ((3, 5 - ジフルオロ - 4' - ((3 - メチルオキサタン - 3 - イル)メチルスルホニル)ピフェニル - 4 - イルオキシ)メチル)ピペリジン - 1 - イル) - 5 - エチルピリミジン

40

## 【化10】



10

20

工程 A : p - トルエンシルホニルクロライド (14.3 g、75 mmol) のピリジン (60 mL) 溶液に、3 - メチル - 3 - オキセタンメタノール A 3 a (5.1 g、50 mmol) を 10 分間にわたりゆっくり添加する。得られた懸濁液を rt で 1.5 時間攪拌し、激しく攪拌している氷水 (300 mL) に注ぐ。スラリーを 45 分間攪拌する。固体を濾過により回収し、氷冷 H<sub>2</sub>O (100 mL) で洗浄し、高真空下で乾燥させて、(3 - メチルオキセタン - 3 - イル)メチル 4 - メチルベンゼンスルホネート A 3 b を白色粉末として得る。化合物をさらに精製せずに次工程に使用する。<sup>1</sup>H-NMR (400 MHz, CDCl<sub>3</sub>) = 7.83 (d, J = 8.4 Hz, 2H), 7.39 (d, J = 8.4 Hz, 2H), 4.39 (d, J = 6.4 Hz, 2H), 4.36 (d, J = 6.4 Hz, 2H), 4.13 (s, 2H), 2.49 (s, 3H), 1.33 (s, 3H)。

30

## 【0093】

工程 B : 中間体 A 3 b (1.75 g、6.8 mmol)、4 - プロモベンゼンチオール (1.25 g、6.6 mmol)、および Cs<sub>2</sub>CO<sub>3</sub> (3.25 g、10 mmol) を乾燥 DMF (12 mL) に懸濁し、80 で 1.5 時間加熱する。混合物を冷却し、H<sub>2</sub>O (50 mL) で希釈し、Et<sub>2</sub>O (3 × 30 mL) で抽出する。合わせた有機物を 2 M Na<sub>2</sub>CO<sub>3</sub> (15 mL) で洗浄し、MgSO<sub>4</sub> で乾燥させ、真空で濃縮して、粗 3 - ((4 - プロモフェニルチオ)メチル) - 3 - メチルオキセタン A 3 c を黄色油状物として得る。化合物をさらに精製せずに次工程に使用する。<sup>1</sup>H-NMR (400 MHz, CDCl<sub>3</sub>) = 7.34 (d, J = 8.4 Hz, 2H), 7.17 (d, J = 8.4 Hz, 2H), 4.40 (d, J = 6.0 Hz, 2H), 4.31 (d, J = 6.0 Hz, 2H), 3.19 (s, 2H), 1.33 (s, 3H); [M+H]<sup>+</sup> C<sub>11</sub>H<sub>14</sub>BrOS についての MS 計算値: 273.0, 実測値: 273.0。

40

## 【0094】

工程 C : 中間体 A 3 c (1.8 g、6.6 mmol) の CH<sub>2</sub>Cl<sub>2</sub> (30 mL) 溶液に、m - クロロペルオキシ安息香酸 (最大 77%、3.5 g、約 15.6 mmol) を、少しずつスルホンへの変換が完了するまで添加する (LC - MS)。混合物をさらに 4 時間攪拌し、次いで CH<sub>2</sub>Cl<sub>2</sub> (40 mL) で希釈し、連続的に H<sub>2</sub>O (50 mL)、2 M Na<sub>2</sub>CO<sub>3</sub> (30 mL)、10% NaHSO<sub>3</sub> (15 mL)、および H<sub>2</sub>O (30 mL) で洗浄する。有機物を MgSO<sub>4</sub> で乾燥させ、溶媒を真空で除去して、粗 3 - ((4 - プロモフェニルスルホニル)メチル) - 3 - メチルオキセタン A 3 d を白色固体として得る。化合物をさらに精製せずに次工程に使用する

50

。 $^1\text{H-NMR}$  (400 MHz,  $\text{CDCl}_3$ ) = 7.72 (d,  $J = 8.8$  Hz, 2H), 7.67 (d,  $J = 8.8$  Hz, 2H), 4.54 (d,  $J = 6.4$  Hz, 2H), 4.35 (d,  $J = 6.4$  Hz, 2H), 3.41 (s, 2H), 1.61 (s, 3H);  $[\text{M}+\text{H}]^+$   $\text{C}_{11}\text{H}_{14}\text{BrO}_3\text{S}$  についてのMS計算値: 305.0, 実測値: 304.9。

【0095】

工程 D: 中間体 A 3 d (1.94 g, 6.4 mmol) の  $\text{DMSO}$  (45 mL) 溶液に、ビス(ピナコラト)ジボロン(1.7 g, 6.7 mmol)、酢酸カリウム(1.9 g, 19 mmol)、およびジクロロ[1, 1'-ビス(ジフェニルホスフィノ)フェロセン]パラジウム(II)(233 mg, 5 mol%) を添加する。混合物を 80 で 3 時間加熱する。次いで、溶液を *rt* に冷却し、 $\text{H}_2\text{O}$  (100 mL) で希釈し、 $\text{EtOAc}$  (4 x 50 mL) で抽出する。有機層を  $\text{H}_2\text{O}$  (30 mL) および塩水(30 mL) で洗浄し、 $\text{MgSO}_4$  で乾燥させ、真空で濃縮する。フラッシュクロマトグラフィー( $\text{EtOAc}$  / ヘキサン 勾配)での精製により、4, 4, 5, 5 - テトラメチル - 2 - (4 - ((3 - メチルオキセタン - 3 - イル)メチルスルホニル)フェニル) - 1, 3, 2 - ジオキサボロラン A 3 e を結晶性粉末として得る:  $^1\text{H-NMR}$  (400 MHz,  $\text{CDCl}_3$ ) = 8.02 (d,  $J = 8.4$  Hz, 2H), 7.92 (d,  $J = 8.4$  Hz, 2H), 4.60 (d,  $J = 6.4$  Hz, 2H), 4.40 (d,  $J = 6.4$  Hz, 2H), 3.50 (s, 2H), 1.69 (s, 3H), 1.39 (s, 12H);  $[\text{M}+\text{H}]^+$   $\text{C}_{17}\text{H}_{26}\text{BO}_5\text{S}$  についてのMS計算値: 353.2, 実測値: 353.2。

10

【0096】

工程 E: Smith Process パイアルに中間体 A 1 c (50 mg, 0.12 mmol)、中間体 A 3 e (46 mg, 0.14 mmol)、ジクロロ[1, 1'-ビス(ジフェニルホスフィノ)フェロセン]パラジウム(II)(9 mg, 10 mol%)、および乾燥ジオキサン(1.5 mL) を入れる。この溶液に 2 M 水性  $\text{Cs}_2\text{CO}_3$  (0.15 mL, 0.3 mmol) を添加し、二相混合物をマイクロ波照射する(120、10 分間)。混合物を  $\text{H}_2\text{O}$  (10 mL) および  $\text{EtOAc}$  (15 mL) に分配し、有機相を塩水(10 mL) で洗浄し、 $\text{MgSO}_4$  で乾燥させ、真空で濃縮する。フラッシュクロマトグラフィー( $\text{EtOAc}$  / ヘキサン 勾配)での精製により、表題化合物(実施例 A 3) を薄黄色粉末として得る:  $^1\text{H-NMR}$  (400 MHz,  $\text{CDCl}_3$ ) = 8.18 (s, 2H), 7.98 (d,  $J = 8.4$  Hz, 2H), 7.70 (d,  $J = 8.4$  Hz, 2H), 7.17 (d,  $J = 9.0$  Hz, 2H), 4.78 (d,  $J = 13.2$  Hz, 2H), 4.63 (d,  $J = 6.4$  Hz, 2H), 4.43 (d,  $J = 6.4$  Hz, 2H), 4.07 (d,  $J = 6.8$  Hz, 2H), 3.52 (s, 2H), 2.93 (td,  $J = 12.8, 2.8$  Hz, 2H), 2.46 (q,  $J = 7.6$  Hz, 2H), 2.12 (m, 1H), 1.95 (d,  $J = 12.8$  Hz, 2H), 1.71 (s, 3H), 1.36 (qd,  $J = 12.2, 4.0$  Hz, 2H), 1.19 (t,  $J = 7.6$  Hz, 3H);  $^{19}\text{F-NMR}$  (376.5 MHz,  $\text{CDCl}_3$ ) = -126.60;  $[\text{M}+\text{H}]^+$   $\text{C}_{29}\text{H}_{33}\text{F}_2\text{N}_3\text{O}_4\text{S}$  についてのMS計算値: 558.2, 実測値: 558.2。

20

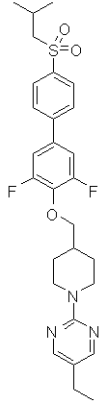
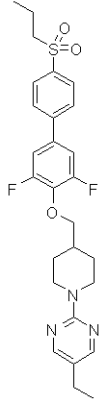
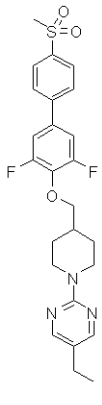
30

【0097】

上記実施例 A 1 - A 3 に記載する方法を、適当な出発物質を使用して繰り返して、以下の表 1 に同定する式 I の化合物が得られる:

【表 1】

表 1

実施例番号	構造	NMR および/または ESMS
<b>A4</b>		$^1\text{H-NMR}$ (400 MHz, $\text{CDCl}_3$ ) $\delta$ = 8.20 (s, 2H), 7.99 (d, $J$ = 8.4 Hz, 2H), 7.70 (d, $J$ = 8.4 Hz, 2H), 7.19 (d, $J$ = 8.8 Hz, 2H), 4.79 (d, $J$ = 13.2 Hz, 2H), 4.08 (d, $J$ = 6.4 Hz, 2H), 3.04 (d, $J$ = 6.4 Hz, 2H), 2.94 (td, $J$ = 12.8, 2.4 Hz, 2H), 2.48 (q, $J$ = 7.6 Hz, 2H), 2.28 (septet, $J$ = 6.8 Hz, 1H), 2.14 (m, 1H), 1.99 (d, $J$ = 12.8 Hz, 2H), 1.38 (qd, $J$ = 12.2, 4.0 Hz, 2H), 1.21 (t, $J$ = 7.6 Hz, 3H), 1.10 (d, $J$ = 6.8 Hz, 6H); $^{19}\text{F-NMR}$ (376.5 MHz, $\text{CDCl}_3$ ) $\delta$ = -126.73; $[\text{M}+\text{H}]^+$ $\text{C}_{28}\text{H}_{34}\text{F}_2\text{N}_3\text{O}_3\text{S}$ についての MS 計算値: 530.2, 実測値: 530.3.
<b>A5</b>		$^1\text{H-NMR}$ (400 MHz, $\text{CDCl}_3$ ) $\delta$ = 8.19 (s, 2H), 7.98 (d, $J$ = 8.4 Hz, 2H), 7.70 (d, $J$ = 8.4 Hz, 2H), 7.18 (d, $J$ = 9.2 Hz, 2H), 4.79 (d, $J$ = 13.2 Hz, 2H), 4.08 (d, $J$ = 6.4 Hz, 2H), 3.12 (m, 2H), 2.94 (td, $J$ = 12.8, 2.8 Hz, 2H), 2.48 (q, $J$ = 7.6 Hz, 2H), 2.13 (m, 1H), 1.98 (dd, $J$ = 13.2, 2.4 Hz, 2H), 1.80 (m, 2H), 1.38 (qd, $J$ = 12.2, 4.0 Hz, 2H), 1.21 (t, $J$ = 7.6 Hz, 3H), 1.03 (t, $J$ = 7.6 Hz, 3H); $^{19}\text{F-NMR}$ (376.5 MHz, $\text{CDCl}_3$ ) $\delta$ = -126.72; $[\text{M}+\text{H}]^+$ $\text{C}_{27}\text{H}_{32}\text{F}_2\text{N}_3\text{O}_3\text{S}$ についての MS 計算値: 516.2, 実測値: 516.2.
<b>A6</b>		$^1\text{H-NMR}$ (400 MHz, $\text{CDCl}_3$ ) $\delta$ = 8.11 (s, 2H), 7.94 (d, $J$ = 8.4 Hz, 2H), 7.62 (d, $J$ = 8.4 Hz, 2H), 7.09 (d, $J$ = 9.2 Hz, 2H), 4.71 (d, $J$ = 14.4 Hz, 2H), 4.00 (d, $J$ = 6.4 Hz, 2H), 3.03 (s, 3H), 2.86 (td, $J$ = 12.8, 2.4 Hz, 2H), 2.39 (q, $J$ = 7.6 Hz, 2H), 2.05 (m, 1H), 1.90 (dd, $J$ = 13.2, 2.4 Hz, 2H), 1.29 (qd, $J$ = 12.0, 4.0 Hz, 2H), 1.12 (t, $J$ = 7.6 Hz, 3H); $^{19}\text{F-NMR}$ (376.5 MHz, $\text{CDCl}_3$ ) $\delta$ = -126.68; $[\text{M}+\text{H}]^+$ $\text{C}_{25}\text{H}_{28}\text{F}_2\text{N}_3\text{O}_3\text{S}$ についての MS 計算値: 488.2, 実測値: 488.2.

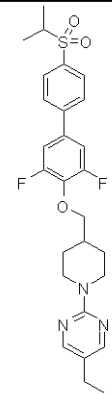
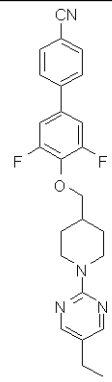
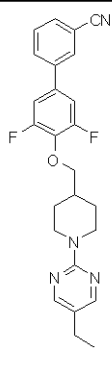
10

20

30

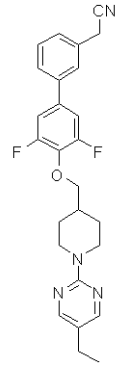
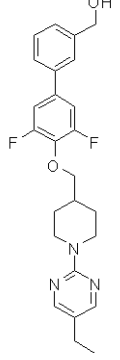
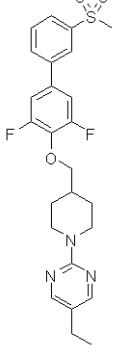
40

【表 2】

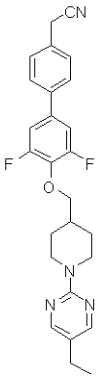
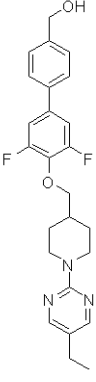
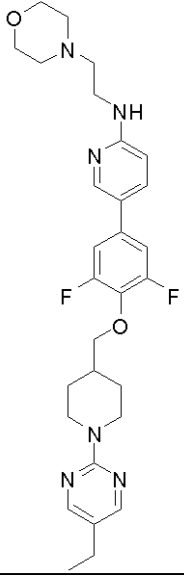
<b>A7</b>		$^1\text{H-NMR}$ (400 MHz, $\text{CDCl}_3$ ) $\delta$ = 8.11 (s, 2H), 7.87 (d, $J$ = 8.4 Hz, 2H), 7.61 (d, $J$ = 8.4 Hz, 2H), 7.10 (d, $J$ = 9.2 Hz, 2H), 4.71 (d, $J$ = 13.6 Hz, 2H), 4.00 (d, $J$ = 6.4 Hz, 2H), 3.16 (septet, $J$ = 6.8 Hz, 1H), 2.86 (td, $J$ = 12.8, 2.8 Hz, 2H), 2.39 (q, $J$ = 7.6 Hz, 2H), 2.05 (m, 1H), 1.90 (dd, $J$ = 13.6, 2.8 Hz, 2H), 1.29 (qd, $J$ = 12.4, 4.4 Hz, 2H), 1.26 (d, $J$ = 6.8 Hz), 1.12 (t, $J$ = 7.6 Hz, 3H); $^{19}\text{F-NMR}$ (376.5 MHz, $\text{CDCl}_3$ ) $\delta$ = -126.74; $[\text{M}+\text{H}]^+$ $\text{C}_{27}\text{H}_{32}\text{F}_2\text{N}_3\text{O}_3\text{S}$ についての MS 計算値: 516.2, 実測値: 516.2.	10
<b>A8</b>		$^1\text{H-NMR}$ (400 MHz, $\text{CDCl}_3$ ) $\delta$ = 8.11 (s, 2H), 7.66 (d, $J$ = 8.4 Hz, 2H), 7.54 (d, $J$ = 8.4 Hz, 2H), 7.07 (d, $J$ = 9.2 Hz, 2H), 4.70 (d, $J$ = 13.2 Hz, 2H), 3.99 (d, $J$ = 6.4 Hz, 2H), 2.85 (td, $J$ = 12.8, 2.4 Hz, 2H), 2.39 (q, $J$ = 7.6 Hz, 2H), 2.04 (m, 1H), 1.89 (dd, $J$ = 13.2, 2.4 Hz, 2H), 1.29 (qd, $J$ = 12.4, 4.0 Hz, 2H), 1.12 (t, $J$ = 7.6 Hz, 3H); $^{19}\text{F-NMR}$ (376.5 MHz, $\text{CDCl}_3$ ) $\delta$ = -126.68; $[\text{M}+\text{H}]^+$ $\text{C}_{25}\text{H}_{25}\text{F}_2\text{N}_4\text{O}$ についての MS 計算値: 435.2, 実測値: 435.2.	20
<b>A9</b>		$^1\text{H-NMR}$ (400 MHz, $\text{CDCl}_3$ ) $\delta$ = 8.18 (s, 2H), 7.78 (t, $J$ = 1.6 Hz, 1H), 7.73 (dt, $J$ = 8.0, 1.6 Hz, 1H), 7.65 (dt, $J$ = 8.0, 1.6 Hz, 1H), 7.55 (t, $J$ = 8.0 Hz, 1H), 7.11 (d, $J$ = 9.2 Hz, 2H), 4.77 (d, $J$ = 13.2 Hz, 2H), 4.05 (d, $J$ = 6.4 Hz, 2H), 2.92 (td, $J$ = 12.8, 2.8 Hz, 2H), 2.46 (q, $J$ = 7.6 Hz, 2H), 2.12 (m, 1H), 1.97 (d, $J$ = 13.2 Hz, 2H), 1.36 (qd, $J$ = 12.4, 4.0 Hz, 2H), 1.19 (t, $J$ = 7.6 Hz, 3H); $^{19}\text{F-NMR}$ (376.5 MHz, $\text{CDCl}_3$ ) $\delta$ = -126.66; $[\text{M}+\text{H}]^+$ $\text{C}_{25}\text{H}_{25}\text{F}_2\text{N}_4\text{O}$ についての MS 計算値: 435.2, 実測値: 435.2.	30

【 0 0 9 8 】

【表 3】

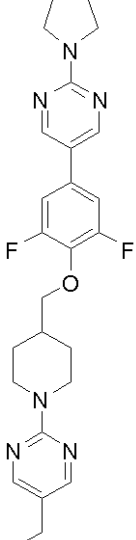
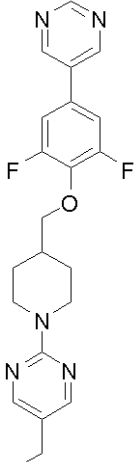
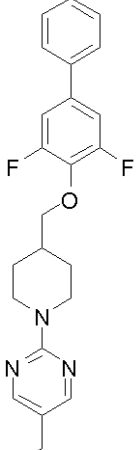
<p><b>A10</b></p>		<p><sup>1</sup>H-NMR (400 MHz, CDCl<sub>3</sub>) δ = 8.17 (s, 2H), 7.46 (m, 3H), 7.33 (m, 1H), 7.12 (d, <i>J</i> = 9.6 Hz, 2H), 4.77 (d, <i>J</i> = 13.2 Hz, 2H), 4.04 (d, <i>J</i> = 6.4 Hz, 2H), 3.82 (s, 2H), 2.92 (td, <i>J</i> = 12.8, 2.8 Hz, 2H), 2.46 (q, <i>J</i> = 7.6 Hz, 2H), 2.11 (m, 1H), 1.97 (d, <i>J</i> = 13.2 Hz, 2H), 1.36 (qd, <i>J</i> = 12.4, 2.4 Hz, 2H), 1.19 (t, <i>J</i> = 7.6 Hz, 3H); <sup>19</sup>F-NMR (376.5 MHz, CDCl<sub>3</sub>) δ = -127.37; [M+H]<sup>+</sup> C<sub>26</sub>H<sub>27</sub>F<sub>2</sub>N<sub>4</sub>O についての MS 計算値: 449.2, 実測値: 449.2.</p>	10
<p><b>A11</b></p>		<p><sup>1</sup>H-NMR (400 MHz, CDCl<sub>3</sub>) δ = 8.17 (s, 2H), 7.52 (s, 1H), 7.43 (m, 2H), 7.37 (m, 1H), 7.14 (d, <i>J</i> = 9.6 Hz, 2H), 4.77 (m, 4H), 4.03 (d, <i>J</i> = 6.4 Hz, 2H), 2.92 (td, <i>J</i> = 12.8, 2.8 Hz, 2H), 2.46 (q, <i>J</i> = 7.6 Hz, 2H), 2.11 (m, 1H), 1.98 (d, <i>J</i> = 13.2 Hz, 2H), 1.73 (t, <i>J</i> = 6.0 Hz, 1H), 1.36 (qd, <i>J</i> = 12.4, 4.4 Hz, 2H), 1.19 (t, <i>J</i> = 7.6 Hz, 3H); <sup>19</sup>F-NMR (376.5 MHz, CDCl<sub>3</sub>) δ = -127.78; [M+H]<sup>+</sup> C<sub>25</sub>H<sub>28</sub>F<sub>2</sub>N<sub>3</sub>O<sub>2</sub> についての MS 計算値: 440.2, 実測値: 440.2.</p>	20
<p><b>A12</b></p>		<p><sup>1</sup>H-NMR (400 MHz, CDCl<sub>3</sub>) δ = 8.17 (s, 2H), 8.07 (t, <i>J</i> = 1.6 Hz, 1H), 7.94 (ddd, <i>J</i> = 7.6, 1.6, 1.2 Hz, 1H), 7.79 (ddd, <i>J</i> = 7.6, 1.6, 1.2 Hz, 1H), 7.65 (t, <i>J</i> = 7.6 Hz, 1H), 7.17 (d, <i>J</i> = 9.2 Hz, 2H), 4.78 (d, <i>J</i> = 13.2 Hz, 2H), 4.06 (d, <i>J</i> = 6.8 Hz, 2H), 3.10 (s, 3H), 2.93 (td, <i>J</i> = 12.8, 2.8 Hz, 2H), 2.46 (q, <i>J</i> = 7.6 Hz, 2H), 2.12 (m, 1H), 1.97 (d, <i>J</i> = 13.2 Hz, 2H), 1.36 (qd, <i>J</i> = 12.4, 4.0 Hz, 2H), 1.19 (t, <i>J</i> = 7.6 Hz, 3H); <sup>19</sup>F-NMR (376.5 MHz, CDCl<sub>3</sub>) δ = -126.72; [M+H]<sup>+</sup> C<sub>25</sub>H<sub>28</sub>F<sub>2</sub>N<sub>3</sub>O<sub>3</sub>S についての MS 計算値: 488.2, 実測値: 488.2.</p>	30

【表 4】

<p><b>A13</b></p>		<p><sup>1</sup>H-NMR (400 MHz, CDCl<sub>3</sub>) δ = 8.17 (s, 2H), 7.52 (d, <i>J</i> = 8.4 Hz, 2H), 7.40 (d, <i>J</i> = 8.4 Hz, 2H), 7.12 (d, <i>J</i> = 9.2 Hz, 2H), 4.77 (d, <i>J</i> = 13.2 Hz, 2H), 4.03 (d, <i>J</i> = 6.4 Hz, 2H), 3.80 (s, 2H), 2.92 (td, <i>J</i> = 12.8, 2.8 Hz, 2H), 2.46 (q, <i>J</i> = 7.6 Hz, 2H), 2.11 (m, 1H), 1.97 (d, <i>J</i> = 13.2 Hz, 2H), 1.36 (qd, <i>J</i> = 12.4, 4.0 Hz, 2H), 1.18 (t, <i>J</i> = 7.6 Hz, 3H); <sup>19</sup>F-NMR (376.5 MHz, CDCl<sub>3</sub>) δ = -127.47; [M+H]<sup>+</sup> C<sub>26</sub>H<sub>27</sub>F<sub>2</sub>N<sub>4</sub>O についての MS 計算値: 449.2, 実測値: 449.3.</p>	10
<p><b>A14</b></p>		<p><sup>1</sup>H-NMR (400 MHz, CDCl<sub>3</sub>) δ = 8.17 (s, 2H), 7.51 (d, <i>J</i> = 8.4 Hz, 2H), 7.44 (d, <i>J</i> = 8.4 Hz, 2H), 7.13 (d, <i>J</i> = 9.2 Hz, 2H), 4.77 (d, <i>J</i> = 13.2 Hz, 2H), 4.74 (d, <i>J</i> = 6.0 Hz, 2H), 4.03 (d, <i>J</i> = 6.4 Hz, 2H), 2.92 (td, <i>J</i> = 12.8, 2.8 Hz, 2H), 2.46 (q, <i>J</i> = 7.6 Hz, 2H), 2.11 (m, 1H), 1.97 (d, <i>J</i> = 12.8 Hz, 2H), 1.69 (t, <i>J</i> = 6.0 Hz, 1H), 1.36 (qd, <i>J</i> = 12.4, 4.0 Hz, 2H), 1.18 (t, <i>J</i> = 7.6 Hz, 3H); <sup>19</sup>F-NMR (376.5 MHz, CDCl<sub>3</sub>) δ = -127.78; [M+H]<sup>+</sup> C<sub>25</sub>H<sub>28</sub>F<sub>2</sub>N<sub>3</sub>O<sub>2</sub> についての MS 計算値: 440.2, 実測値: 440.3.</p>	20
<p><b>A15</b></p>		<p><sup>1</sup>H-NMR (400 MHz, DMSO-d<sub>6</sub>) δ = 8.34 (d, <i>J</i> = 2.8 Hz, 1H), 8.23 (s, 2H), 7.72 (dd, <i>J</i> = 8.8, 2.8 Hz, 1H), 7.39 (m, 2H), 6.67 (t, <i>J</i> = 5.6 Hz, 1H), 6.55 (d, <i>J</i> = 8.8 Hz, 1H), 4.65 (m, 2H), 3.97 (d, <i>J</i> = 6.4 Hz, 2H), 3.58 (t, <i>J</i> = 4.8 Hz, 4H), 3.40 (m, 2H), 2.87 (m, 2H), 2.43 (m, 8H), 2.01 (m, 1H), 1.83 (m, 2H), 1.22 (m, 2H), 1.12 (t, <i>J</i> = 7.6 Hz, 3H); [M+H]<sup>+</sup> C<sub>29</sub>H<sub>37</sub>F<sub>2</sub>N<sub>6</sub>O<sub>2</sub> についての MS 計算値: 539.3, 実測値: 538.8.</p>	30

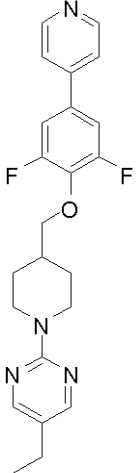
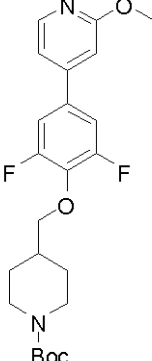
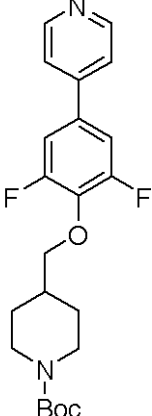
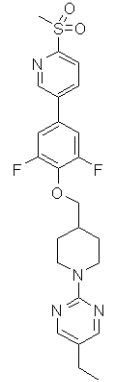
40

【表 5】

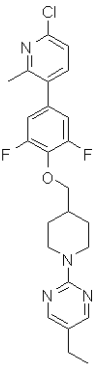
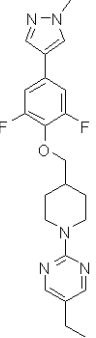
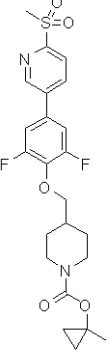
<p><b>A16</b></p>		<p><math>^1\text{H-NMR}</math> (400 MHz, DMSO-<math>d_6</math>) <math>\delta</math> = 8.71 (s, 2H), 8.23 (s, 2H), 7.50 (m, 2H), 4.65 (m, 2H), 3.98 (d, <math>J</math> = 6.4 Hz, 2H), 3.52 (m, 4H), 2.87 (m, 2H), 2.42 (q, <math>J</math> = 7.6 Hz, 2H), 2.01 (m, 1H), 1.94 (m, 4H), 1.83 (m, 2H), 1.22 (m, 2H), 1.12 (t, <math>J</math> = 7.6 Hz, 3H); <math>[\text{M}+\text{H}]^+</math> <math>\text{C}_{26}\text{H}_{31}\text{F}_2\text{N}_6\text{O}</math> についての MS 計算値: 481.2, 実測値: 480.9.</p>	10
<p><b>A17</b></p>		<p><math>^1\text{H-NMR}</math> (400 MHz, DMSO-<math>d_6</math>) <math>\delta</math> = 9.19 (s, 1H), 9.18 (s, 2H), 8.23 (s, 2H), 7.75 (m, 2H), 4.66 (m, 2H), 4.05 (d, <math>J</math> = 6.3 Hz, 2H), 2.87 (m, 2H), 2.42 (q, <math>J</math> = 7.6 Hz, 2H), 2.03 (m, 1H), 1.83 (m, 2H), 1.23 (m, 2H), 1.12 (t, <math>J</math> = 7.6 Hz, 3H); <math>[\text{M}+\text{H}]^+</math> <math>\text{C}_{22}\text{H}_{24}\text{F}_2\text{N}_5\text{O}</math> についての MS 計算値: 412.2, 実測値: 412.2.</p>	20
<p><b>A18</b></p>		<p><math>^1\text{H-NMR}</math> (400 MHz, DMSO-<math>d_6</math>) <math>\delta</math> = 8.23 (s, 2H), 7.70 (m, 2H), 7.48 (m, 4H), 7.38 (tt, <math>J</math> = 7.2, 1.2 Hz, 1H), 4.66 (m, 2H), 4.02 (d, <math>J</math> = 6.4 Hz, 2H), 2.88 (m, 2H), 2.42 (q, <math>J</math> = 7.6 Hz, 2H), 2.03 (m, 1H), 1.84 (m, 2H), 1.23 (m, 2H), 1.12 (t, <math>J</math> = 7.6 Hz, 3H); <math>[\text{M}+\text{H}]^+</math> <math>\text{C}_{24}\text{H}_{26}\text{F}_2\text{N}_3\text{O}</math> についての MS 計算値: 410.2, 実測値: 409.9.</p>	30

40

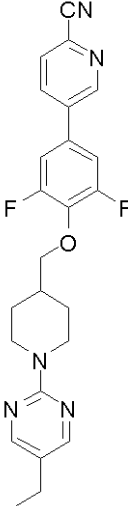
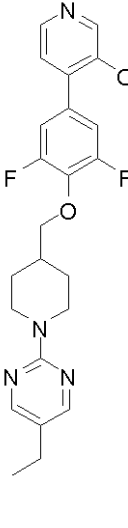
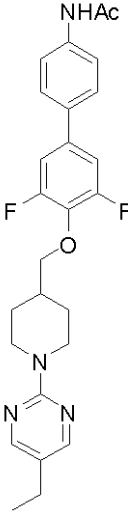
【表 6】

<p><b>A19</b></p>		<p><math>^1\text{H-NMR}</math> (400 MHz, DMSO-<math>d_6</math>) <math>\delta</math> = 8.64 (m, 2H), 8.23 (s, 2H), 7.75 (m, 4H), 4.66 (m, 2H), 4.05 (d, <math>J</math> = 6.4 Hz, 2H), 2.87 (m, 2H), 2.41 (q, <math>J</math> = 7.6 Hz, 2H), 2.03 (m, 1H), 1.83 (m, 2H), 1.22 (m, 2H), 1.12 (t, <math>J</math> = 7.6 Hz, 3H); <math>[\text{M}+\text{H}]^+</math> <math>\text{C}_{23}\text{H}_{25}\text{F}_2\text{N}_4\text{O}</math> についての MS 計算値: 411.2, 実測値: 411.2.</p>	10
<p><b>A20</b></p>		<p><math>^1\text{H-NMR}</math> (400 MHz, DMSO-<math>d_6</math>) <math>\delta</math> = 8.22 (dd, <math>J</math> = 5.6, 0.8 Hz, 1H), 7.69 (m, 2H), 7.36 (dd, <math>J</math> = 5.6, 1.6 Hz, 1H), 7.18 (dd, <math>J</math> = 1.6, 0.8 Hz, 1H), 4.03 (d, <math>J</math> = 6.4 Hz, 2H), 3.97 (m, 2H), 3.89 (s, 3H), 2.73 (m, 2H), 1.90 (m, 1H), 1.75 (m, 2H), 1.39 (s, 9H), 1.16 (m, 2H); <math>[\text{M}+\text{H}]^+</math> <math>\text{C}_{23}\text{H}_{29}\text{F}_2\text{N}_2\text{O}_4</math> についての MS 計算値: 435.2, 実測値: 435.2.</p>	20
<p><b>A21</b></p>		<p><math>[\text{M}+\text{H}]^+</math> <math>\text{C}_{22}\text{H}_{27}\text{F}_2\text{N}_2\text{O}_3</math> についての MS 計算値: 405.2, 実測値: 405.2.</p>	30
<p><b>A22</b></p>		<p><math>^1\text{H-NMR}</math> (400 MHz, <math>\text{CDCl}_3</math>) <math>\delta</math> = 8.86 (dd, <math>J</math> = 2.4, 0.8 Hz, 1H), 8.18 (s, 2H), 8.16 (dd, <math>J</math> = 8.0, 0.8 Hz, 1H), 8.05 (dd, <math>J</math> = 8.0, 2.4 Hz, 1H), 7.17 (d, <math>J</math> = 8.8 Hz, 2H), 4.78 (d, <math>J</math> = 13.2 Hz, 2H), 4.09 (d, <math>J</math> = 6.4 Hz, 2H), 3.27 (s, 3H), 2.93 (td, <math>J</math> = 12.8, 2.8 Hz, 2H), 2.46 (q, <math>J</math> = 7.6 Hz, 2H), 2.12 (m, 1H), 1.96 (d, <math>J</math> = 13.2 Hz, 2H), 1.37 (qd, <math>J</math> = 12.6, 4.0 Hz, 2H), 1.19 (t, <math>J</math> = 7.6 Hz, 3H); <math>^{19}\text{F-NMR}</math> (376.5 MHz, <math>\text{CDCl}_3</math>) <math>\delta</math> = -125.76; <math>[\text{M}+\text{H}]^+</math> <math>\text{C}_{24}\text{H}_{27}\text{F}_2\text{N}_4\text{O}_3\text{S}</math> についての MS 計算値: 489.2, 実測値: 489.2.</p>	40

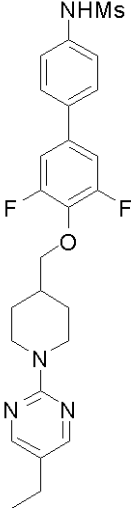
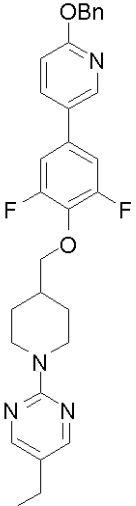
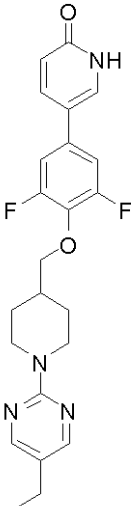
【表 7】

<p><b>A23</b></p>		<p><math>^1\text{H-NMR}</math> (400 MHz, <math>\text{CDCl}_3</math>) <math>\delta</math> = 8.20 (s, 2H), 7.46 (d, <math>J</math> = 8.0 Hz, 1H), 7.24 (d, <math>J</math> = 8.0 Hz, 1H), 6.87 (d, <math>J</math> = 8.8 Hz, 2H), 4.80 (d, <math>J</math> = 13.2 Hz, 2H), 4.08 (d, <math>J</math> = 6.8 Hz, 2H), 2.95 (td, <math>J</math> = 12.8, 2.8 Hz, 2H), 2.51 (s, 3H), 2.49 (q, <math>J</math> = 7.6 Hz, 2H), 2.15 (m, 1H), 1.99 (d, <math>J</math> = 13.2 Hz, 2H), 1.58 (s, 3H), 1.39 (qd, <math>J</math> = 12.8, 3.6 Hz, 2H), 1.21 (t, <math>J</math> = 7.6 Hz, 3H); <math>^{19}\text{F-NMR}</math> (376.5 MHz, <math>\text{CDCl}_3</math>) <math>\delta</math> = -127.15; <math>[\text{M}+\text{H}]^+</math> <math>\text{C}_{24}\text{H}_{26}\text{ClF}_2\text{N}_4\text{O}</math> についての MS 計算値: 459.2, 実測値: 459.2.</p>	10
<p><b>A24</b></p>		<p><math>^1\text{H-NMR}</math> (400 MHz, <math>\text{CDCl}_3</math>) <math>\delta</math> = 8.10 (s, 2H), 7.60 (s, 1H), 7.47 (s, 1H), 6.90 (d, <math>J</math> = 9.2 Hz, 2H), 4.69 (d, <math>J</math> = 13.2 Hz, 2H), 3.91 (d, <math>J</math> = 6.4 Hz, 2H), 3.87 (s, 3H), 2.85 (td, <math>J</math> = 12.8, 2.8 Hz, 2H), 2.39 (q, <math>J</math> = 7.6 Hz, 2H), 2.02 (m, 1H), 1.89 (d, <math>J</math> = 13.2 Hz, 2H), 1.27 (qd, <math>J</math> = 12.8, 4.0 Hz, 2H), 1.12 (t, <math>J</math> = 7.6 Hz, 3H); <math>^{19}\text{F-NMR}</math> (376.5 MHz, <math>\text{CDCl}_3</math>) <math>\delta</math> = -128.06; <math>[\text{M}+\text{H}]^+</math> <math>\text{C}_{22}\text{H}_{26}\text{F}_2\text{N}_5\text{O}</math> についての MS 計算値: 414.2, 実測値: 414.2.</p>	20
<p><b>A25</b></p>		<p><math>^1\text{H-NMR}</math> (400 MHz, <math>\text{CDCl}_3</math>) <math>\delta</math> = 8.79 (dd, <math>J</math> = 2.4, 0.8 Hz, 1H), 8.09 (dd, <math>J</math> = 8.0, 0.8 Hz, 1H), 7.98 (dd, <math>J</math> = 8.0, 2.4 Hz, 1H), 7.10 (d, <math>J</math> = 9.2 Hz, 2H), 4.24-3.97 (br. d, 2H), 3.99 (d, <math>J</math> = 6.4 Hz, 2H), 3.20 (s, 3H), 2.70 (t, <math>J</math> = 12.4 Hz, 2H), 1.95-1.85 (m, 1H), 1.83-1.75 (m, 2H), 1.49 (s, 2H), 1.48 (s, 3H), 1.30-1.16 (m, 2H), 0.82-0.78 (m, 2H), 0.58-0.54 (m, 2H); <math>^{19}\text{F-NMR}</math> (376.5 MHz, <math>\text{CDCl}_3</math>) <math>\delta</math> = -125.84; <math>[\text{M}+\text{H}]^+</math> <math>\text{C}_{23}\text{H}_{27}\text{F}_2\text{N}_2\text{O}_5\text{S}</math> についての MS 計算値: 481.2, 実測値: 481.1.</p>	30

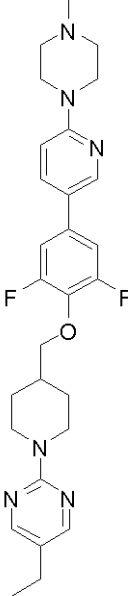
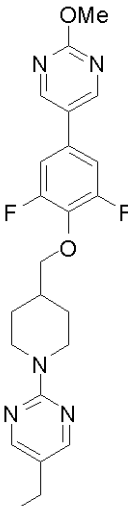
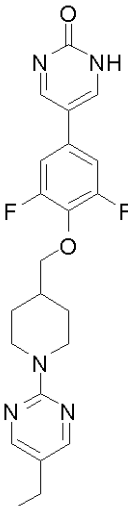
【表 8】

<p><b>A26</b></p>		<p><math>^1\text{H-NMR}</math> (400 MHz, DMSO-<math>d_6</math>) <math>\delta</math> = 9.15 (dd, <math>J</math> = 2.4, 0.8 Hz, 1H), 8.41 (dd, <math>J</math> = 8.4, 2.4 Hz, 1H), 8.23 (s, 2H), 8.15 (dd, <math>J</math> = 8.4, 0.8 Hz, 1H), 7.78 (m, 2H), 4.66 (m, 2H), 4.07 (d, <math>J</math> = 6.4 Hz, 2H), 2.87 (m, 2H), 2.42 (q, <math>J</math> = 7.6 Hz, 2H), 2.04 (m, 1H), 1.83 (m, 2H), 1.23 (m, 2H), 1.12 (t, <math>J</math> = 7.6 Hz, 3H); <math>[\text{M}+\text{H}]^+</math> <math>\text{C}_{24}\text{H}_{24}\text{F}_2\text{N}_5\text{O}</math> についての MS 計算値: 436.2, 実測値: 436.2.</p>	<p>10</p>
<p><b>A27</b></p>		<p><math>^1\text{H-NMR}</math> (400 MHz, DMSO-<math>d_6</math>) <math>\delta</math> = 8.22 (m, 3H), 7.69 (m, 2H), 7.36 (dd, <math>J</math> = 5.6, 1.6 Hz, 1H), 7.18 (dd, <math>J</math> = 1.6, 0.8 Hz, 1H), 4.66 (m, 2H), 4.05 (d, <math>J</math> = 6.4 Hz, 2H), 3.89 (s, 3H), 2.87 (m, 2H), 2.42 (q, <math>J</math> = 7.6 Hz, 2H), 2.03 (m, 1H), 1.83 (m, 2H), 1.23 (m, 2H), 1.12 (t, <math>J</math> = 7.6 Hz, 3H); <math>[\text{M}+\text{H}]^+</math> <math>\text{C}_{24}\text{H}_{27}\text{F}_2\text{N}_4\text{O}_2</math> についての MS 計算値: 441.2, 実測値: 441.3.</p>	<p>20</p>
<p><b>A28</b></p>		<p><math>^1\text{H-NMR}</math> (400 MHz, DMSO-<math>d_6</math>) <math>\delta</math> = 10.07 (s, 1H), 8.23 (s, 2H), 7.65 (s, 4H), 7.46 (m, 2H), 4.65 (m, 2H), 4.00 (d, <math>J</math> = 6.4 Hz, 2H), 2.87 (m, 2H), 2.42 (q, <math>J</math> = 7.6 Hz, 2H), 2.06 (s, 3H), 2.02 (m, 1H), 1.83 (m, 2H), 1.23 (m, 2H), 1.12 (t, <math>J</math> = 7.6 Hz, 3H); <math>[\text{M}+\text{H}]^+</math> <math>\text{C}_{26}\text{H}_{29}\text{F}_2\text{N}_4\text{O}_2</math> についての MS 計算値: 467.2, 実測値: 467.3.</p>	<p>30</p> <p>40</p>

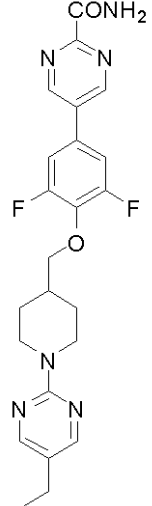
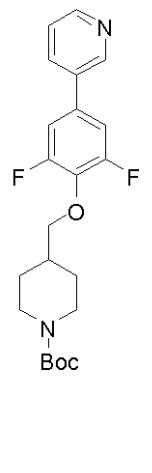
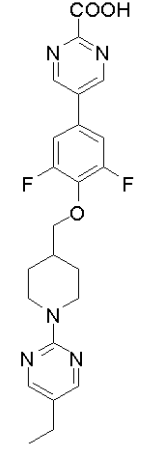
【表 9】

<p><b>A29</b></p>		<p><math>^1\text{H-NMR}</math> (400 MHz, DMSO-<math>d_6</math>) <math>\delta</math> = 9.92 (s, 1H), 8.23 (s, 2H), 7.69 (m, 2H), 7.47 (m, 2H), 7.26 (m, 2H), 4.65 (m, 2H), 4.00 (d, <math>J</math> = 6.3 Hz, 2H), 3.03 (s, 3H), 2.87 (m, 2H), 2.42 (q, <math>J</math> = 7.6 Hz, 2H), 2.03 (m, 1H), 1.83 (m, 2H), 1.22 (m, 2H), 1.12 (t, <math>J</math> = 7.6 Hz, 3H); <math>[\text{M}+\text{H}]^+</math> <math>\text{C}_{25}\text{H}_{29}\text{F}_2\text{N}_4\text{O}_3\text{S}</math> についての MS 計算値: 503.2, 実測値: 503.3.</p>	10
<p><b>A30</b></p>		<p><math>^1\text{H-NMR}</math> (400 MHz, DMSO-<math>d_6</math>) <math>\delta</math> = 8.54 (dd, <math>J</math> = 2.8, 0.8 Hz, 1H), 8.23 (s, 2H), 8.08 (dd, <math>J</math> = 8.8, 2.8 Hz, 1H), 7.54 (m, 2H), 7.46 (m, 2H), 7.39 (m, 2H), 7.32 (m, 1H), 6.97 (dd, <math>J</math> = 8.8, 0.8 Hz, 1H), 5.40 (s, 2H), 4.65 (m, 2H), 4.01 (d, <math>J</math> = 6.4 Hz, 2H), 2.87 (m, 2H), 2.42 (q, <math>J</math> = 7.6 Hz, 2H), 2.03 (m, 1H), 1.83 (m, 2H), 1.22 (m, 2H), 1.12 (t, <math>J</math> = 7.6 Hz, 3H); <math>[\text{M}+\text{H}]^+</math> <math>\text{C}_{30}\text{H}_{31}\text{F}_2\text{N}_4\text{O}_2</math> についての MS 計算値: 517.2, 実測値: 517.3.</p>	20
<p><b>A31</b></p>		<p><math>^1\text{H-NMR}</math> (400 MHz, DMSO-<math>d_6</math>) <math>\delta</math> = 11.95 (s, 1H), 8.23 (s, 2H), 7.85 (dd, <math>J</math> = 9.6, 2.8 Hz, 1H), 7.81 (d, <math>J</math> = 2.4 Hz, 1H), 7.43 (m, 2H), 6.40 (d, <math>J</math> = 9.6 Hz, 1H), 4.65 (m, 2H), 3.97 (d, <math>J</math> = 6.4 Hz, 2H), 2.87 (m, 2H), 2.41 (q, <math>J</math> = 7.6 Hz, 2H), 2.01 (m, 1H), 1.82 (m, 2H), 1.21 (m, 2H), 1.12 (t, <math>J</math> = 7.6 Hz, 3H); <math>[\text{M}+\text{H}]^+</math> <math>\text{C}_{23}\text{H}_{25}\text{F}_2\text{N}_4\text{O}_2</math> についての MS 計算値: 427.2, 実測値: 427.1.</p>	30
			40

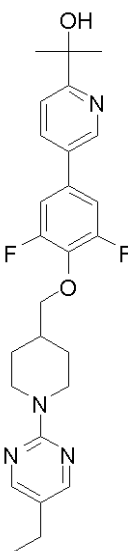
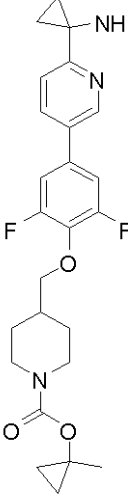
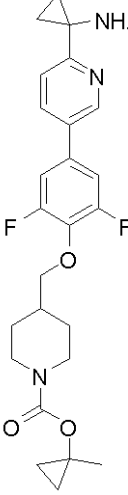
【表 10】

<p><b>A32</b></p>		<p><math>^1\text{H-NMR}</math> (400 MHz, DMSO-<math>d_6</math>) <math>\delta</math> = 8.47 (d, <math>J</math> = 2.4 Hz, 1H), 8.23 (s, 2H), 7.88 (dd, <math>J</math> = 9.2, 2.8 Hz, 1H), 7.46 (m, 2H), 6.89 (d, <math>J</math> = 9.2 Hz, 1H), 4.65 (m, 2H), 3.98 (d, <math>J</math> = 6.4 Hz, 2H), 3.54 (m, 4H), 2.87 (m, 2H), 2.41 (m, 6H), 2.21 (s, 3H), 2.02 (m, 1H), 1.83 (m, 2H), 1.23 (m, 2H), 1.12 (t, <math>J</math> = 7.6 Hz, 3H);  <math>[\text{M}+\text{H}]^+</math> <math>\text{C}_{28}\text{H}_{35}\text{F}_2\text{N}_6\text{O}</math> についての MS 計算値: 509.3, 実測値: 508.9.</p>	10
<p><b>A33</b></p>		<p><math>^1\text{H-NMR}</math> (400 MHz, DMSO-<math>d_6</math>) <math>\delta</math> = 8.97 (s, 2H), 8.23 (s, 2H), 7.64 (m, 2H), 4.66 (m, 2H), 4.02 (d, <math>J</math> = 6.4 Hz, 2H), 3.96 (s, 3H), 2.87 (m, 2H), 2.42 (q, <math>J</math> = 7.6 Hz, 2H), 2.03 (m, 1H), 1.83 (m, 2H), 1.23 (m, 2H), 1.12 (t, <math>J</math> = 7.6 Hz, 3H);  <math>[\text{M}+\text{H}]^+</math> <math>\text{C}_{23}\text{H}_{26}\text{F}_2\text{N}_5\text{O}_2</math> についての MS 計算値: 442.2, 実測値: 442.3.</p>	20
<p><b>A34</b></p>		<p><math>^1\text{H-NMR}</math> (400 MHz, DMSO-<math>d_6</math>) <math>\delta</math> = 12.35 (s, 1H), 8.68 (bs, 2H), 8.23 (s, 2H), 7.53 (m, 2H), 4.65 (m, 2H), 3.98 (d, <math>J</math> = 6.4 Hz, 2H), 2.87 (m, 2H), 2.42 (q, <math>J</math> = 7.6 Hz, 2H), 2.01 (m, 1H), 1.83 (m, 2H), 1.22 (m, 2H), 1.12 (t, <math>J</math> = 7.6 Hz, 3H);  <math>[\text{M}+\text{H}]^+</math> <math>\text{C}_{22}\text{H}_{24}\text{F}_2\text{N}_5\text{O}_2</math> についての MS 計算値: 428.2, 実測値: 428.2.</p>	40

【表 1 1】

<p><b>A35</b></p>		<p><sup>1</sup>H-NMR (400 MHz, DMSO-d6) δ = 9.30 (s, 2H), 8.26 (bs, 1H), 8.24 (s, 2H), 7.84 (m, 3H), 4.66 (m, 2H), 4.07 (d, <i>J</i> = 6.4 Hz, 2H), 2.87 (m, 2H), 2.42 (q, <i>J</i> = 7.6 Hz, 2H), 2.04 (m, 1H), 1.84 (m, 2H), 1.24 (m, 2H), 1.12 (t, <i>J</i> = 7.6 Hz, 3H); [M+H]<sup>+</sup> C<sub>23</sub>H<sub>25</sub>F<sub>2</sub>N<sub>6</sub>O<sub>2</sub> についての MS 計算値: 455.2, 実測値: 455.3.</p>	10
<p><b>A36</b></p>		<p><sup>1</sup>H-NMR (400 MHz, DMSO-d6) δ = 9.02 (dd, <i>J</i> = 2.4, 0.8 Hz, 1H), 8.67 (dd, <i>J</i> = 5.2, 1.6 Hz, 1H), 8.32 (ddd, <i>J</i> = 8.0, 2.4, 1.6 Hz, 1H), 7.66 (m, 3H), 4.03 (d, <i>J</i> = 6.4 Hz, 2H), 3.97 (m, 2H), 2.74 (m, 2H), 1.91 (m, 1H), 1.75 (m, 2H), 1.39 (s, 9H), 1.17 (m, 2H); [M+Na]<sup>+</sup> C<sub>22</sub>H<sub>26</sub>F<sub>2</sub>N<sub>2</sub>NaO<sub>3</sub> についての MS 計算値: 427.2, 実測値: 427.2.</p>	20
<p><b>A37</b></p>		<p><sup>1</sup>H-NMR (400 MHz, DMSO-d6) δ = 9.32 (s 2H), 8.24 (s, 2H), 7.84 (m, 2H), 4.66 (m, 2H), 4.08 (d, <i>J</i> = 6.4 Hz, 2H), 2.88 (m, 2H), 2.42 (q, <i>J</i> = 7.6 Hz, 2H), 2.04 (m, 1H), 1.83 (m, 2H), 1.24 (m, 2H), 1.12 (t, <i>J</i> = 7.6 Hz, 3H); [M+H]<sup>+</sup> C<sub>23</sub>H<sub>24</sub>F<sub>2</sub>N<sub>5</sub>O<sub>3</sub> についての MS 計算値: 456.2, 実測値: 456.1.</p>	30

【表 1 2】

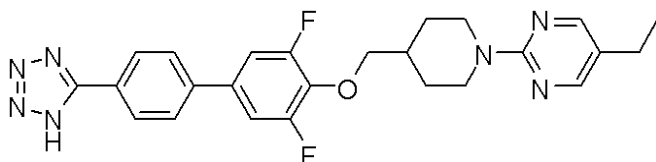
<p><b>A38</b></p>		<p><sup>1</sup>H-NMR (400 MHz, DMSO-d<sub>6</sub>) δ = 8.82 (dd, <i>J</i> = 2.4, 0.8 Hz, 1H), 8.23 (s, 2H), 8.09 (dd, <i>J</i> = 8.4, 2.4 Hz, 1H), 7.71 (dd, <i>J</i> = 8.4, 0.8 Hz, 1H), 7.60 (m, 2H), 5.29 (s, 1H), 4.66 (m, 2H), 4.03 (d, <i>J</i> = 6.4 Hz, 2H), 2.88 (m, 2H), 2.42 (q, <i>J</i> = 7.6 Hz, 2H), 2.03 (m, 1H), 1.84 (m, 2H), 1.46 (s, 6H), 1.23 (m, 2H), 1.12 (t, <i>J</i> = 7.6 Hz, 3H); [M+H]<sup>+</sup> C<sub>26</sub>H<sub>31</sub>F<sub>2</sub>N<sub>4</sub>O<sub>2</sub> についての MS 計算値: 469.2, 実測値: 469.2.</p>	10
<p><b>A39</b></p>		<p><sup>1</sup>H-NMR (400 MHz, DMSO-d<sub>6</sub>) δ = 8.75 (dd, <i>J</i> = 2.4, 0.8 Hz, 1H), 8.06 (dd, <i>J</i> = 8.4, 2.4 Hz, 1H), 7.82 (dd, <i>J</i> = 8.4, 0.8 Hz, 1H), 7.58 (m, 2H), 4.00 (d, <i>J</i> = 6.4 Hz, 2H), 3.93 (m, 2H), 2.75 (m, 2H), 1.90 (m, 1H), 1.75 (m, 2H), 1.46 (s, 3H), 1.24 (m, 2H), 1.15 (m, 2H), 0.99 (m, 2H), 0.76 (m, 2H), 0.59 (m, 2H); [M+H]<sup>+</sup> C<sub>25</sub>H<sub>30</sub>F<sub>2</sub>N<sub>3</sub>O<sub>3</sub> についての MS 計算値: 458.2, 実測値: 469.2.</p>	20
<p><b>A40</b></p>		<p><sup>1</sup>H-NMR (400 MHz, DMSO-d<sub>6</sub>) δ = 8.76 (dd, <i>J</i> = 2.4, 0.8 Hz, 1H), 8.70 (s, 1H), 8.00 (dd, <i>J</i> = 8.4, 2.4 Hz, 1H), 7.56 (m, 2H), 7.36 (d, <i>J</i> = 8.4 Hz, 1H), 4.00 (d, <i>J</i> = 6.4 Hz, 2H), 3.93 (m, 2H), 2.75 (m, 2H), 1.90 (m, 4H), 1.75 (m, 2H), 1.46 (m, 5H), 1.15 (m, 4H), 0.76 (m, 2H), 0.59 (m, 2H); [M+H]<sup>+</sup> C<sub>27</sub>H<sub>32</sub>F<sub>2</sub>N<sub>3</sub>O<sub>4</sub> についての MS 計算値: 500.2, 実測値: 500.2.</p>	40

【 0 1 0 3 】

実施例 B 1

2 - (4 - ((3,5 - ジフルオロ - 4' - (1H - テトラゾール - 5 - イル)ピフェニル - 4 - イルオキシ)メチル)ピペリジン - 1 - イル) - 5 - エチルピリミジン

【化 1 1】



加圧容器に実施例 A 8 (73 mg、0.17 mmol)、ジブチル錫オキシド (7 mg、15 mol%)、アジドトリメチルシラン (43  $\mu$ L、0.17 mmol)、および乾燥トルエン (3 mL) を入れる。容器を密閉し、110 で 24 時間に加熱する。溶液を r t に冷却し、フラッシュクロマトグラフィー (CH<sub>2</sub>Cl<sub>2</sub> / MeOH 勾配) で精製して、表題化合物 (実施例 B 1) を灰白色粉末として得る：<sup>1</sup>H-NMR (400 MHz, DMSO-D<sub>6</sub>) = 8.28 (s, 2H), 8.16 (d, J = 8.4 Hz, 2H), 8.02 (d, J = 8.4 Hz, 2H), 7.70 (d, J = 9.6 Hz, 2H), 4.71 (d, J = 13.0 Hz, 2H), 4.09 (d, J = 6.4 Hz, 2H), 2.93 (td, J = 12.8, 2.4 Hz, 2H), 2.47 (q, J = 7.6 Hz, 2H), 2.09 (m, 1H), 1.89 (dd, J = 12.8, 2.4 Hz, 2H), 1.29 (qd, J = 12.8, 3.6 Hz, 2H), 1.17 (t, J = 7.6 Hz, 3H); <sup>19</sup>F-NMR (376.5 MHz, DMSO-D<sub>6</sub>) = -127.54; [M+H]<sup>+</sup> C<sub>25</sub>H<sub>26</sub>F<sub>2</sub>N<sub>7</sub>O についての MS 計算値: 478.2, 実測値: 478.2。

10

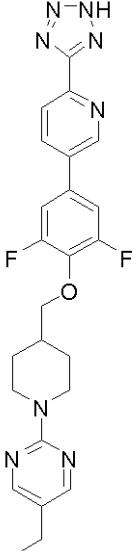
【 0 1 0 4】

上記実施例実施例 B 1 に記載する方法を、適当な出発物質を使用して繰り返して、以下の表 2 に同定する式 I の化合物が得られる：

20



【表 1 4】

<p style="text-align: center;"><b>B5</b></p>		$^1\text{H-NMR}$ (400 MHz, DMSO- $d_6$ ) $\delta$ = 9.16 (dd, $J$ = 2.4, 0.8 Hz, 1H), 8.42 (dd, $J$ = 8.4, 2.4 Hz, 1H), 8.28 (dd, $J$ = 8.4, 0.8 Hz, 1H), 8.25 (s, 2H), 7.79 (m, 2H), 4.66 (m, 2H), 4.07 (d, $J$ = 6.4 Hz, 2H), 2.89 (m, 2H), 2.42 (q, $J$ = 7.6 Hz, 2H), 2.05 (m, 1H), 1.84 (m, 2H), 1.25 (m, 2H), 1.13 (t, $J$ = 7.6 Hz, 3H); $[\text{M}+\text{H}]^+$ $\text{C}_{24}\text{H}_{25}\text{F}_2\text{N}_8\text{O}$ についての MS 計算値: 479.2, 実測値: 479.3.
--	---	---

10

## 【 0 1 0 5 】

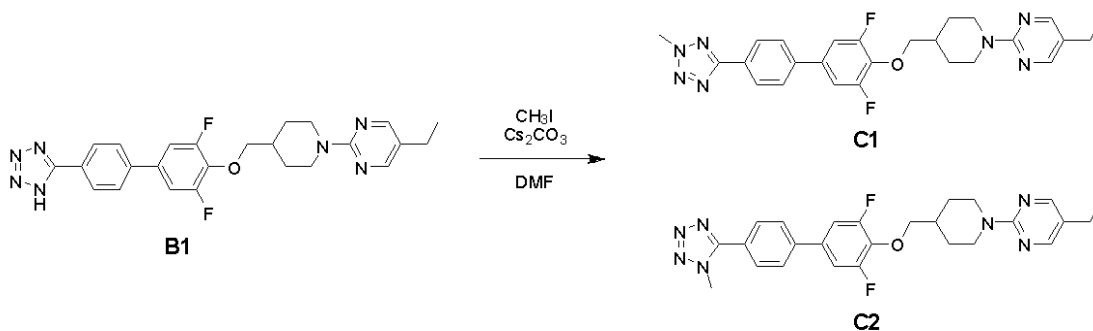
実施例 C 1 および C 2

2 - ( 4 - ( ( 3 , 5 - ジフルオロ - 4 ' - ( 2 - メチル - 2 H - テトラゾール - 5 - イル ) ピ  
フェニル - 4 - イルオキシ ) メチル ) ピペリジン - 1 - イル ) - 5 - エチルピリミジン

2 - ( 4 - ( ( 3 , 5 - ジフルオロ - 4 ' - ( 1 - メチル - 1 H - テトラゾール - 5 - イル ) ピ  
フェニル - 4 - イルオキシ ) メチル ) ピペリジン - 1 - イル ) - 5 - エチルピリミジン

20

## 【 化 1 2 】



30

実施例 B 1 ( 2 0 mg、 0 . 0 4 mmol ) およびヨウ化メチル ( 1 0  $\mu\text{L}$ 、 0 . 1 6 mmol ) の D M F ( 3 mL ) 溶液に  $\text{Cs}_2\text{CO}_3$  ( 4 0 mg、 0 . 1 2 mmol ) を添加する。得られた懸濁液を 8 0  $^\circ\text{C}$  で 1 時間加熱し、 $rt$  に冷却し、 $\text{H}_2\text{O}$  ( 2 0 mL ) で希釈する。混合物を  $\text{EtOAc}$  ( 2  $\times$  2 0 mL ) で抽出し、合わせた有機物を塩水で洗浄し、 $\text{MgSO}_4$  で乾燥させ、真空で濃縮する。フラッシュクロマトグラフィー (  $\text{EtOAc}$  / ヘキサン 勾配 ) での精製により、表題化合物 ( 実施例 C 1 ) および ( 実施例 C 2 ) を白色固体として得る。

40

## 【 0 1 0 6 】

C 1 :  $^1\text{H-NMR}$  ( 400 MHz,  $\text{CDCl}_3$  ) = 8.13 ( d,  $J$  = 8.4 Hz, 2H ), 8.11 ( s, 2H ), 7.57 ( d,  $J$  = 8.4 Hz, 2H ), 7.12 ( d,  $J$  = 9.6 Hz, 2H ), 4.70 ( d,  $J$  = 13.2 Hz, 2H ), 4.35 ( s, 3H ), 3.98 ( d,  $J$  = 6.8 Hz, 2H ), 2.86 ( td,  $J$  = 13.2, 2.0 Hz, 2H ), 2.39 ( q,  $J$  = 7.6 Hz, 2H ), 2.05 ( m, 1H ), 1.91 ( d,  $J$  = 13.2 Hz, 2H ), 1.30 ( m, 2H ), 1.12 ( t,  $J$  = 7.6 Hz, 3H );  $^{19}\text{F-NMR}$  ( 376.5 MHz,  $\text{CDCl}_3$  ) = -127.46;  $[\text{M}+\text{H}]^+$   $\text{C}_{26}\text{H}_{28}\text{F}_2\text{N}_7\text{O}$  についての MS 計算値: 492.2, 実測値: 492.3.

## 【 0 1 0 7 】

C 2 :  $^1\text{H-NMR}$  ( 400 MHz,  $\text{CDCl}_3$  ) = 8.11 ( s, 2H ), 7.77 ( d,  $J$  = 8.4 Hz, 2H ), 7.64 ( d,  $J$  = 8.4 Hz, 2H ), 7.12 ( d,  $J$  = 9.2 Hz, 2H ), 4.71 ( d,  $J$  = 13.2 Hz, 2H ), 4.16 (

50

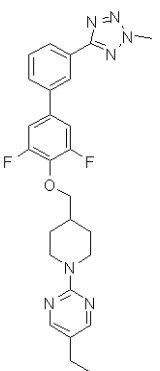
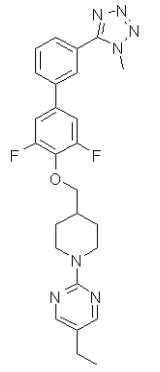
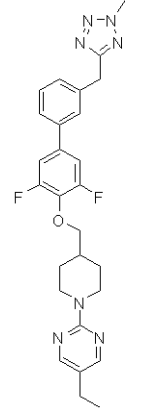
s, 3H), 3.99 (d,  $J = 6.8$  Hz, 2H), 2.86 (td,  $J = 13.2, 2.0$  Hz, 2H), 2.39 (q,  $J = 7.6$  Hz, 2H), 2.05 (m, 1H), 1.91 (d,  $J = 13.2$  Hz, 2H), 1.30 (m, 2H), 1.12 (t,  $J = 7.6$  Hz, 3H);  $^{19}\text{F}$ -NMR (376.5 MHz,  $\text{CDCl}_3$ ) = -126.93;  $[\text{M}+\text{H}]^+$   $\text{C}_{26}\text{H}_{28}\text{F}_2\text{N}_7\text{O}$  についての MS 計算値: 492.2, 実測値: 492.2.

【 0 1 0 8 】

上記実施例 C 1 - C 2 に記載する方法を、適当な出発物質を使用して繰り返して、以下の表 3 に同定する式 I の化合物が得られる:

【 表 1 5 】

表 3

実施例番号	構造	NMR および/または ESMS
C3		$^1\text{H}$ -NMR (400 MHz, $\text{CDCl}_3$ ) $\delta$ = 8.30 (t, $J = 1.6$ Hz, 1H), 8.17 (s, 2H), 8.13 (dt, $J = 7.6, 1.6$ Hz, 1H), 7.61 (dt, $J = 7.6, 1.6$ Hz, 1H), 7.56 (t, $J = 7.6$ Hz, 1H), 7.22 (d, $J = 9.2$ Hz, 2H), 4.78 (d, $J = 13.2$ Hz, 2H), 4.43 (s, 3H), 4.05 (d, $J = 6.4$ Hz, 2H), 2.93 (t, $J = 12.8$ Hz, 2H), 2.46 (q, $J = 7.6$ Hz, 2H), 2.12 (m, 1H), 1.98 (d, $J = 12.8$ Hz, 2H), 1.37 (qd, $J = 12.4, 3.4$ Hz, 2H), 1.19 (t, $J = 7.6$ Hz, 3H); $[\text{M}+\text{H}]^+$ $\text{C}_{26}\text{H}_{28}\text{F}_2\text{N}_7\text{O}$ についての MS 計算値: 492.2, 実測値: 492.2.
C4		$^1\text{H}$ -NMR (400 MHz, $\text{CDCl}_3$ ) $\delta$ = 8.17 (s, 2H), 7.90 (s, 1H), 7.71 (m, 2H), 7.65 (t, $J = 7.6$ Hz, 1H), 7.17 (d, $J = 9.2$ Hz, 2H), 4.77 (d, $J = 13.2$ Hz, 2H), 4.22 (s, 3H), 4.06 (d, $J = 6.4$ Hz, 2H), 2.92 (td, $J = 12.8, 2.4$ Hz, 2H), 2.46 (t, $J = 7.6$ Hz, 2H), 2.11 (m, 1H), 1.97 (d, $J = 12.8$ Hz, 2H), 1.36 (qd, $J = 12.8, 4.0$ Hz, 2H), 1.18 (t, $J = 7.6$ Hz, 3H); $[\text{M}+\text{H}]^+$ $\text{C}_{26}\text{H}_{28}\text{F}_2\text{N}_7\text{O}$ についての MS 計算値: 492.2, 実測値: 492.2.
C5		$^1\text{H}$ -NMR (400 MHz, $\text{CDCl}_3$ ) $\delta$ = 8.17 (s, 2H), 7.46 (s, 1H), 7.38 (m, 2H), 7.32 (m, 1H), 7.10 (d, $J = 9.6$ Hz, 2H), 4.76 (d, $J = 13.2$ Hz, 2H), 4.31 (s, 3H), 4.28 (s, 2H), 4.02 (d, $J = 6.4$ Hz, 2H), 2.92 (td, $J = 12.8, 2.8$ Hz, 2H), 2.46 (q, $J = 7.6$ Hz, 2H), 2.10 (m, 1H), 1.97 (d, $J = 13.2$ Hz, 2H), 1.35 (qd, $J = 12.4, 4.0$ Hz, 2H), 1.18 (t, $J = 7.6$ Hz, 3H); $[\text{M}+\text{H}]^+$ $\text{C}_{27}\text{H}_{30}\text{F}_2\text{N}_7\text{O}$ についての MS 計算値: 506.2, 実測値: 506.3.

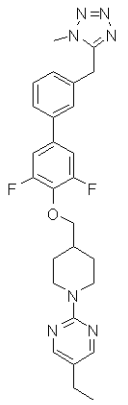
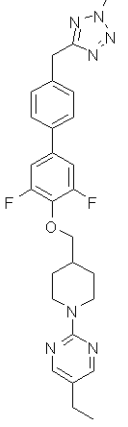
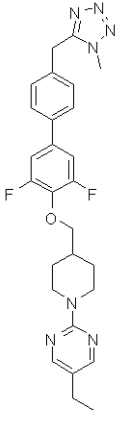
10

20

30

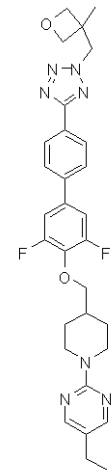
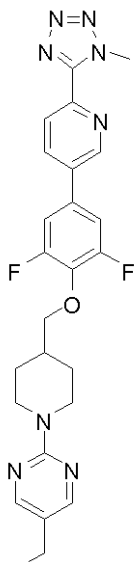
40

【表 16】

C6		$^1\text{H-NMR}$ (400 MHz, $\text{CDCl}_3$ ) $\delta$ = 8.17 (s, 2H), 7.42 (m, 2H), 7.34 (s, 1H), 7.18 (d, $J$ = 6.8 Hz, 1H), 7.07 (d, $J$ = 9.2 Hz, 2H), 4.76 (d, $J$ = 13.2 Hz, 2H), 4.35 (s, 2H), 4.02 (d, $J$ = 6.4 Hz, 2H), 3.89 (s, 3H), 2.92 (td, $J$ = 12.8, 2.4 Hz, 2H), 2.45 (q, $J$ = 7.6 Hz, 2H), 2.10 (m, 1H), 1.96 (d, $J$ = 13.2 Hz, 2H), 1.35 (qd, $J$ = 12.4, 4.0 Hz, 2H), 1.18 (t, $J$ = 7.6 Hz, 3H); $[\text{M}+\text{H}]^+$ $\text{C}_{27}\text{H}_{30}\text{F}_2\text{N}_7\text{O}$ についての MS 計算値: 506.2, 実測値: 506.3.	10
C7		$^1\text{H-NMR}$ (400 MHz, $\text{CDCl}_3$ ) $\delta$ = 8.17 (s, 2H), 7.45 (d, $J$ = 8.4 Hz, 2H), 7.39 (d, $J$ = 8.4 Hz, 2H), 7.09 (d, $J$ = 9.2 Hz, 2H), 4.76 (d, $J$ = 13.2 Hz, 2H), 4.31 (s, 3H), 4.27 (s, 2H), 4.01 (d, $J$ = 6.4 Hz, 2H), 2.92 (td, $J$ = 12.8, 2.8 Hz, 2H), 2.46 (q, $J$ = 7.6 Hz, 2H), 2.10 (m, 1H), 1.96 (d, $J$ = 13.2 Hz, 2H), 1.35 (qd, $J$ = 12.4, 4.0 Hz, 2H), 1.18 (t, $J$ = 7.6 Hz, 3H); $[\text{M}+\text{H}]^+$ $\text{C}_{27}\text{H}_{30}\text{F}_2\text{N}_7\text{O}$ についての MS 計算値: 506.2, 実測値: 506.3.	20
C8		$^1\text{H-NMR}$ (400 MHz, $\text{CDCl}_3$ ) $\delta$ = 8.17 (s, 2H), 7.48 (d, $J$ = 8.4 Hz, 2H), 7.26 (d, $J$ = 8.4 Hz, 2H), 7.09 (d, $J$ = 9.2 Hz, 2H), 4.76 (d, $J$ = 13.2 Hz, 2H), 4.33 (s, 2H), 4.02 (d, $J$ = 6.4 Hz, 2H), 3.89 (s, 3H), 2.92 (td, $J$ = 12.8, 2.0 Hz, 2H), 2.46 (q, $J$ = 7.6 Hz, 2H), 2.10 (m, 1H), 1.96 (d, $J$ = 12.8 Hz, 2H), 1.35 (qd, $J$ = 12.4, 4.0 Hz, 2H), 1.18 (t, $J$ = 7.6 Hz, 3H); $[\text{M}+\text{H}]^+$ $\text{C}_{27}\text{H}_{30}\text{F}_2\text{N}_7\text{O}$ についての MS 計算値: 506.2, 実測値: 506.3.	30

【0109】

【表 17】

<p style="text-align: center;"><b>C9</b></p>		<p><sup>1</sup>H-NMR (400 MHz, CDCl<sub>3</sub>) δ = 8.21 (d, <i>J</i> = 8.4 Hz, 2H), 8.17 (s, 2H), 7.64 (d, <i>J</i> = 8.4 Hz, 2H), 7.19 (d, <i>J</i> = 9.2 Hz, 2H), 4.91 (s, 2H), 4.80 (d, <i>J</i> = 6.4 Hz, 2H), 4.77 (d, <i>J</i> = 13.2 Hz, 2H), 4.50 (d, <i>J</i> = 6.4 Hz, 2H), 4.05 (d, <i>J</i> = 6.4 Hz, 2H), 2.93 (td, <i>J</i> = 12.8, 2.4 Hz, 2H), 2.46 (q, <i>J</i> = 7.6 Hz, 2H), 2.11 (m, 1H), 1.97 (d, <i>J</i> = 13.2 Hz, 2H), 1.36 (qd, <i>J</i> = 12.4, 4.0 Hz, 2H), 1.33 (s, 3H), 1.18 (t, <i>J</i> = 7.6 Hz, 3H); [M+H]<sup>+</sup> C<sub>30</sub>H<sub>34</sub>F<sub>2</sub>N<sub>7</sub>O<sub>2</sub> についての MS 計算値: 562.3, 実測値: 562.3.</p>	10
<p style="text-align: center;"><b>C10</b></p>		<p><sup>1</sup>H-NMR (400 MHz, DMSO-d<sub>6</sub>) δ = 9.12 (dd, <i>J</i> = 2.4, 0.8 Hz, 1H), 8.35 (dd, <i>J</i> = 8.4, 2.4 Hz, 1H), 8.24 (s, 2H), 8.18 (dd, <i>J</i> = 8.4, 0.8 Hz, 1H), 7.75 (m, 2H), 4.67 (m, 2H), 4.47 (s, 3H), 4.06 (d, <i>J</i> = 6.4 Hz, 2H), 2.88 (m, 2H), 2.42 (q, <i>J</i> = 7.6 Hz, 2H), 2.04 (m, 1H), 1.84 (m, 2H), 1.24 (m, 2H), 1.13 (t, <i>J</i> = 7.6 Hz, 3H); [M+H]<sup>+</sup> C<sub>25</sub>H<sub>27</sub>F<sub>2</sub>N<sub>8</sub>O についての MS 計算値: 493.2, 実測値: 493.2.</p>	20
<p style="text-align: center;"><b>C11</b></p>		<p><sup>1</sup>H-NMR (400 MHz, DMSO-d<sub>6</sub>) δ = 9.20 (dd, <i>J</i> = 2.4, 0.8 Hz, 1H), 8.44 (dd, <i>J</i> = 8.4, 2.4 Hz, 1H), 8.30 (dd, <i>J</i> = 8.4, 0.8 Hz, 1H), 8.24 (s, 2H), 7.78 (m, 2H), 4.67 (m, 2H), 4.45 (s, 3H), 4.07 (d, <i>J</i> = 6.4 Hz, 2H), 2.88 (m, 2H), 2.42 (q, <i>J</i> = 7.6 Hz, 2H), 2.05 (m, 1H), 1.84 (m, 2H), 1.24 (m, 2H), 1.13 (t, <i>J</i> = 7.6 Hz, 3H); [M+H]<sup>+</sup> C<sub>25</sub>H<sub>27</sub>F<sub>2</sub>N<sub>8</sub>O についての MS 計算値: 493.2, 実測値: 493.2.</p>	40

【0110】

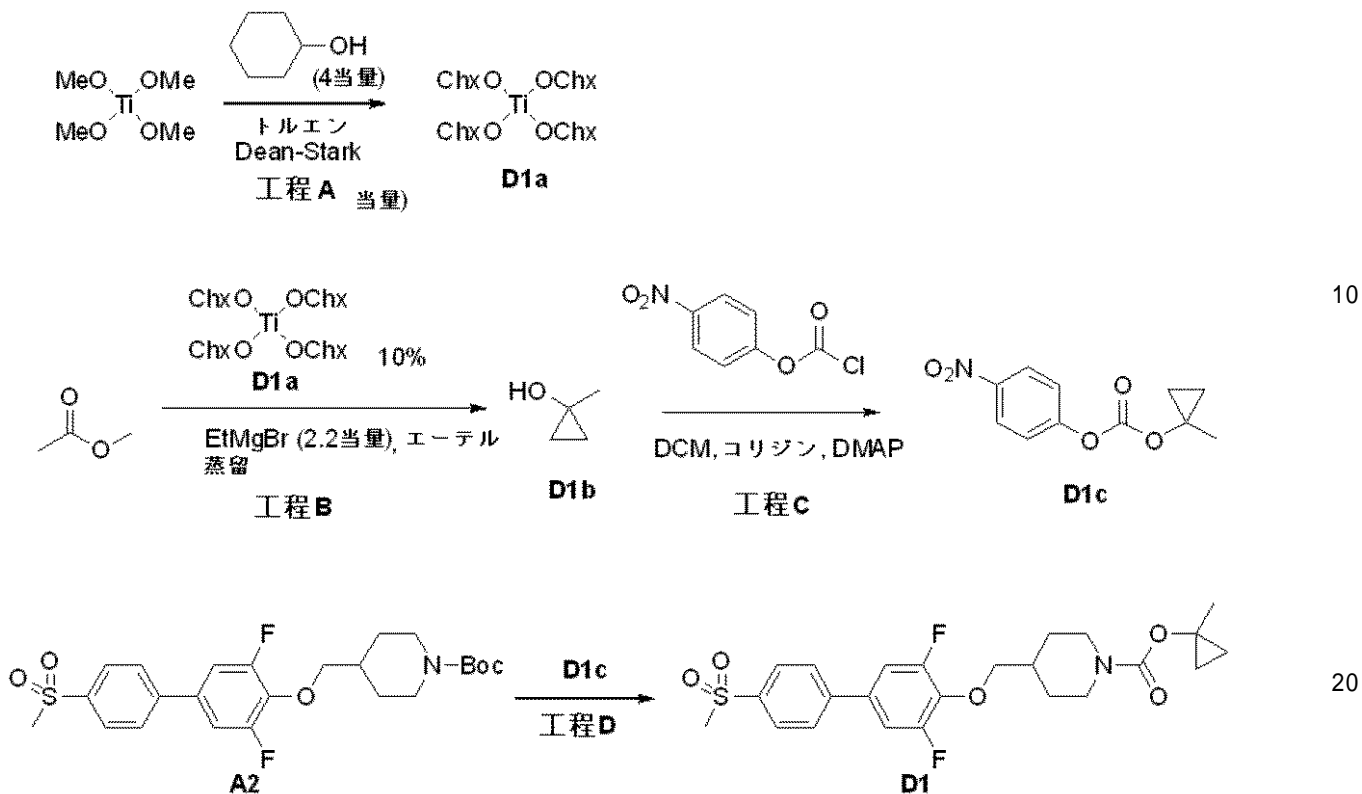
実施例 D 1

1 - メチルシクロプロピル 4 - ((3, 5 - ジフルオロ - 4' - (メチルスルホニル)ピフェ

50

ニル - 4 - イルオキシ)メチル)ピペリジン - 1 - カルボキシレート

【化 1 3】



工程 A : 2.5 mL フラスコに  $Ti(O Me)_4$  (3.25 g、18.9 mmol) およびシクロヘキサノール (7.57 g、75.6 mL) およびトルエン (15 mL) を入れる。系を、140 で Dean-Stark トラップを利用して MeOH が発生されなくなるまで加熱し、次いでトルエンを除去して、チタンシクロヘキシルオキシ触媒 D1a を得る。このサイクルを 2 回繰り返し、残りをさらに精製せずに使用する。

【 0 1 1 1】

工程 B : 2 L フラスコを、エーテル (500 mL)、上記触媒 D1a 全ておよび酢酸メチル (14 g、0.189 mol) で処理する。この溶液にジエチルエーテル中臭化エチルマグネシウムの 3 M 溶液 (139 mL、0.416 mol) を 1.5 時間にわたり添加する。温度を、フラスコを水浴に吊すことにより一定に保つ。添加完了後、反応混合物をさらに 15 分間攪拌し、次いで 10%  $H_2SO_4$  の氷冷水溶液 (1.6 L) でクエンチする。有機相を分離し、水性相をエーテル (2 x 250 mL) で抽出する。合わせた有機物を飽和水性炭酸水素ナトリウム (50 mL) で抽出し、 $MgSO_4$  で乾燥させ、濾過する。エーテルを吸引せずに 65 で除去し、残留物を短経路蒸留装置を通して蒸留する。所望の 1 - メチルシクロプロパノール D1b は大凡 100 で沸騰する。生成物フラクション (5.0 g) を回収したら、それを NMR で試験し、大凡の純度は 50% であり、残りの物質はトルエン、エーテルおよびメチルエチルケトンである。この物質をさらに精製せずに次工程に使用する。

【 0 1 1 2】

工程 C : 4 - ニトロフェニルクロロホルメート (6.99 g、34 mmol) の  $CH_2Cl_2$  (50 mL) 中の氷冷溶液を、先の工程からの D1b の全溶液と DMAP (424 mg、3.47 mmol) で 2, 4, 6 - コリジン (25 mL) 中、処理し、氷 / 水浴で 30 分間攪拌する。氷浴を除き、反応混合物を一夜攪拌する。反応混合物を次いで 1 M  $HCl$  (150 mL) で処理する。有機物を単離し、1 回 1 M  $HCl$  (100 mL) および 1 回飽和水性  $NaCl$  (20 mL) で抽出する。有機物を  $MgSO_4$  で乾燥させ、濾過し、濃縮し、フラッシュクロマトグラフィ (EtOAc / ヘキサン 勾配) で精製して、1 - メチルシクロプロピル 4 - ニトロフェニルカーボネート D1c を油状物として得て、それは長い静置により固化する :  $^1H$  NMR ( $CDCl_3$ ) = 8.28 (m, 2H), 7.38 (m, 2H), 1.66 (s, 3H), 1.07 (m, 2H), 0.76 (m, 2H);

10

20

30

40

50

[M+H]<sup>+</sup> C<sub>11</sub>H<sub>12</sub>NO<sub>5</sub> についてのMS計算値：238.1，実測値：237.8。

【0113】

工程D：実施例A2(61mg、0.13mmol)をCH<sub>2</sub>Cl<sub>2</sub>(3mL)に溶解し、0℃に冷却し、トリフルオロ酢酸(0.3mL)で処理する。混合物を次いでrtで2時間攪拌する。溶媒を除去し、残留物をトルエンと1回共沸蒸留する。残留物をCH<sub>2</sub>Cl<sub>2</sub>(3mL)に溶解し、NEt<sub>3</sub>(0.3mL)および中間体D1c(30mg、0.13mmol)で処理し、rtで一晩攪拌する。混合物をCH<sub>2</sub>Cl<sub>2</sub>で希釈し、1N NaOH(3x)、1M HCl(1x)および塩水(1x)で洗浄し、乾燥させ(Na<sub>2</sub>SO<sub>4</sub>)、真空で濃縮する。フラッシュクロマトグラフィー(SiO<sub>2</sub>、EtOAc/ヘキサン勾配)での精製により、表題化合物(実施例D1)を白色固体として得る：<sup>1</sup>H-NMR(400MHz, CD<sub>3</sub>CN) δ = 8.01(d, J = 8.8 Hz, 2H), 7.86(d, J = 8.8 Hz, 2H), 7.45-7.38(m, 2H), 4.11-3.94(m, 2H), 4.07(d, J = 6.0 Hz, 2H), 3.12(s, 3H), 2.86-2.68(m, 2H), 2.02-2.00(m, 1H), 1.85-1.81(m, 2H), 1.51(s, 3H), 1.29-1.19(m, 2H), 0.84-0.81(m, 2H), 0.63-0.60(m, 2H); <sup>19</sup>F-NMR(376.5MHz, CD<sub>3</sub>CN) δ = -128.76; [M+H]<sup>+</sup> C<sub>24</sub>H<sub>28</sub>F<sub>2</sub>NO<sub>5</sub>S についてのMS計算値：480.1，実測値：480.1。

10

【0114】

実施例E1 - E3

4 - (4 - ((1 - (tert - ブトキシカルボニル)ピペリジン - 4 - イル)メトキシ) - 3,5 - ジフルオロフェニル)ピリジン1 - オキシド

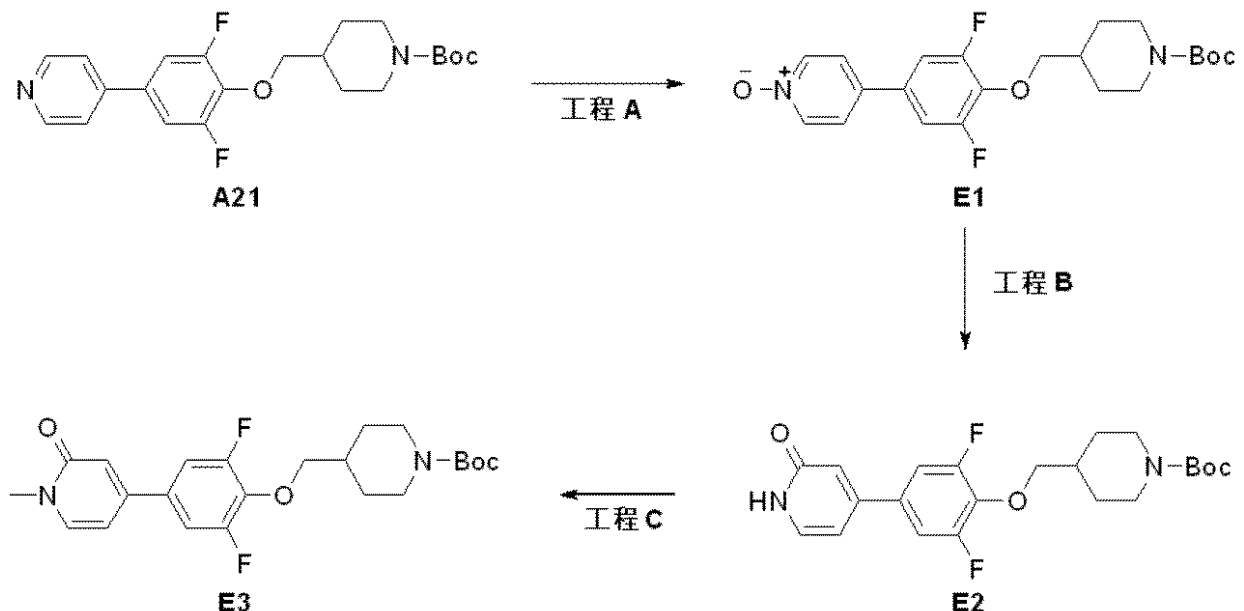
tert - ブチル 4 - ((2,6 - ジフルオロ - 4 - (2 - オキソ - 1,2 - ジヒドロピリジン - 4 - イル)フェノキシ)メチル)ピペリジン - 1 - カルボキシレート

tert - ブチル 4 - ((2,6 - ジフルオロ - 4 - (1 - メチル - 2 - オキソ - 1,2 - ジヒドロピリジン - 4 - イル)フェノキシ)メチル)ピペリジン - 1 - カルボキシレート

20

tert - ブチル 4 - ((2,6 - ジフルオロ - 4 - (1 - メチル - 2 - オキソ - 1,2 - ジヒドロピリジン - 4 - イル)フェノキシ)メチル)ピペリジン - 1 - カルボキシレート

【化14】



30

40

工程A：mCPBA(77%、350mg、1.56mmol)のEtOAc(1mL)溶液を、実施例A21(162mg、0.4mmol)のEtOAc(2mL)に添加し、rtで一晩攪拌する。EtOAc(20mL)を添加し、水性NaHCO<sub>3</sub>(2x20mL)で洗浄する。有機相を乾燥させ(Na<sub>2</sub>SO<sub>4</sub>)、真空で濃縮する。フラッシュクロマトグラフィー(CH<sub>2</sub>Cl<sub>2</sub>/MeOH勾配)での精製により、実施例E1を灰白色固体として得る：<sup>1</sup>H-NMR(400MHz, DM SO-d<sub>6</sub>) δ = 8.27(m, 2H), 7.69(m, 2H), 7.82(m, 2H), 7.70(m, 2H), 4.03(d, J = 6.4 Hz, 2H), 3.97(m, 2H), 2.73(m, 2H), 1.90(m, 1H), 1.75(m, 2H), 1.39(s, 9H), 1.16(m, 2H); [M+H]<sup>+</sup> C<sub>22</sub>H<sub>27</sub>F<sub>2</sub>N<sub>2</sub>O<sub>4</sub> についてのMS計算値：421.2，実測値：421.2。

【0115】

工程B：実施例E1(66mg、0.16mmol)のAc<sub>2</sub>O(2mL)溶液を130℃で20時間

50

加熱する。次いで、反応混合物を濃縮し、MeOH (4 mL) および 2 M Na<sub>2</sub>CO<sub>3</sub> (2 mL) に溶解し、rt で一夜攪拌する。溶媒を真空で除去し、H<sub>2</sub>O (20 mL) を添加する。反応混合物を EtOAc (3 × 10 mL) で抽出し、H<sub>2</sub>O (10 mL) で洗浄し、乾燥させ (Na<sub>2</sub>SO<sub>4</sub>)、真空で濃縮する。フラッシュクロマトグラフィー (CH<sub>2</sub>Cl<sub>2</sub> / MeOH 勾配) での精製により、実施例 E 2 を白色固体として得る：<sup>1</sup>H-NMR (400 MHz, DMSO-d<sub>6</sub>) = 7.59 (m, 2H), 7.44 (d, J = 6.8, 1H), 6.67 (d, J = 1.6 Hz, 1H), 6.53 (dd, J = 6.8, 1.6 Hz, 1H), 4.03 (d, J = 6.4 Hz, 2H), 3.97 (m, 2H), 2.73 (s, 2H), 1.90 (m, 1H), 1.75 (m, 2H), 1.39 (s, 9H), 1.16 (m, 2H); [M+H]<sup>+</sup> C<sub>22</sub>H<sub>27</sub>F<sub>2</sub>N<sub>2</sub>O<sub>4</sub> についての MS 計算値: 421.2, 実測値: 421.2。

【0116】

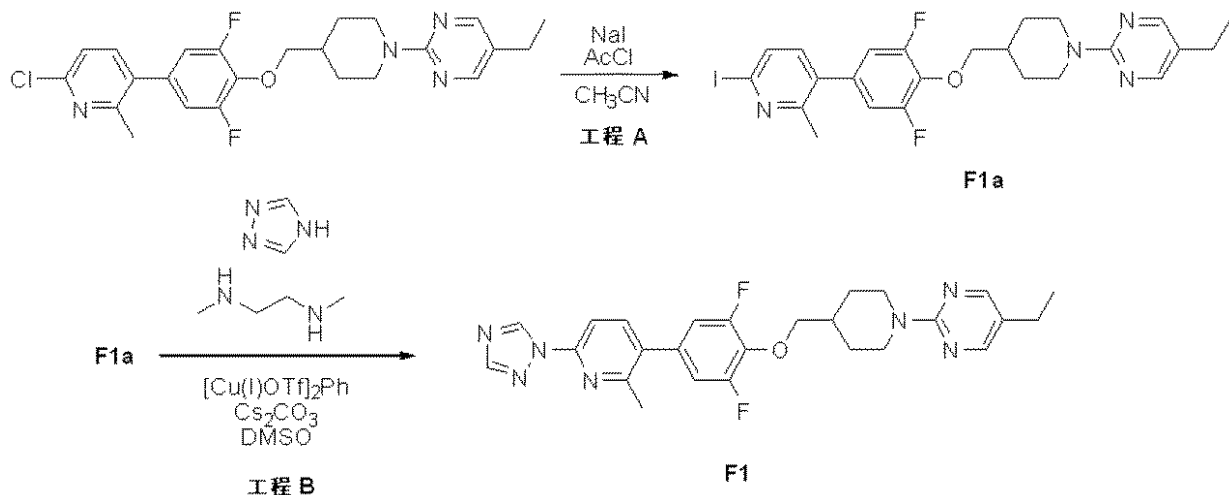
工程 C : 実施例 E 2 (21 mg, 0.05 mmol) の無水 DMF (0.2 mL) 溶液に、Cs<sub>2</sub>CO<sub>3</sub> (49 mg, 0.15 mmol) および MeI (20 μL, 0.15 mmol) を添加する。混合物を密閉バイアル中で 65 °C で一夜加熱し、次いで逆相 HPLC (H<sub>2</sub>O / MeCN 勾配) で精製して、表題化合物実施例 E 3 を白色固体として得る：<sup>1</sup>H-NMR (400 MHz, DMSO-d<sub>6</sub>) = 7.78 (d, J = 7.2, 1H), 7.61 (m, 2H), 6.76 (d, J = 2.1 Hz, 1H), 6.61 (dd, J = 7.2, 2.4 Hz, 1H), 4.03 (d, J = 6.4 Hz, 2H), 3.97 (m, 2H), 3.43 (s, 3H), 2.73 (s, 2H), 1.89 (m, 1H), 1.75 (m, 2H), 1.39 (s, 9H), 1.15 (m, 2H); [M+H]<sup>+</sup> C<sub>23</sub>H<sub>29</sub>F<sub>2</sub>N<sub>2</sub>O<sub>4</sub> についての MS 計算値: 435.2, 実測値: 434.9。

【0117】

実施例 F 1

2 - (4 - ((2,6 - ジフルオロ - 4 - (2 - メチル - 6 - (1H - 1,2,4 - トリアゾール - 1 - イル)ピリジン - 3 - イル)フェノキシ)メチル)ピペリジン - 1 - イル) - 5 - エチルピリミジン

【化15】



工程 A : 4 mL バイアルで、実施例 A 2 3 (108 mg, 0.23 mmol) およびヨウ化ナトリウム (110 mg, 0.73 mmol) を乾燥 CH<sub>3</sub>CN (2 mL) に懸濁させる。アセチルクロライド (35 μL, 0.49 mmol) を添加し、バイアルを密閉し、混合物を 80 °C で 24 時間加熱し、次いで rt に冷却する。懸濁液を 10% K<sub>2</sub>CO<sub>3</sub> および 5% NaHSO<sub>3</sub> の水溶液で洗浄し、2 回 CH<sub>2</sub>Cl<sub>2</sub> で抽出する。有機物を乾燥させ (MgSO<sub>4</sub>)、真空で濃縮して、粗 2 - (4 - ((2,6 - ジフルオロ - 4 - (6 - ヨード - 2 - メチルピリジン - 3 - イル)フェノキシ)メチル)ピペリジン - 1 - イル) - 5 - エチルピリミジン F 1 a を得て、それをさらに精製せずに使用する：<sup>1</sup>H-NMR (400 MHz, DMSO-d<sub>6</sub>) = 7.59 (m, 2H), 7.44 (d, J = 6.8, 1H), 6.67 (d, J = 1.6 Hz, 1H), 6.53 (dd, J = 6.8, 1.6 Hz, 1H), 4.03 (d, J = 6.4 Hz, 2H), 3.97 (m, 2H), 2.73 (s, 2H), 1.90 (m, 1H), 1.75 (m, 2H), 1.39 (s, 9H), 1.16 (m, 2H); [M+H]<sup>+</sup> C<sub>24</sub>H<sub>26</sub>F<sub>2</sub>IN<sub>4</sub>O についての MS 計算値: 551.1, 実測値: 551.2。

【0118】

工程 B : 粗中間体 F 1 a (40 mg, 約 0.05 mmol)、[Cu(I)OTf]<sub>2</sub>Ph (2.6 mg, 0.005 mmol)、1H - 1,2,4 - トリアゾール (8 mg, 0.11 mmol)、および炭酸セシウム (45 mg, 0.14 mmol) を乾燥 DMSO (1 mL) に溶解する。ジメチルエチレンジアミ

10

20

30

40

50

ン(1  $\mu$ L、0.013 mmol)を添加し、溶液を120  $^{\circ}$ Cで5時間加熱する。rtに冷却後、混合物をH<sub>2</sub>O(30 mL)で希釈し、2回EtOAcで抽出する。有機物を乾燥させ(MgSO<sub>4</sub>)、真空で濃縮し、フラッシュクロマトグラフィー(EtOAc/ヘキサン勾配)で精製して、表題化合物(実施例F1)を白色固体として得る：<sup>1</sup>H-NMR(400 MHz, CDCl<sub>3</sub>) = 9.21 (s, 1H), 8.18 (s, 2H), 8.10 (s, 1H), 7.77 (d, J = 8.4 Hz, 1H), 7.67 (d, J = 8.4 Hz, 1H), 6.89 (d, J = 8.8 Hz, 2H), 4.78 (d, J = 13.1 Hz, 1H), 4.06 (d, J = 6.4 Hz, 2H), 2.93 (td, J = 12.8, 2.4 Hz, 2H), 2.54 (s, 3H), 2.46 (q, J = 7.5 Hz, 2H), 2.13 (m, 1H), 1.98 (d, J = 13.2 Hz, 2H), 1.37 (qd, J = 12.8, 4.0 Hz, 2H), 1.19 (t, J = 7.6 Hz, 3H); <sup>19</sup>F-NMR(376.5 MHz, CDCl<sub>3</sub>) = -127.22; [M+H]<sup>+</sup> C<sub>26</sub>H<sub>28</sub>F<sub>2</sub>N<sub>7</sub>OについてのMS計算値：492.2, 実測値：492.2。

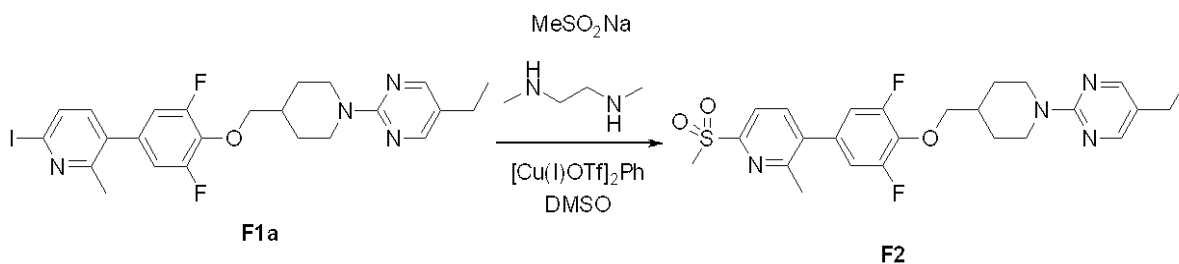
10

【0119】

実施例F2

2-(4-((2,6-ジフルオロ-4-(2-メチル-6-(メチルスルホニル)ピリジン-3-イル)フェノキシ)メチル)ピペリジン-1-イル)-5-エチルピリミジン

【化16】



20

粗中間体F1a(40 mg、約0.05 mmol)を、実施例F1に記載する通り、1H-1,2,4-トリアゾールの代わりにナトリウムメタンサルフィネートで処理し、炭酸セシウムの添加をせずに、表題化合物(実施例F2)を白色固体として得る：<sup>1</sup>H-NMR(400 MHz, CDCl<sub>3</sub>) = 8.17 (s, 2H), 7.97 (d, J = 7.6 Hz, 1H), 7.73 (d, J = 7.6 Hz, 1H), 6.88 (d, J = 8.8 Hz, 2H), 4.78 (d, J = 13.2 Hz, 2H), 4.07 (d, J = 6.4 Hz, 2H), 3.27 (s, 3H), 2.93 (td, J = 12.8, 2.8 Hz, 2H), 2.59 (s, 3H), 2.46 (q, J = 7.6 Hz, 2H), 2.13 (m, 1H), 1.97 (d, J = 13.2 Hz, 2H), 1.37 (qd, J = 12.8, 4.4 Hz, 2H), 1.18 (t, J = 7.6 Hz, 3H); <sup>19</sup>F-NMR(376.5 MHz, CDCl<sub>3</sub>) = -126.57; [M+H]<sup>+</sup> C<sub>25</sub>H<sub>29</sub>F<sub>2</sub>N<sub>4</sub>O<sub>3</sub>SについてのMS計算値：503.2, 実測値：503.3。

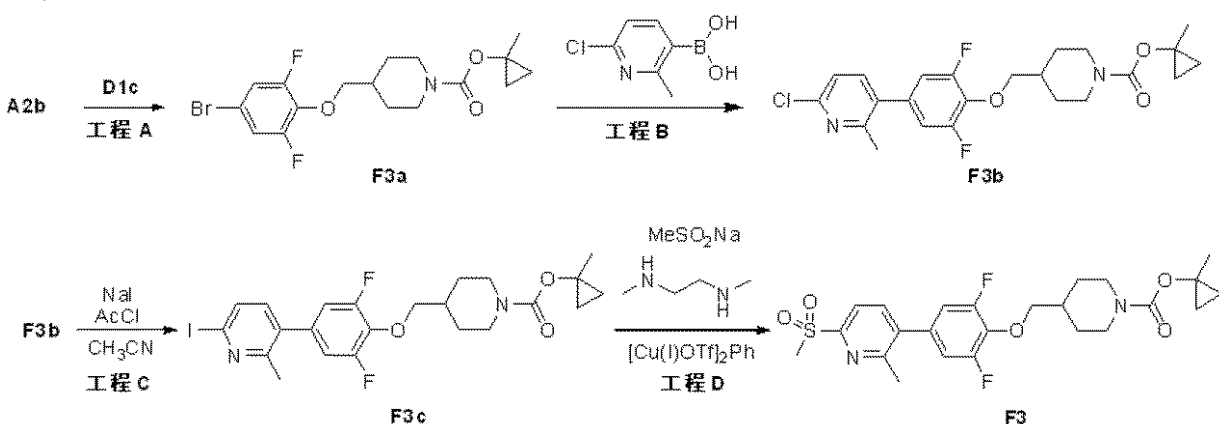
30

【0120】

実施例F3

1-メチルシクロプロピル4-((2,6-ジフルオロ-4-(2-メチル-6-(メチルスルホニル)ピリジン-3-イル)フェノキシ)メチル)ピペリジン-1-カルボキシレート

【化17】



40

工程A：中間体A2bのCH<sub>2</sub>Cl<sub>2</sub>(100 ml)溶液を0  $^{\circ}$ Cに冷却し、TFA(10 ml)で処理し、rtで2時間攪拌する。溶媒を蒸発させ、トルエンと1回共沸蒸留した。粗物質

50

を  $\text{CH}_2\text{Cl}_2$  (100 ml) に溶解し、 $\text{NEt}_3$  (10 ml、72 mmol) およびカーボネート D1c (5.88 g、24.8 mmol) で処理した。混合物を *rt* で一夜攪拌し、次いで 1 M  $\text{NaOH}$  (3 x)、1 M  $\text{HCl}$  (1 x) および塩水 (1 x) で洗浄した。有機相を乾燥させ ( $\text{Na}_2\text{SO}_4$ )、真空で濃縮して、1-メチルシクロプロピル 4-((4-プロモ-2,6-ジフルオロフェノキシ)メチル)ピペリジン-1-カルボキシレート F3a を明オレンジ色油状物として得た。[M+H]<sup>+</sup>  $\text{C}_{17}\text{H}_{21}\text{BrF}_2\text{NO}_3$  についての MS 計算値: 404.1, 実測値: 404.0。生成物を精製せずに使用する。

## 【0121】

工程 B: マイクロ波バイアルで、中間体 F3a (815 mg、2.0 mmol)、6-クロロ-2-メチルピリジン-3-イルボロン酸 (375 mg、2.2 mmol) および  $\text{Pd(dppf)Cl}_2$  (105 mg、0.14 mmol) の乾燥ジオキサン (16 ml) 中の混合物を 1 M  $\text{Cs}_2\text{CO}_3$  (2.4 ml、2.4 mmol) で処理する。バイアルを密閉し、窒素雰囲気下でマイクロ波照射する (120、20 分間)。冷却後、混合物を  $\text{EtOAc}$  で希釈し、塩水で洗浄し、乾燥させ ( $\text{Na}_2\text{SO}_4$ )、真空で濃縮する。フラッシュクロマトグラフィー ( $\text{EtOAc}$  / ヘキササン 勾配) での精製により、1-メチルシクロプロピル 4-((4-(6-クロロ-2-メチルピリジン-3-イル)-2,6-ジフルオロフェノキシ)メチル)ピペリジン-1-カルボキシレート F3b を白色固体として得る: <sup>1</sup>H-NMR (400 MHz,  $\text{CDCl}_3$ ) = 7.46 (d, J = 8.0 Hz, 1H), 7.24 (d, J = 8.0 Hz, 1H), 6.87 (d, J = 8.8 Hz, 2H), 4.30-4.05 (br. d, 2H), 4.04 (d, J = 6.8 Hz, 2H), 2.79 (t, J = 12.0 Hz, 2H), 2.51 (s, 3H), 2.00 (m, 1H), 1.89 (dd, J = 12.8, 1.2 Hz, 2H), 1.57 (s, 3H), 1.38-1.25 (m, 2H), 0.91-0.87 (m, 2H), 0.66-0.63 (m, 2H); <sup>19</sup>F-NMR (376.5 MHz,  $\text{CDCl}_3$ ) = -127.27; [M+H]<sup>+</sup>  $\text{C}_{23}\text{H}_{26}\text{ClF}_2\text{N}_2\text{O}_3$  についての MS 計算値: 451.1, 実測値: 451.2。

## 【0122】

工程 C: 20 mL バイアルで、中間体 F3b (451 mg、1.0 mmol) およびヨウ化ナトリウム (902 mg、6.0 mmol) を乾燥  $\text{MeCN}$  (5 mL) に懸濁する。アセチルクロライド (213  $\mu\text{L}$ 、3.0 mmol) を添加し、バイアルを密閉し、混合物を 80 で 16 時間加熱し、次いで *rt* に冷却する。懸濁液を 10%  $\text{K}_2\text{CO}_3$  および 5%  $\text{NaHSO}_3$  の水溶液で希釈し、2回  $\text{CH}_2\text{Cl}_2$  で抽出する。有機物を乾燥させ ( $\text{MgSO}_4$ )、真空で濃縮して、1-メチルシクロプロピル 4-((2,6-ジフルオロ-4-(6-ヨード-2-メチルピリジン-3-イル)フェノキシ)メチル)ピペリジン-1-カルボキシレート F3c を得て、それをさらに精製せずに使用する: <sup>1</sup>H-NMR (400 MHz,  $\text{CDCl}_3$ ) = 7.63 (d, J = 8.0 Hz, 1H), 7.12 (d, J = 8.0 Hz, 1H), 6.86 (d, J = 8.8 Hz, 2H), 4.30-4.05 (br. d, 2H), 4.04 (d, J = 6.8 Hz, 2H), 2.79 (t, J = 12.0 Hz, 2H), 2.50 (s, 3H), 2.00 (m, 1H), 1.89 (d, J = 12.8 Hz, 2H), 1.57 (s, 3H), 1.35-1.25 (m, 2H), 0.91-0.87 (m, 2H), 0.66-0.63 (m, 2H); <sup>19</sup>F-NMR (376.5 MHz,  $\text{CDCl}_3$ ) = -127.23; [M+H]<sup>+</sup>  $\text{C}_{23}\text{H}_{26}\text{F}_2\text{IN}_2\text{O}_3$  についての MS 計算値: 543.1, 実測値: 543.2。

## 【0123】

工程 D: 粗中間体 F3c (198 mg、約 0.36 mmol)、 $[\text{Cu(I)OTf}]_2\text{Ph}$  (13.1 mg、0.026 mmol)、およびナトリウムメタンサルフィネート (62 mg、0.61 mmol) を乾燥  $\text{DMSO}$  (5 mL) に溶解する。ジメチルエチレンジアミン (7  $\mu\text{L}$ 、0.064 mmol) を添加し、溶液を 120 で 5 時間加熱する。*rt* に冷却後、混合物を  $\text{H}_2\text{O}$  (30 mL) で希釈し、2回  $\text{EtOAc}$  で抽出する。有機物を乾燥させ ( $\text{MgSO}_4$ )、真空で濃縮し、フラッシュクロマトグラフィー ( $\text{EtOAc}$  / ヘキササン 勾配) で精製して、表題化合物 (実施例 F3) を白色固体として得る: <sup>1</sup>H-NMR (400 MHz,  $\text{CDCl}_3$ ) = 8.00 (d, J = 8.0 Hz, 1H), 7.75 (d, J = 8.0 Hz, 1H), 6.90 (d, J = 8.8 Hz, 2H), 4.30-4.05 (br. d, 2H), 4.07 (d, J = 6.8 Hz, 2H), 3.29 (s, 3H), 2.80 (t, J = 12.0 Hz, 2H), 2.61 (s, 3H), 2.02 (m, 1H), 1.87 (d, J = 12.8 Hz, 2H), 1.58 (s, 3H), 1.38-1.25 (m, 2H), 0.91-0.87 (m, 2H), 0.67-0.63 (m, 2H); <sup>19</sup>F-NMR (376.5 MHz,  $\text{CDCl}_3$ ) = -126.64; [M+H]<sup>+</sup>  $\text{C}_{24}\text{H}_{29}\text{F}_2\text{N}_2\text{O}_5\text{S}$  についての MS 計算値: 495.2, 実測値: 495.1。

## 【0124】

10

20

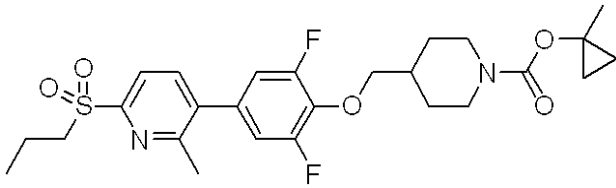
30

40

50

## 実施例 F 4

1 - メチルシクロプロピル 4 - ((2, 6 - ジフルオロ - 4 - (2 - メチル - 6 - (プロピル  
スルホニル)ピリジン - 3 - イル)フェノキシ)メチル)ピペリジン - 1 - カルボキシレート  
【化 1 8】

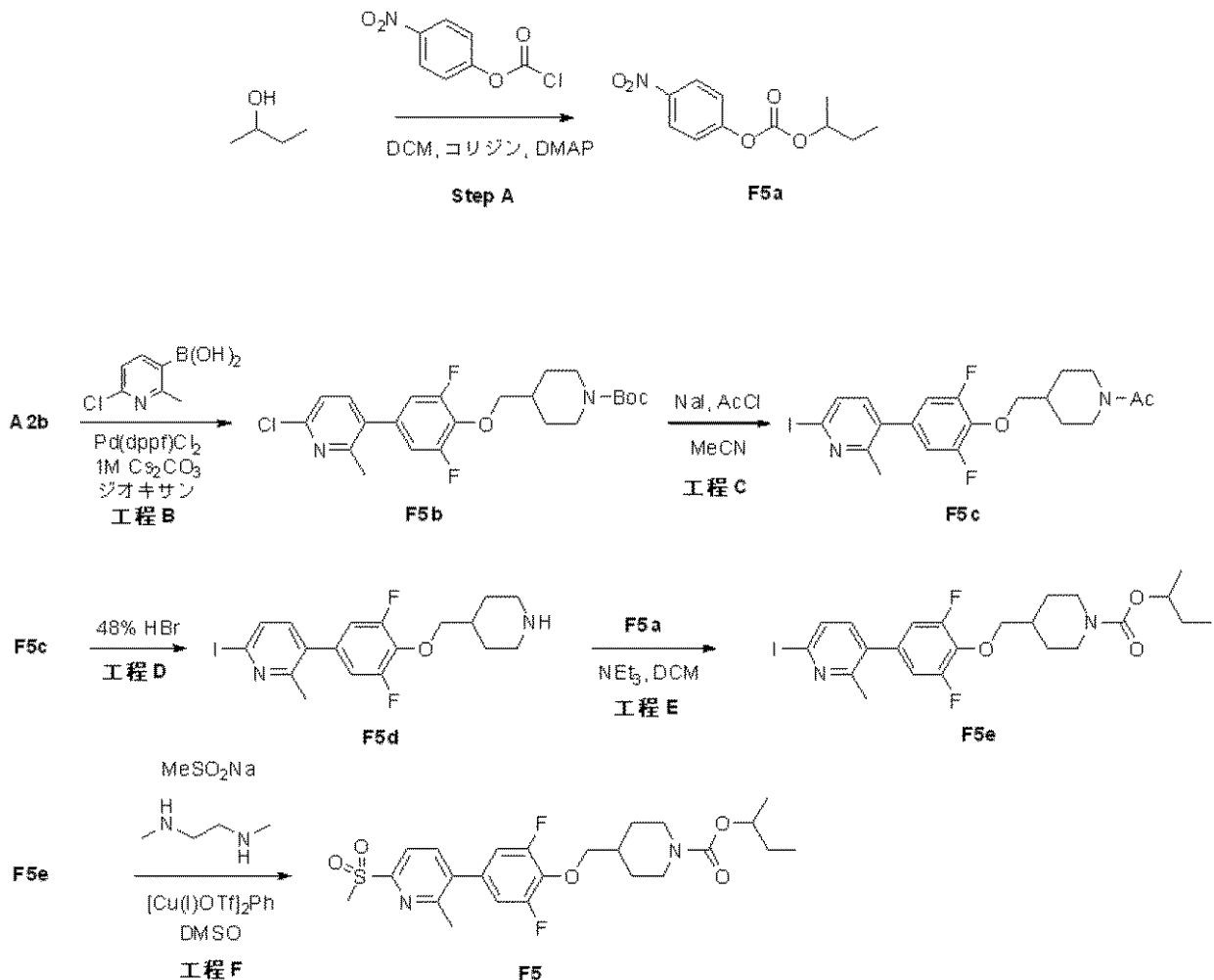


中間体 F 3 c (100 mg、約 0.18 mmol) を、実施例 F 3、工程 D に記載する通り、ナ  
トリウムメタンスルフィネートの代わりにナトリウムプロパン - 1 - スルフィネートを使用  
して処理し、表題化合物(実施例 F 4)を透明油状物として得る：<sup>1</sup>H-NMR (400 MHz, CDC  
l<sub>3</sub>) = 7.97 (d, J = 8.0 Hz, 1H), 7.71 (d, J = 8.0 Hz, 1H), 6.92-6.85 (m, 2H),  
4.30-4.15 (br. d, 2H), 4.04 (d, J = 7.2 Hz, 2H), 3.42-3.39 (m, 2H), 2.81-2.75 (m,  
2H), 2.59 (s, 3H), 2.02-1.97 (m, 1H), 1.89-1.79 (m, 4H), 1.55 (s, 3H), 1.37-1.  
25 (m, 2H), 1.07 (t, J = 7.6 Hz, 3H), 0.88-0.85 (m, 2H), 0.64-0.61 (m, 2H); <sup>19</sup>F-  
NMR (376.5 MHz, CDCl<sub>3</sub>) = -126.69; [M+H]<sup>+</sup> C<sub>26</sub>H<sub>33</sub>F<sub>2</sub>N<sub>2</sub>O<sub>5</sub>S についての MS 計算値: 523  
.2, 実測値: 523.2。

【0125】

## 実施例 F 5

s e c - プチル 4 - ((2, 6 - ジフルオロ - 4 - (2 - メチル - 6 - (メチルスルホニル)ピ  
リジン - 3 - イル)フェノキシ)メチル)ピペリジン - 1 - カルボキシレート  
【化 1 9】



工程 A : イソアミルアルコール (1.0 g、13.5 mmol) の CH<sub>2</sub>Cl<sub>2</sub> (30 ml) 溶液に、

10

20

30

40

50

4 - ニトロフェニルカルボノクロリダート (3.2 g、16.2 mmol)、2,4,6 - コリジン (2.14 ml、16.2 mmol) および触媒量の DMA P を添加する。2 時間攪拌後、1 N HCl を添加し、水性層を CH<sub>2</sub>Cl<sub>2</sub> で抽出し、合わせた有機層を 1 N HCl、塩水で洗浄し、Na<sub>2</sub>SO<sub>4</sub> で乾燥させる。溶媒の蒸発およびフラッシュクロマトグラフィー (120 g SiO<sub>2</sub>、EtOAc / ヘキサン勾配) での精製により、sec - ブチル 4 - ニトロフェニルカーボネート F5a を黄色油状物として得る。<sup>1</sup>H-NMR (400 MHz, CDCl<sub>3</sub>) = 8.27 (d, J = 9.2 Hz, 2H), 7.38 (d, J = 9.2 Hz, 2H), 4.85 (sextet, J = 6.4 Hz, 1H), 1.82-1.62 (m, 2H), 1.37 (d, J = 6.4 Hz, 3H), 1.00 (t, J = 7.2 Hz, 3H); [M+Na]<sup>+</sup> C<sub>11</sub>H<sub>13</sub>NaNO<sub>5</sub> についての MS 計算値: 262.1, 実測値: 262.2。

【0126】

工程 B : マイクロ波バイアルで、中間体 A2b (3.59 g、8.85 mmol)、6 - クロロ - 2 - メチルピリジン - 3 - イルボロン酸 (1.67 g、9.74 mmol)、Pd(dppf)Cl<sub>2</sub> (505 mg、0.619 mmol) の乾燥ジオキサン (30 mL) 中の混合物を 1 M Cs<sub>2</sub>CO<sub>3</sub> (10.6 ml、10.62 mmol) で処理する。バイアルを密閉し、窒素雰囲気下でマイクロ波照射する (120、20 分間)。冷却後、混合物を EtOAc で希釈し、塩水で洗浄し、乾燥させ (Na<sub>2</sub>SO<sub>4</sub>)、真空で濃縮する。フラッシュクロマトグラフィー (EtOAc / ヘキサン勾配) での精製により、tert - ブチル 4 - ((4 - (6 - クロロ - 2 - メチルピリジン - 3 - イル) - 2,6 - ジフルオロフェノキシ)メチル)ピペリジン - 1 - カルボキシレート F5b を白色固体として得る:<sup>1</sup>H-NMR (400 MHz, CDCl<sub>3</sub>) = 7.43 (d, J = 8.0 Hz, 1H), 7.22 (d, J = 8.0 Hz, 1H), 6.88-6.81 (m, 2H), 4.16 (br s, 2H), 4.02 (d, J = 6.4 Hz, 2H), 2.78-2.73 (m, 2H), 2.48 (s, 3H), 2.01-1.95 (m, 1H), 1.87 (d, J = 13.2 Hz, 2H), 1.47 (s, 9H), 1.34-1.24 (m, 2H); [M+H]<sup>+</sup> C<sub>23</sub>H<sub>28</sub>ClF<sub>2</sub>N<sub>2</sub>O<sub>3</sub> についての MS 計算値: 453.2, 実測値: 453.2。

【0127】

工程 C : 中間体 F5b (804 mg、1.79 mmol) の MeCN (30 ml) 溶液に、NaI (1.6 g、10.72 mmol) およびアセチルクロライド (381 μL、5.37 mmol) を添加する。80 で 16 時間攪拌後、反応を 10% 水性 K<sub>2</sub>CO<sub>3</sub> および 10% 水性 NaHSO<sub>3</sub> でクエンチする。水性層を CH<sub>2</sub>Cl<sub>2</sub> で抽出し、有機層を塩水で洗浄し、Na<sub>2</sub>SO<sub>4</sub> で乾燥させる。溶媒の蒸発およびフラッシュクロマトグラフィー (EtOAc / ヘキサン勾配) での精製により、1 - (4 - ((2,6 - ジフルオロ - 4 - (6 - ヨード - 2 - メチルピリジン - 3 - イル)フェノキシ)メチル)ピペリジン - 1 - イル)エタノン F5c を黄色固体として得る; [M+H]<sup>+</sup> C<sub>20</sub>H<sub>22</sub>F<sub>2</sub>IN<sub>2</sub>O<sub>2</sub> についての MS 計算値: 487.1, 実測値: 487.2。

【0128】

工程 D : 中間体 F5c (450 mg、0.926 mmol) の 48% 水性 HBr (20 ml) を 5 時間還流する。溶液を冷却し、水性層を EtOAc で抽出して、全ての有機不純物を除去する。6 M NaOH を次いで塩基性 pH になるまで添加し、生成物を EtOAc で抽出する。合わせた有機層を塩水で洗浄し、Na<sub>2</sub>SO<sub>4</sub> で乾燥させる。溶媒の蒸発により、3 - (3,5 - ジフルオロ - 4 - (ピペリジン - 4 - イルメトキシ)フェニル) - 6 - ヨード - 2 - メチルピリジン F5d を薄黄色油状物として得て、これは時間と共に固化する; <sup>1</sup>H-NMR (400 MHz, CDCl<sub>3</sub>) = 7.61 (d, J = 8.0 Hz, 1H), 7.09 (d, J = 8.0 Hz, 1H), 6.86-6.80 (m, 2H), 4.02 (d, J = 6.8 Hz, 2H), 3.17 (d, J = 12.0 Hz, 2H), 2.72-2.65 (m, 2H), 2.48 (s, 3H), 2.00-1.88 (m, 5H), 1.38-1.28 (m, 2H); [M+H]<sup>+</sup> C<sub>18</sub>H<sub>20</sub>F<sub>2</sub>IN<sub>2</sub>O についての MS 計算値: 445.1, 実測値: 445.2。

【0129】

工程 E : 中間体 F5d (50 mg、0.113 mmol) の CH<sub>2</sub>Cl<sub>2</sub> (2 ml) 溶液に、カルバメート F5a (40 mg、0.169 mmol) および NEt<sub>3</sub> (31 μL、0.226 mmol) を添加する。48 時間攪拌後、溶媒を蒸発させ、残った残留物をフラッシュクロマトグラフィー (12 g SiO<sub>2</sub>、EtOAc / ヘキサン勾配) で精製して、sec - ブチル 4 - ((2,6 - ジフルオロ - 4 - (6 - ヨード - 2 - メチルピリジン - 3 - イル)フェノキシ)メチル)ピペリジン - 1 - カルボキシレート F5e を透明油状物として得る: <sup>1</sup>H-NMR (400 MHz, CDC

10

20

30

40

50

$l_3$ ) = 7.61 (d,  $J = 8.0$  Hz, 1H), 7.09 (d,  $J = 8.0$  Hz, 1H), 6.87-6.80 (m, 2H), 4.79-4.71 (m, 1H), 4.22 (br s, 2H), 4.02 (d,  $J = 6.4$  Hz, 2H), 2.83-2.77 (m, 2H), 2.48 (s, 3H), 2.04-1.94 (m, 1H), 1.87 (d,  $J = 12.8$  Hz, 2H), 1.64-1.50 (m, 2H), 1.30-1.23 (m, 2H), 1.21 (d,  $J = 6.4$  Hz, 3H), 0.911 (t,  $J = 7.2$  Hz, 3H);  $[M+H]^+$   $C_{23}H_{28}F_2IN_2O_3$  についてのMS計算値: 545.1, 実測値: 545.2。

【0130】

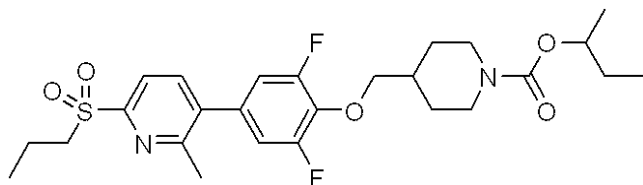
工程 F: 中間体 F 5 e (24 mg、約 0.044 mmol)、 $[Cu(OTf)_2] \cdot Ph$  (2.0 mg、0.0031 mmol) およびナトリウムメタンサルフィネート (9 mg、0.88 mmol) を乾燥 DMSO (2 mL) に溶解する。ジメチルエチレンジアミン (1  $\mu$ L、0.017 mmol) を添加し、溶液を 120 で 2 時間加熱する。23 に冷却後、混合物を水で希釈し、2 回 EtOAc で抽出する。有機物を塩水で洗浄し、 $Na_2SO_4$  で乾燥させ、真空で濃縮し、フラッシュクロマトグラフィー (EtOAc / ヘキサン 勾配) で精製して、表題化合物 (実施例 F 5) を透明油状物として得る:  $^1H$ -NMR (400 MHz,  $CDCl_3$ ) = 7.97 (d,  $J = 8.0$  Hz, 1H), 7.72 (d,  $J = 8.0$  Hz, 1H), 6.92-6.87 (m, 2H), 4.79-4.71 (m, 1H), 4.22 (br s, 2H), 4.05 (d,  $J = 6.4$  Hz, 2H), 3.27 (s, 3H), 2.83-2.77 (m, 2H), 2.59 (s, 3H), 2.04-1.98 (m, 1H), 1.87 (d,  $J = 12.8$  Hz, 2H), 1.65-1.50 (m, 2H), 1.38-1.23 (m, 2H), 1.22 (d,  $J = 6.4$  Hz, 3H), 0.911 (t,  $J = 7.2$  Hz, 3H);  $^{19}F$ -NMR (376.5 MHz,  $CDCl_3$ ) = -126.63;  $[M+H]^+$   $C_{24}H_{31}F_2N_2O_5S$  についてのMS計算値: 497.2, 実測値: 497.2。

【0131】

実施例 F 6

sec - ブチル 4 - ((2, 6 - ジフルオロ - 4 - (2 - メチル - 6 - (プロピルスルホニル)ピリジン - 3 - イル)フェノキシ)メチル)ピペリジン - 1 - カルボキシレート

【化 2 0】



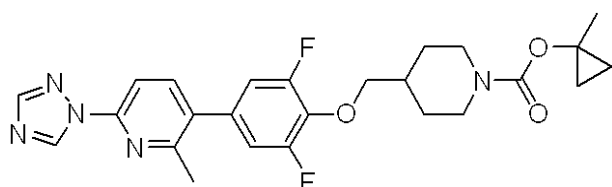
中間体 F 5 e (40 mg、約 0.05 mmol) を実施例 F 5、工程 F に記載の通り、ナトリウムメタンサルフィネートの代わりにナトリウムプロパン - 1 - スルフィネートで処理して、表題化合物 (実施例 F 6) を透明油状物として得る:  $^1H$ -NMR (400 MHz,  $CDCl_3$ ) = 7.96 (d,  $J = 8.0$  Hz, 1H), 7.71 (d,  $J = 8.0$  Hz, 1H), 6.92-6.87 (m, 2H), 4.79-4.71 (m, 1H), 4.22 (br s, 2H), 4.04 (d,  $J = 6.4$  Hz, 2H), 3.42-3.38 (m, 2H), 2.83-2.77 (m, 2H), 2.58 (s, 3H), 2.04-1.98 (m, 1H), 1.90-1.80 (m, 4H), 1.64-1.52 (m, 2H), 1.35-1.25 (m, 2H), 1.22 (d,  $J = 6.4$  Hz, 3H), 1.06 (t,  $J = 7.6$  Hz, 3H), 0.911 (t,  $J = 7.2$  Hz, 3H);  $^{19}F$ -NMR (376.5 MHz,  $CDCl_3$ ) = -126.68;  $[M+H]^+$   $C_{26}H_{35}F_2N_2O_5S$  についてのMS計算値: 525.2, 実測値: 525.2。

【0132】

実施例 F 7

1 - メチルシクロプロピル 4 - ((2, 6 - ジフルオロ - 4 - (2 - メチル - 6 - (1H - 1, 2, 4 - トリアゾール - 1 - イル)ピリジン - 3 - イル)フェノキシ)メチル)ピペリジン - 1 - カルボキシレート

【化 2 1】



中間体 F 3 c (198 mg、約 0.36 mmol) を、実施例 F 1、工程 B に記載の通り処理して、表題化合物 (実施例 F 7) を得る:  $^1H$ -NMR (400 MHz,  $CDCl_3$ ) = 9.20 (s, 1H), 8.1

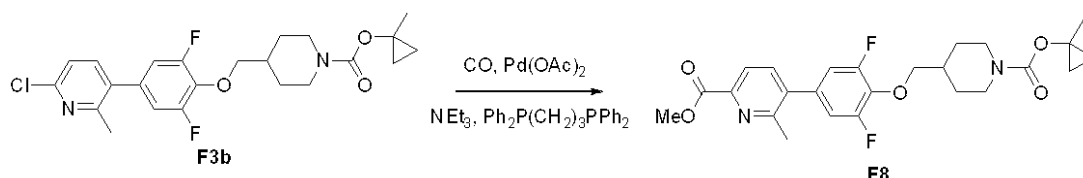
0 (s, 1H), 7.77 (d, J = 8.4 Hz, 1H), 7.66 (d, J = 8.4 Hz, 1H), 6.89 (d, J = 8.8 Hz, 2H), 4.30-4.00 (br. d, 2H), 4.03 (d, J = 6.0 Hz, 2H), 2.77 (t, J = 12.4 Hz, 2H), 2.53 (s, 3H), 2.04-1.94 (m, 1H), 1.90-1.84 (m, 2H), 1.55 (s, 3H), 1.35-1.24 (m, 2H), 0.88-0.85 (m, 2H), 0.64-0.60 (m, 2H);  $^{19}\text{F}$ -NMR (376.5 MHz,  $\text{CDCl}_3$ ) = -127.30;  $[\text{M}+\text{H}]^+$   $\text{C}_{25}\text{H}_{28}\text{F}_2\text{N}_5\text{O}_3$  についてのMS計算値: 484.2, 実測値: 484.2.

【0133】

実施例 F 8

メチル 5 - ( 3 , 5 - ジフルオロ - 4 - ( ( 1 - ( ( 1 - メチルシクロプロポキシ)カルボニル)ピペリジン - 4 - イル)メトキシ)フェニル) - 6 - メチルピコリナート

【化22】



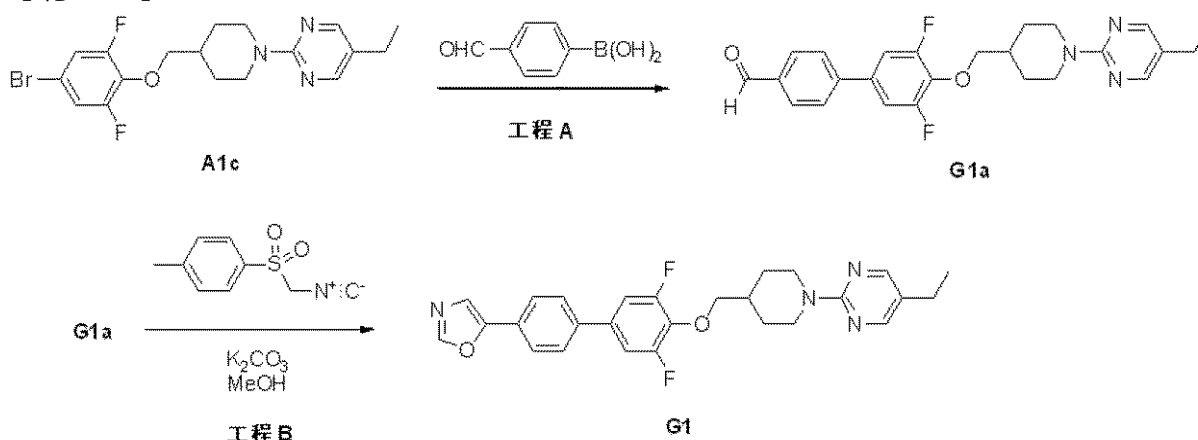
中間体 F 3 b (274 mg、0.61 mmol)、Pd(OAc)<sub>2</sub> (30 mg、0.13 mmol) および Ph<sub>2</sub>P(CH<sub>2</sub>)<sub>3</sub>PPh<sub>2</sub> (55 mg、0.13 mmol) の DMA / MeOH (1 : 1、10 mL) 溶液をアルゴンで脱気する。CO を次いで 15 分間溶液に通気し、フラスコを密閉し、80 で一夜加熱する。混合物を次いでセライトを通して濾過し、MeOH で洗浄し、真空中で濃縮する。粗物質をフラッシュクロマトグラフィー (EtOAc / ヘキサン勾配) で精製して、表題化合物 (実施例 F 8) を白色固体として得る:  $^1\text{H}$ -NMR (400 MHz,  $\text{CDCl}_3$ ) = 8.05 (d, J = 8.0 Hz, 1H), 7.65 (d, J = 8.0 Hz, 1H), 6.92 (d, J = 8.8 Hz, 2H), 4.36-4.05 (m, 4H), 4.05 (s, 3H), 2.80 (t, J = 12.8 Hz, 2H), 2.63 (s, 3H), 2.10-1.95 (m, 1H), 1.92-1.85 (m, 2H), 1.58 (s, 3H), 1.40-1.27 (m, 2H), 0.91-0.88 (m, 2H), 0.67-0.63 (m, 2H);  $^{19}\text{F}$ -NMR (376.5 MHz,  $\text{CDCl}_3$ ) = -127.14;  $[\text{M}+\text{H}]^+$   $\text{C}_{25}\text{H}_{29}\text{F}_2\text{N}_2\text{O}_5$  についてのMS計算値: 475.2, 実測値: 475.2.

【0134】

実施例 G 1

5 - ( 4 ' - ( ( 1 - ( 5 - エチルピリミジン - 2 - イル)ピペリジン - 4 - イル)メトキシ) - 3 ' , 5 ' - ジフルオロピフェニル - 4 - イル)オキサゾール

【化23】



工程 A : 中間体 A 1 c (412 mg、1.0 mmol) を 4 - ホルミルフェニルボロン酸 (165 mg、1.1 mmol) と、実施例 A 3 に記載したのと同じ方法で反応させ、4' - ( ( 1 - ( 5 - エチルピリミジン - 2 - イル)ピペリジン - 4 - イル)メトキシ) - 3' , 5' - ジフルオロピフェニル - 4 - カルボアルデヒド G 1 a を灰白色粉末として得る:  $^1\text{H}$ -NMR (400 MHz,  $\text{CDCl}_3$ ) = 10.06 (s, 1H), 8.17 (s, 2H), 7.95 (d, J = 8.4 Hz, 2H), 7.67 (d, J = 8.4 Hz, 2H), 7.19 (d, J = 9.2 Hz, 2H), 4.77 (d, J = 13.2 Hz, 2H), 4.06 (d, J = 6.4 Hz, 2H), 2.92 (td, J = 12.8, 2.8 Hz, 2H), 2.45 (q, J = 7.6 Hz, 2H), 2.12 (m, 1H)

10

20

30

40

50

, 1.97 (d, J = 13.2 Hz, 2H), 1.36 (qd, J = 12.8, 4.4 Hz, 2H), 1.19 (t, J = 7.6 Hz, 3H);  $^{19}\text{F-NMR}$  (376.5 MHz,  $\text{CDCl}_3$ ) = -127.00;  $[\text{M}+\text{H}]^+$   $\text{C}_{25}\text{H}_{26}\text{F}_2\text{N}_3\text{O}_2$  についてのMS計算値: 438.2, 実測値: 438.2。

【0135】

工程 B: 加圧バイアルで、中間体 G 1 a (55 mg, 0.13 mmol)、p-トルエンスルホンメチルイソシアニド (25 mg, 0.13 mmol)、および炭酸カリウム (50 mg, 0.36 mmol) を乾燥メタノール (1.5 mL) に懸濁する。バイアルを密閉し、懸濁液を 80 で 16 時間加熱し、次いで r t に冷却し、真空で濃縮する。残留物を  $\text{H}_2\text{O}$  (50 mL) に取り込み、3 回  $\text{CH}_2\text{Cl}_2$  で抽出する。合わせた有機物を乾燥させ ( $\text{MgSO}_4$ )、濃縮し、およびフラッシュクロマトグラフィー (EtOAc / ヘキサン勾配) で精製して、表題化合物 (実施例 G 1) を灰白色固体として得る:  $^1\text{H-NMR}$  (400 MHz,  $\text{CDCl}_3$ ) = 8.17 (s, 2H), 7.95 (s, 1H), 7.73 (d, J = 8.4 Hz, 2H), 7.58 (d, J = 8.4 Hz, 2H), 7.41 (s, 1H), 7.16 (d, J = 9.6 Hz, 2H), 4.77 (d, J = 13.2 Hz, 2H), 4.04 (d, J = 6.4 Hz, 2H), 2.93 (td, J = 12.8, 2.8 Hz, 2H), 2.46 (q, J = 7.6 Hz, 2H), 2.11 (m, 1H), 1.97 (d, J = 13.2 Hz, 2H), 1.36 (qd, J = 12.8, 4.4 Hz, 2H), 1.19 (t, J = 7.6 Hz, 3H);  $^{19}\text{F-NMR}$  (376.5 MHz,  $\text{CDCl}_3$ ) = -127.46;  $[\text{M}+\text{H}]^+$   $\text{C}_{27}\text{H}_{27}\text{F}_2\text{N}_4\text{O}_2$  についてのMS計算値: 477.2, 実測値: 477.2。

10

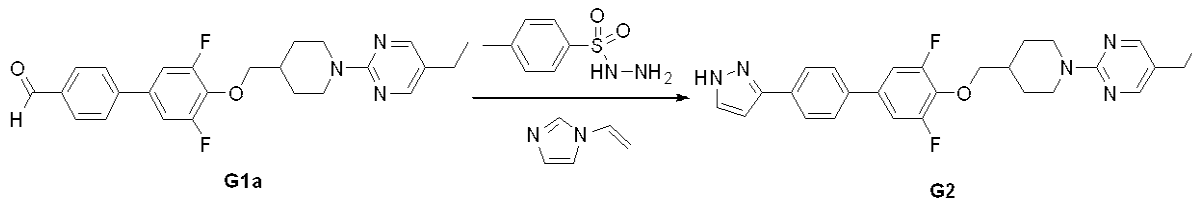
【0136】

実施例 G 2

2 - (4 - ((3, 5 - ジフルオロ - 4' - (1H - ピラゾール - 3 - イル) ピフェニル - 4 - イルオキシ) メチル) ピペリジン - 1 - イル) - 5 - エチルピリミジン

20

【化24】



中間体 G 1 a (55 mg, 0.13 mmol) およびトシルヒドラジン (25 mg, 0.13 mmol) を乾燥アセトニトリル (1 mL) に溶解し、r t で 3 時間攪拌する。5 N NaOH (30  $\mu\text{L}$ , 0.15 mmol) を添加し、混合物をさらに 30 分間、r t で攪拌する。ビニルイミダゾール (60  $\mu\text{L}$ , 0.66 mmol) を添加し、混合物を 50 で 16 時間加熱し、次いで r t に冷却し、真空で濃縮する。残留物を  $\text{CH}_2\text{Cl}_2$  に取り込み、フラッシュクロマトグラフィー ( $\text{CH}_2\text{Cl}_2$  / MeOH 勾配) で精製して、表題化合物 (実施例 G 2) を白色固体として得る:  $^1\text{H-NMR}$  (400 MHz,  $\text{CDCl}_3$ ) = 10.3 (br s, 1H), 8.18 (s, 2H), 7.84 (d, J = 8.4 Hz, 2H), 7.65 (d, J = 2.4 Hz, 1H), 7.57 (d, J = 8.4 Hz, 2H), 7.17 (d, J = 9.2 Hz, 2H), 6.67 (d, J = 2.4 Hz, 1H), 4.77 (d, J = 13.2 Hz, 2H), 4.03 (d, J = 6.4 Hz, 2H), 2.93 (td, J = 12.8, 2.4 Hz, 2H), 2.46 (q, J = 7.6 Hz, 2H), 2.11 (m, 1H), 1.97 (d, J = 13.2 Hz, 2H), 1.36 (qd, J = 12.8, 4.0 Hz, 2H), 1.19 (t, J = 7.6 Hz, 3H);  $^{19}\text{F-NMR}$  (376.5 MHz,  $\text{CDCl}_3$ ) = -127.74;  $[\text{M}+\text{H}]^+$   $\text{C}_{27}\text{H}_{28}\text{F}_2\text{N}_5\text{O}$  についてのMS計算値: 476.2, 実測値: 476.2。

30

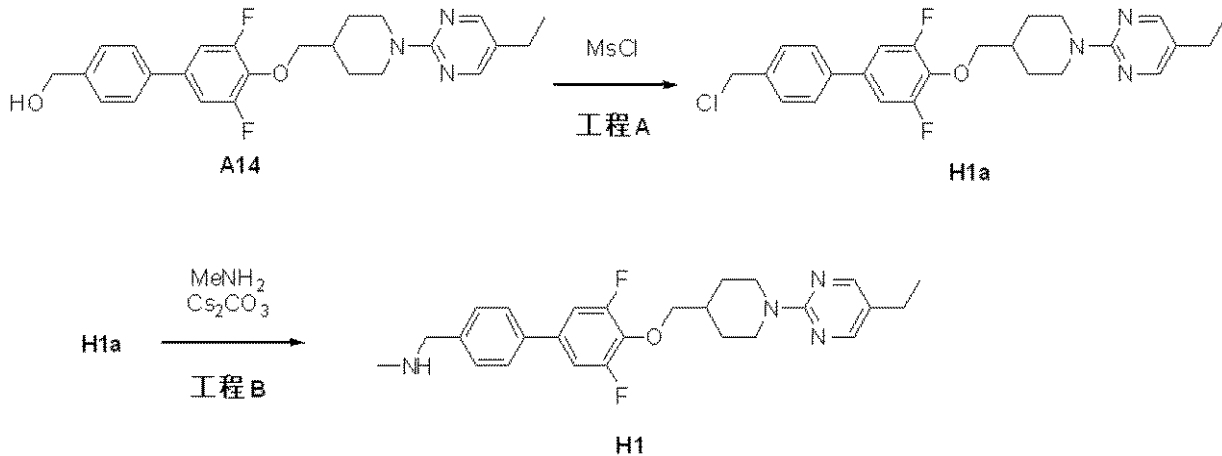
40

【0137】

実施例 H 1

1 - (4' - ((1 - (5 - エチルピリミジン - 2 - イル) ピペリジン - 4 - イル) メトキシ) - 3', 5' - ジフルオロピフェニル - 4 - イル) - N - メチルメタンアミン

## 【化 2 5】



10

工程 A : 実施例 A 1 4 ( 1 5 3 mg、 0 . 3 5 mmol ) を乾燥  $\text{CH}_2\text{Cl}_2$  ( 1 5 mL ) に溶解し、 $\text{NEt}_3$  ( 0 . 5 mL ) およびメタンスルホニルクロライド ( 0 . 2 mL、 2 . 5 mmol ) で処理する。混合物を *rt* で一夜攪拌する。混合物を  $\text{H}_2\text{O}$  ( 4 0 mL ) および塩水 ( 1 0 mL ) で洗浄し、乾燥させ (  $\text{MgSO}_4$  )、真空で濃縮して、粗 2 - ( 4 - ( ( 4 ' - ( クロロメチル ) - 3 , 5 - ジフルオロピフェニル - 4 - イルオキシ ) メチル ) ピペリジン - 1 - イル ) - 5 - エチルピリミジン H 1 a を灰白色固体として得て、それをさらに精製せずに次工程に使用する :  $^1\text{H}$ -NMR ( 400 MHz,  $\text{CDCl}_3$  ) = 8.17 ( s, 2H ), 7.50 ( d, J = 8.4 Hz, 2H ), 7.46 ( d, J = 8.4 Hz, 2H ), 7.12 ( d, J = 9.6 Hz, 2H ), 4.77 ( d, J = 13.2 Hz, 2H ), 4.62 ( s, 2H ), 4.03 ( d, J = 6.4 Hz, 2H ), 2.93 ( td, J = 12.8, 2.4 Hz, 2H ), 2.46 ( q, J = 7.6 Hz, 2H ), 2.11 ( m, 1H ), 1.97 ( d, J = 13.2 Hz, 2H ), 1.35 ( qd, J = 12.8, 4.0 Hz, 2H ), 1.19 ( t, J = 7.6 Hz, 3H );  $^{19}\text{F}$ -NMR ( 376.5 MHz,  $\text{CDCl}_3$  ) = -127.60;  $[\text{M}+\text{H}]^+$   $\text{C}_{25}\text{H}_{27}\text{ClF}_2\text{N}_3\text{O}$  についての MS 計算値 : 458.2, 実測値 : 458.2。

20

## 【 0 1 3 8】

工程 B : 加圧バイアル中、中間体 H 1 a ( 2 0 mg、 0 . 0 4 mmol )、メチルアミンヒドロクロライド ( 6 mg、 0 . 0 8 mmol ) および炭酸セシウム ( 1 0 0 mg、 0 . 3 mmol ) を乾燥  $\text{CH}_3\text{CN}$  ( 3 mL ) に懸濁する。バイアルを密閉し、混合物を 8 0 ° で 5 時間加熱し、*rt* に冷却し、濾過する。残留物を  $\text{CH}_2\text{Cl}_2$  に取り込み、0.2  $\mu\text{m}$  シリンジフィルターを通して濾過し、フラッシュクロマトグラフィー (  $\text{CH}_2\text{Cl}_2$  /  $\text{MeOH}$  勾配 ) で精製して、表題化合物 ( 実施例 H 1 ) を白色固体として得る :  $^1\text{H}$ -NMR ( 400 MHz,  $\text{CDCl}_3$  ) = 8.17 ( s, 2H ), 7.47 ( d, J = 8.4 Hz, 2H ), 7.40 ( d, J = 8.4 Hz, 2H ), 7.11 ( d, J = 9.6 Hz, 2H ), 4.77 ( d, J = 13.2 Hz, 2H ), 4.02 ( d, J = 6.4 Hz, 2H ), 3.81 ( s, 2H ), 2.92 ( td, J = 12.8, 2.4 Hz, 2H ), 2.48 ( s, 3H ), 2.45 ( q, J = 7.6 Hz, 2H ), 2.10 ( m, 1H ), 1.97 ( d, J = 13.2 Hz, 2H ), 1.35 ( qd, J = 12.8, 4.0 Hz, 2H ), 1.18 ( t, J = 7.6 Hz, 3H );  $^{19}\text{F}$ -NMR ( 376.5 MHz,  $\text{CDCl}_3$  ) = -127.86;  $[\text{M}+\text{H}]^+$   $\text{C}_{26}\text{H}_{31}\text{F}_2\text{N}_4\text{O}$  についての MS 計算値 : 453.2, 実測値 : 453.3。

30

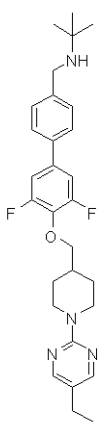
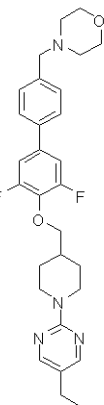
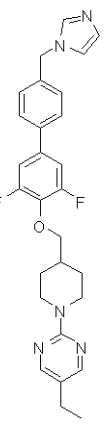
## 【 0 1 3 9】

上記実施例 H 1 に記載する方法を、適当な出発物質を使用して繰り返して、以下の表 4 に同定する式 I の化合物が得られる :

40

【表 18】

表 4

実施例番号	構造	NMR および/または ESMS
H2		<sup>1</sup> H-NMR (400 MHz, CDCl <sub>3</sub> ) δ = 8.17 (s, 2H), 7.45 (d, <i>J</i> = 8.4 Hz, 2H), 7.41 (d, <i>J</i> = 8.4 Hz, 2H), 7.10 (d, <i>J</i> = 9.6 Hz, 2H), 4.76 (d, <i>J</i> = 13.2 Hz, 2H), 4.02 (d, <i>J</i> = 6.4 Hz, 2H), 3.76 (s, 2H), 2.92 (td, <i>J</i> = 12.8, 2.4 Hz, 2H), 2.46 (q, <i>J</i> = 7.6 Hz, 2H), 2.10 (m, 1H), 1.97 (d, <i>J</i> = 13.2 Hz, 2H), 1.35 (qd, <i>J</i> = 12.8, 4.0 Hz, 2H), 1.19 (s, 9H), 1.18 (t, <i>J</i> = 7.6 Hz, 3H); <sup>19</sup> F-NMR (376.5 MHz, CDCl <sub>3</sub> ) δ = -127.95; [M+H] <sup>+</sup> C <sub>29</sub> H <sub>37</sub> F <sub>2</sub> N <sub>4</sub> O についての MS 計算値: 495.3, 実測値: 495.4.
H3		<sup>1</sup> H-NMR (400 MHz, CDCl <sub>3</sub> ) δ = 8.17 (s, 2H), 7.46 (d, <i>J</i> = 8.0 Hz, 2H), 7.39 (d, <i>J</i> = 8.0 Hz, 2H), 7.11 (d, <i>J</i> = 9.6 Hz, 2H), 4.77 (d, <i>J</i> = 13.2 Hz, 2H), 4.02 (d, <i>J</i> = 6.4 Hz, 2H), 3.72 (dd, <i>J</i> = 5.6, 4.4 Hz, 4H), 5.53 (s, 2H), 2.92 (td, <i>J</i> = 12.8, 2.4 Hz, 2H), 2.46 (m, 6H), 2.11 (m, 1H), 1.97 (d, <i>J</i> = 13.2 Hz, 2H), 1.35 (qd, <i>J</i> = 12.8, 4.0 Hz, 2H), 1.18 (t, <i>J</i> = 7.6 Hz, 3H); <sup>19</sup> F-NMR (376.5 MHz, CDCl <sub>3</sub> ) δ = -127.87; [M+H] <sup>+</sup> C <sub>29</sub> H <sub>35</sub> F <sub>2</sub> N <sub>4</sub> O <sub>2</sub> についての MS 計算値: 509.3, 実測値: 509.3.
H4		<sup>1</sup> H-NMR (400 MHz, CDCl <sub>3</sub> ) δ = 8.17 (s, 2H), 7.57 (s, 1H), 7.48 (d, <i>J</i> = 8.4 Hz, 2H), 7.21 (d, <i>J</i> = 8.4 Hz, 2H), 7.11 (s, 1H), 7.09 (d, <i>J</i> = 9.6 Hz, 2H), 6.92 (s, 1H), 5.16 (s, 2H), 4.76 (d, <i>J</i> = 13.2 Hz, 2H), 4.02 (d, <i>J</i> = 6.4 Hz, 2H), 2.92 (td, <i>J</i> = 12.8, 2.8 Hz, 2H), 2.45 (q, <i>J</i> = 7.6 Hz, 2H), 2.10 (m, 1H), 1.96 (d, <i>J</i> = 13.2 Hz, 2H), 1.35 (qd, <i>J</i> = 12.8, 4.0 Hz, 2H), 1.18 (t, <i>J</i> = 7.6 Hz, 3H); <sup>19</sup> F-NMR (376.5 MHz, CDCl <sub>3</sub> ) δ = -127.50; [M+H] <sup>+</sup> C <sub>28</sub> H <sub>30</sub> F <sub>2</sub> N <sub>5</sub> O についての MS 計算値: 490.2, 実測値: 490.3.

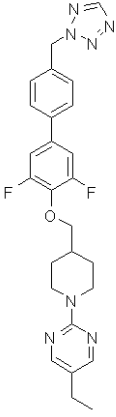
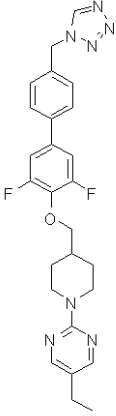
10

20

30

40

【表 19】

<p style="text-align: center;"><b>H5</b></p>		$^1\text{H-NMR}$ (400 MHz, $\text{CDCl}_3$ ) $\delta$ = 8.53 (s, 1H), 8.17 (s, 2H), 7.51 (d, $J$ = 8.4 Hz, 2H), 7.44 (d, $J$ = 8.4 Hz, 2H), 7.09 (d, $J$ = 9.2 Hz, 2H), 5.84 (s, 2H), 4.76 (d, $J$ = 13.2 Hz, 2H), 4.02 (d, $J$ = 6.4 Hz, 2H), 2.92 (td, $J$ = 12.8, 2.4 Hz, 2H), 2.45 (q, $J$ = 7.6 Hz, 2H), 2.10 (m, 1H), 1.96 (d, $J$ = 13.2 Hz, 2H), 1.35 (qd, $J$ = 12.8, 4.4 Hz, 2H), 1.18 (t, $J$ = 7.6 Hz, 3H); $^{19}\text{F-NMR}$ (376.5 MHz, $\text{CDCl}_3$ ) $\delta$ = -127.43; $[\text{M}+\text{H}]^+$ $\text{C}_{26}\text{H}_{28}\text{F}_2\text{N}_7\text{O}$ についての MS 計算値: 492.2, 実測値: 492.3.
<p style="text-align: center;"><b>H6</b></p>		$^1\text{H-NMR}$ (400 MHz, $\text{CDCl}_3$ ) $\delta$ = 8.55 (s, 1H), 8.17 (s, 2H), 7.54 (d, $J$ = 8.4 Hz, 2H), 7.37 (d, $J$ = 8.4 Hz, 2H), 7.10 (d, $J$ = 9.2 Hz, 2H), 5.63 (s, 2H), 4.77 (d, $J$ = 13.2 Hz, 2H), 4.03 (d, $J$ = 6.4 Hz, 2H), 2.92 (td, $J$ = 12.8, 2.4 Hz, 2H), 2.46 (q, $J$ = 7.6 Hz, 2H), 2.10 (m, 1H), 1.96 (d, $J$ = 13.2 Hz, 2H), 1.35 (qd, $J$ = 12.8, 4.0 Hz, 2H), 1.18 (t, $J$ = 7.6 Hz, 3H); $^{19}\text{F-NMR}$ (376.5 MHz, $\text{CDCl}_3$ ) $\delta$ = -127.24; $[\text{M}+\text{H}]^+$ $\text{C}_{26}\text{H}_{28}\text{F}_2\text{N}_7\text{O}$ についての MS 計算値: 492.2, 実測値: 492.3.

10

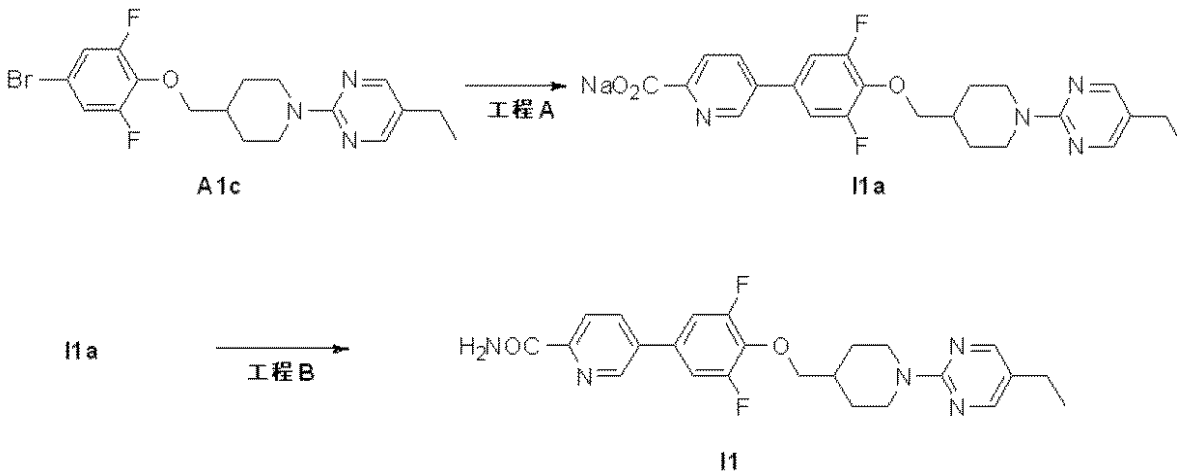
20

## 【0140】

## 実施例 I 1

5 - ( 4 - ( ( 1 - ( 5 - エチルピリミジン - 2 - イル ) ピペリジン - 4 - イル ) メトキシ ) - 3, 5 - ジフルオロフェニル ) ピコリンアミド

## 【化 26】



40

工程 A : Smith-Process バイアルに中間体 A 1 c ( 2 0 6 mg、 0 . 5 mmol )、メチル 5 - ( 4 , 4 , 5 , 5 - テトラメチル - 1 , 3 , 2 - ジオキサボロラン - 2 - イル ) ピコリナート ( 1 5 8 mg、 0 . 6 mmol )、ジクロロ [ 1 , 1 ' - ビス ( ジフェニルホスフィノ ) フェロセン ] パラジウム ( II ) ( 1 8 mg、 5 mol % )、および乾燥ジオキサソ ( 2 . 5 mL ) を入れる。この溶液に 1 M

50

水性  $\text{Cs}_2\text{CO}_3$  (1.7 mL、1.7 mmol) を添加し、二相混合物をマイクロ波照射する (130 °C、30 分間)。塩水 (30 mL) を添加し、沈殿を濾過し、 $\text{H}_2\text{O}$  (2 × 1 mL)、 $\text{Et}_2\text{O}$  (3 × 10 mL) で洗浄し、真空で乾燥させて、5 - (4 - ((1 - (5 - エチルピリミジン - 2 - イル) ピペリジン - 4 - イル) メトキシ) - 3, 5 - ジフルオロフェニル) ピコリン酸ナトリウム塩 I 1 a を褐色固体として得る。粗化合物をさらに精製せずに次工程に使用する :  $[\text{M}+\text{H}]^+ \text{C}_{24}\text{H}_{25}\text{F}_2\text{N}_4\text{O}_3$  についての MS 計算値 : 455.2, 実測値 : 455.2。

【0141】

工程 B : 中間体 I 1 a (71 mg、0.12 mmol) の THF (10 mL) 溶液を 0 °C に冷却する。塩化オキサリル (0.30 mL、3.4 mmol)、続いて 1 滴の DMF (25  $\mu\text{L}$ ) を添加する。得られた溶液を r.t. で 1.5 時間攪拌し、次いで THF (2 × 10 mL) と共沸蒸留する。残留物を THF (3 mL) に溶解し、水性水酸化アンモニウム溶液 (28%、1.5 mL) で処理する。反応混合物を r.t. で 1 時間攪拌する。 $\text{H}_2\text{O}$  (20 mL) を添加し、生成物を  $\text{EtOAc}$  (3 × 10 mL) で抽出する。有機層を  $\text{H}_2\text{O}$  (10 mL) で洗浄し、乾燥させ ( $\text{Na}_2\text{SO}_4$ )、真空で濃縮する。フラッシュクロマトグラフィー ( $\text{EtOAc}$  / ヘキサン 勾配) での精製により、実施例 I 1 を灰白色固体として得る :  $^1\text{H-NMR}$  (400 MHz,  $\text{DMSO-d}_6$ )  $\delta$  = 8.97 (dd,  $J$  = 2.4, 0.8 Hz, 1H), 8.31 (dd,  $J$  = 8.4, 2.4 Hz, 1H), 8.23 (s, 2H), 8.16 (bs, 1H), 8.08 (dd,  $J$  = 8.4, 0.8 Hz, 1H), 7.72 (m, 3H), 4.66 (m, 2H), 4.06 (d,  $J$  = 6.4 Hz, 2H), 2.88 (m, 2H), 2.42 (q,  $J$  = 7.6 Hz, 2H), 2.04 (m, 1H), 1.84 (m, 2H), 1.23 (m, 2H), 1.12 (t,  $J$  = 7.6 Hz, 3H);  $[\text{M}+\text{H}]^+ \text{C}_{24}\text{H}_{26}\text{F}_2\text{N}_5\text{O}_2$  についての MS 計算値 : 454.2, 実測値 : 454.2。

10

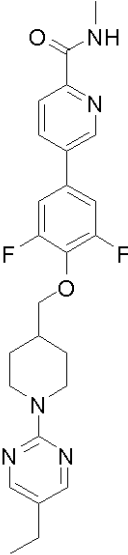
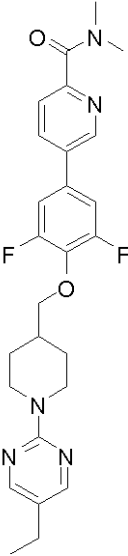
20

【0142】

上記実施例 I 1 に記載する方法を、適当な出発物質を使用して繰り返して、以下の表 5 に同定する式 I の化合物が得られる :

【表 20】

表 5

実施例番号	構造	NMR および/または ESMS
I2		$^1\text{H-NMR}$ (400 MHz, DMSO- $d_6$ ) $\delta$ = 8.97 (dd, $J$ = 2.4, 0.8 Hz, 1H), 8.82 (q, $J$ = 4.8 Hz, 1H), 8.31 (dd, $J$ = 8.4, 2.4 Hz, 1H), 8.23 (s, 2H), 8.07 (dd, $J$ = 8.4, 0.8 Hz, 1H), 7.73 (m, 2H), 4.66 (m, 2H), 4.05 (d, $J$ = 6.4 Hz, 2H), 2.88 (m, 2H), 2.83 (d, $J$ = 4.8 Hz, 3H), 2.42 (q, $J$ = 7.6 Hz, 2H), 2.04 (m, 1H), 1.83 (m, 2H), 1.24 (m, 2H), 1.12 (t, $J$ = 7.6 Hz, 3H); $[\text{M}+\text{H}]^+$ $\text{C}_{25}\text{H}_{28}\text{F}_2\text{N}_5\text{O}_2$ についての MS 計算値: 468.2, 実測値: 468.2.
I3		$^1\text{H-NMR}$ (400 MHz, DMSO- $d_6$ ) $\delta$ = 8.94 (dd, $J$ = 2.4, 0.8 Hz, 1H), 8.24 (m, 3H), 7.69 (m, 2H), 7.63 (dd, $J$ = 8.4, 0.8 Hz, 1H), 4.66 (m, 2H), 4.05 (d, $J$ = 6.4 Hz, 2H), 3.02 (s, 3H), 2.98 (s, 3H), 2.88 (m, 2H), 2.42 (q, $J$ = 7.6 Hz, 2H), 2.04 (m, 1H), 1.84 (m, 2H), 1.24 (m, 2H), 1.12 (t, $J$ = 7.6 Hz, 3H); $[\text{M}+\text{H}]^+$ $\text{C}_{26}\text{H}_{30}\text{F}_2\text{N}_5\text{O}_2$ についての MS 計算値: 482.2, 実測値: 482.2.

10

20

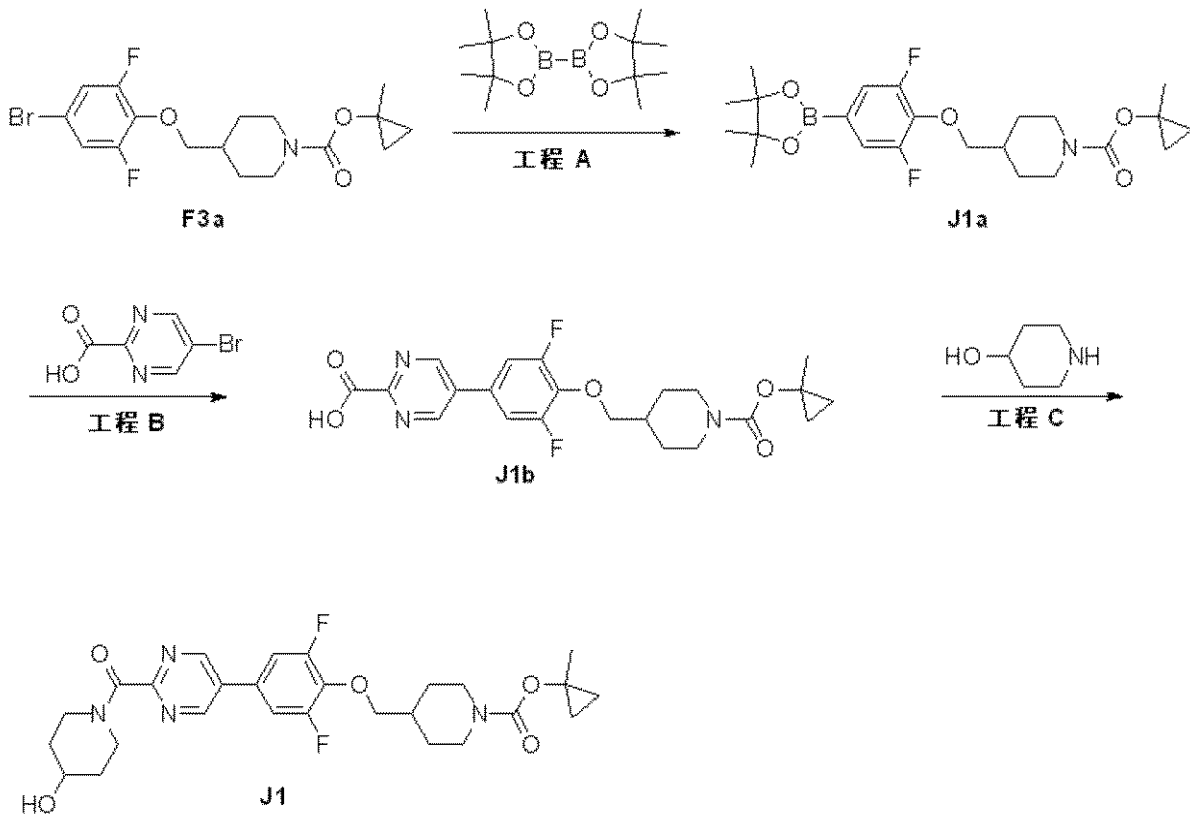
30

【0143】

実施例 J 1

1 - メチルシクロプロピル 4 - ((2, 6 - ジフルオロ - 4 - (2 - (ピペラジン - 1 - カルボニル)ピリミジン - 5 - イル)フェノキシ)メチル)ピペリジン - 1 - カルボキシレート

## 【化 2 7】



10

20

工程 A : ボロン酸エステル J 1 a を、中間体 F 3 a から、実施例 A 1、工程 D に記載する方法を使用して、白色固体として得る： $^1\text{H-NMR}$  (400 MHz,  $\text{CDCl}_3$ )  $\delta$  = 7.27 (m, 2H), 4.01 (d,  $J$  = 6.4 Hz, 2H), 3.91 (m, 2H), 2.73 (m, 2H), 1.88 (m, 1H), 1.46 (s, 3H), 1.28 (s, 12H), 1.14 (m, 2H), 0.75 (m, 2H), 0.59 (m, 2H);  $[\text{M}+\text{H}]^+$   $\text{C}_{23}\text{H}_{33}\text{BF}_2\text{NO}_5$  についての MS 計算値: 452.2, 実測値: 452.3。

## 【 0 1 4 4】

工程 B : バイアルに中間体 J 1 a (677 mg、1.5 mmol)、5 - プロモピリミジン - 2 - カルボン酸 (335 mg、1.1 mmol)、ジクロロ[1,1'-ビス(ジフェニルホスフィノ)フェロセン]パラジウム(II) (110 mg、0.15 mmol)、ジオキサン (3.4 mL) および DMF (3.4 mL) を入れる。この溶液に 1 M 水性  $\text{Cs}_2\text{CO}_3$  (4.95 mL、4.95 mmol) を添加し、二相混合物をマイクロ波照射する (120、30 分間)。混合物を  $\text{H}_2\text{O}$  (100 mL) で希釈し、EtOAc (2 x 50 mL) で抽出する。水性相を 1 N HCl (11 mL) で酸性化し、EtOAc (3 x 50 mL) で抽出する。合わせた有機相を塩水 (40 mL) で洗浄し、 $\text{Na}_2\text{SO}_4$  で乾燥させて、粗 5 - (3,5 - ジフルオロ - 4 - ((1 - ((1 - メチルシクロプロポキシ)カルボニル)ピペリジン - 4 - イル)メトキシ)フェニル)ピリミジン - 2 - カルボン酸 J 1 b を得る： $[\text{M}+\text{H}]^+$   $\text{C}_{22}\text{H}_{24}\text{F}_2\text{N}_3\text{O}_5$  についての MS 計算値: 448.2, 実測値: 448.2。

30

40

## 【 0 1 4 5】

工程 E : 中間体 J 1 b (313 mg、0.7 mmol) の THF (5 mL) 溶液を HATU (380 mg、1 mmol) の DMF (4 mL) で処理し、20 分間、rt で攪拌する。ピペリジン - 4 - オール (150 mg、1.5 mmol)、続いて DIEA (261  $\mu\text{L}$ 、1.5 mmol) を添加し、一夜、rt で攪拌する。 $\text{H}_2\text{O}$  (100 mL) を添加し、生成物を EtOAc で抽出する (3 x 50 mL)。有機層を  $\text{H}_2\text{O}$  (30 mL) で洗浄し、乾燥させ ( $\text{Na}_2\text{SO}_4$ )、真空で濃縮する。フラッシュクロマトグラフィー (MeOH /  $\text{CH}_2\text{Cl}_2$  勾配) による精製および EtOAc - ヘキサンからの再結晶により、実施例 J 1 を白色固体として得る： $^1\text{H-NMR}$  (400 MHz,  $\text{CDCl}_3$ )  $\delta$  = 8.93 (s, 2H), 7.15 (m, 2H), 4.00-4.30 (m, 6H), 3.59 (m, 2H), 3.21 (ddd,  $J$  = 13.6, 8.4, 3.6 Hz, 1H), 2.77 (t,  $J$  = 12.4 Hz, 2H), 1.82-2.08 (m, 5H), 1.57-1.75 (m, 2H), 1.50 (d,  $J$  = 4.0 Hz, 1H), 1.55 (s, 3H), 1.26 (m, 2H), 0.87 (m, 2H), 0.63

50

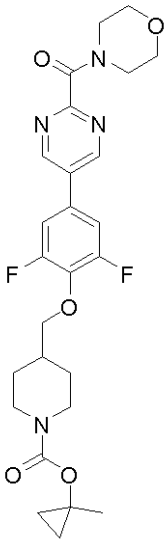
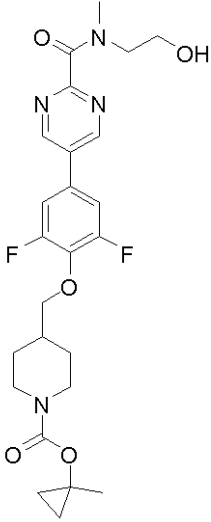
(m, 2H); [M+H]<sup>+</sup> C<sub>27</sub>H<sub>33</sub>F<sub>2</sub>N<sub>4</sub>O<sub>5</sub> についてのMS計算値: 531.2, 実測値: 531.2。

【 0 1 4 6 】

上記実施例 J 1 に記載する方法を、適当な出発物質を使用して繰り返して、以下の表 6 に同定する式 I の化合物が得られる:

【表 2 1】

表 6

実施例番号	構造	NMR および / または ESMS
<b>J2</b>		$^1\text{H-NMR}$ (400 MHz, DMSO- $d_6$ ) $\delta$ = 9.25 (s, 2H), 7.80 (m, 2H), 4.05 (d, $J$ = 6.4 Hz, 2H), 3.93 (m, 2H), 3.03 (s, 3H), 2.82 (s, 3H), 2.75 (m, 2H), 1.92 (m, 1H), 1.76 (m, 2H), 1.46 (s, 3H), 1.16 (m, 2H), 0.76 (m, 2H), 0.60 (m, 2H); $[\text{M}+\text{H}]^+$ $\text{C}_{24}\text{H}_{29}\text{F}_2\text{N}_4\text{O}_4$ についての MS 計算値: 475.2, 実測値: 475.2.
<b>J3</b>		$^1\text{H-NMR}$ (400 MHz, DMSO- $d_6$ ) $\delta$ = 9.26 (s, 2H), 7.80 (m, 2H), 4.05 (d, $J$ = 6.4 Hz, 2H), 3.93 (m, 2H), 3.68 (s, 4H), 3.54 (m, 2H), 3.23 (m, 2H), 2.75 (m, 2H), 1.92 (m, 1H), 1.76 (m, 2H), 1.46 (s, 3H), 1.16 (m, 2H), 0.76 (m, 2H), 0.60 (m, 2H); $[\text{M}+\text{H}]^+$ $\text{C}_{26}\text{H}_{31}\text{F}_2\text{N}_4\text{O}_5$ についての MS 計算値: 517.2, 実測値: 517.2.
<b>J4</b>		$^1\text{H-NMR}$ (400 MHz, DMSO- $d_6$ ) $\delta$ = 9.252 および 9.247 (s, 2H), 7.81 (m, 2H), 4.86 (t, $J$ = 5.2 Hz, 0.43 H), 4.70 (t, $J$ = 5.4 Hz, 0.57 H), 4.05 (d, $J$ = 6.4 Hz, 2H), 3.94 (m, 2H), 3.64 (m, 0.86 H), 3.54 (t, $J$ = 5.6 Hz, 0.86H), 3.47 (m, 1.14 H), 3.21 (t, $J$ = 6.0 Hz, 1.14 H), 3.06 (s, 1.71H), 2.86 (s, 1.29H), 2.76 (m, 2H), 1.92 (m, 1H), 1.76 (m, 2H), 1.46 (s, 3H), 1.16 (m, 2H), 0.76 (m, 2H), 0.60 (m, 2H); $[\text{M}+\text{H}]^+$ $\text{C}_{25}\text{H}_{31}\text{F}_2\text{N}_4\text{O}_5$ についての MS 計算値: 505.2, 実測値: 505.2.

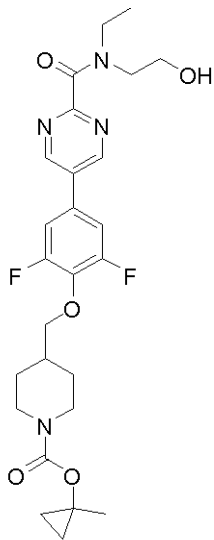
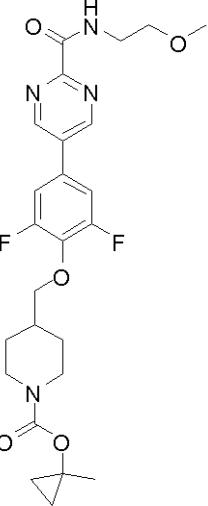
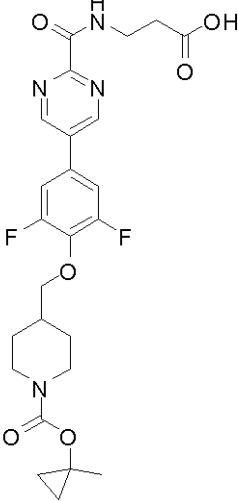
10

20

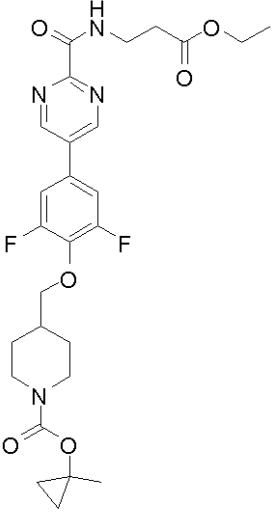
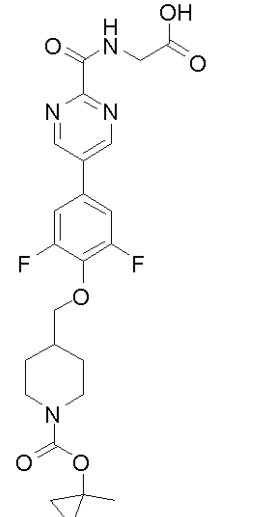
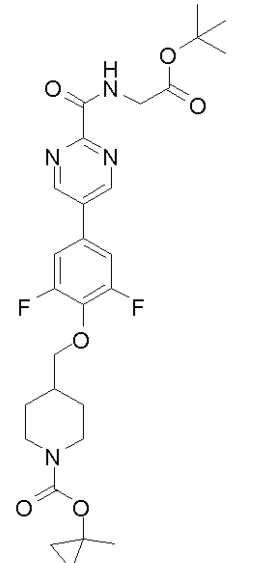
30

40

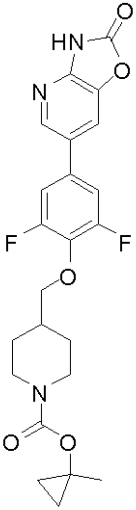
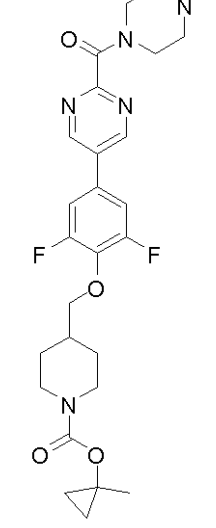
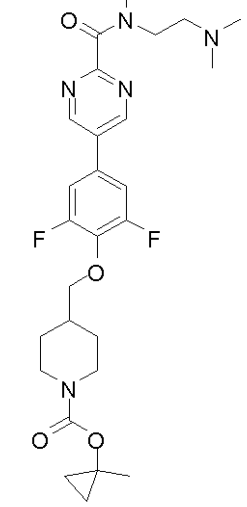
【表 2 2】

<p><b>J5</b></p>		<p><sup>1</sup>H-NMR (400 MHz, CDCl<sub>3</sub>, 回転異性体, 最初に最大のピークを報告) δ = 8.95 および 8.94 (s, 2H), 7.16 (m, 2H), 4.00-4.32 (m, 4H), 3.83 および 3.97 (m, 2H), 3.48 および 3.75 (t, <i>J</i> = 5.2 Hz, 2H), 3.35 および 3.67 (q, <i>J</i> = 7.2 Hz, 2H), 2.76 (m, 2H), 1.98 (m, 1H), 1.85 (m, 2H), 1.55 (s, 3H), 1.28 (m, 6H), 0.86 (m, 2H), 0.62 (m, 2H); [M+H]<sup>+</sup> C<sub>26</sub>H<sub>33</sub>F<sub>2</sub>N<sub>4</sub>O<sub>5</sub> についての MS 計算値: 519.2, 実測値: 519.2.</p>	<p>10</p>
<p><b>J6</b></p>		<p><sup>1</sup>H-NMR (400 MHz, DMSO-d<sub>6</sub>) δ = 9.31 (s, 2H), 8.87 (m, 1H), 7.85 (m, 2H), 4.06 (d, <i>J</i> = 6.4 Hz, 2H), 3.94 (m, 2H), 3.49 (m, 4H), 3.28 (s, 3H), 2.76 (m, 2H), 1.92 (m, 1H), 1.76 (m, 2H), 1.46 (s, 3H), 1.16 (m, 2H), 0.76 (m, 2H), 0.60 (m, 2H); [M+H]<sup>+</sup> C<sub>25</sub>H<sub>31</sub>F<sub>2</sub>N<sub>4</sub>O<sub>5</sub> についての MS 計算値: 505.2, 実測値: 505.2.</p>	<p>20</p>
<p><b>J7</b></p>		<p><sup>1</sup>H-NMR (400 MHz, DMSO-d<sub>6</sub>) δ = 12.31 (s, 1H), 9.31 (s, 2H), 8.96 (t, <i>J</i> = 5.8 Hz, 1H), 7.84 (m, 2H), 4.05 (d, <i>J</i> = 6.4 Hz, 2H), 3.94 (m, 2H), 3.52 (m, 2H), 2.75 (m, 2H), 2.55 (t, <i>J</i> = 7.2 Hz, 2H), 1.91 (m, 1H), 1.75 (m, 2H), 1.46 (s, 3H), 1.16 (m, 2H), 0.76 (m, 2H), 0.60 (m, 2H); [M+H]<sup>+</sup> C<sub>25</sub>H<sub>29</sub>F<sub>2</sub>N<sub>4</sub>O<sub>6</sub> についての MS 計算値: 519.2, 実測値: 519.2.</p>	<p>40</p>

【表 2 3】

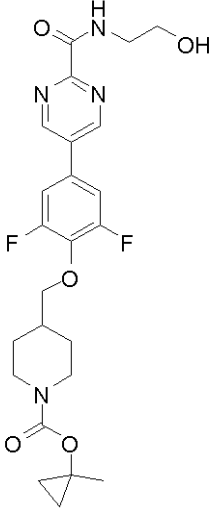
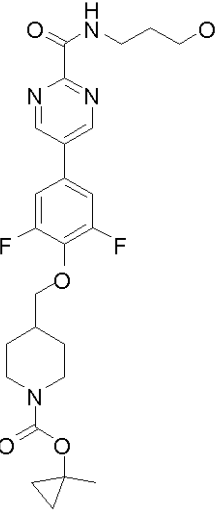
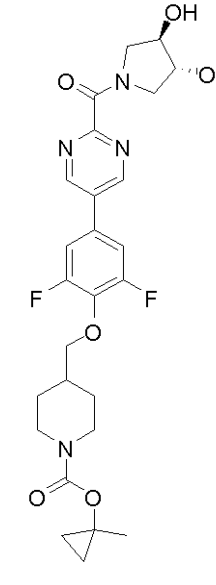
<p><b>J8</b></p>		<p><math>^1\text{H-NMR}</math> (400 MHz, DMSO-<math>d_6</math>) <math>\delta</math> = 9.31 (s, 2H), 9.02 (t, <math>J</math> = 6.0 Hz, 1H), 7.85 (m, 2H), 3.80-4.11 (m, 6H), 3.56 (m, 2H), 2.77 (m, 2H), 2.62 (t, <math>J</math> = 7.2 Hz, 2H), 1.92 (m, 1H), 1.76 (m, 2H), 1.47 (s, 3H), 1.18 (m, 5H), 0.76 (m, 2H), 0.60 (m, 2H); <math>[\text{M}+\text{H}]^+</math> <math>\text{C}_{27}\text{H}_{33}\text{F}_2\text{N}_4\text{O}_6</math> についての MS 計算値: 547.2, 実測値: 547.2.</p>	10
<p><b>J9</b></p>		<p><math>^1\text{H-NMR}</math> (400 MHz, DMSO-<math>d_6</math>) <math>\delta</math> = 12.71 (s, 1H), 9.34 (s, 2H), 9.17 (t, <math>J</math> = 6.0 Hz, 1H), 7.87 (m, 2H), 3.72-4.10 (m, 6H), 2.76 (m, 2H), 1.91 (m, 1H), 1.76 (m, 2H), 1.46 (s, 3H), 1.17 (m, 2H), 0.76 (m, 2H), 0.60 (m, 2H); <math>[\text{M}+\text{H}]^+</math> <math>\text{C}_{24}\text{H}_{27}\text{F}_2\text{N}_4\text{O}_6</math> についての MS 計算値: 505.2, 実測値: 505.2.</p>	20
<p><b>J10</b></p>		<p><math>^1\text{H-NMR}</math> (400 MHz, DMSO-<math>d_6</math>) <math>\delta</math> = 9.34 (s, 2H), 9.21 (t, <math>J</math> = 6.0 Hz, 1H), 7.88 (m, 2H), 3.82-4.09 (m, 6H), 2.76 (m, 2H), 1.92 (m, 1H), 1.76 (m, 2H), 1.46 (s, 3H), 1.44 (s, 9H), 1.17 (m, 2H), 0.77 (m, 2H), 0.60 (m, 2H); <math>[\text{M}+\text{H}]^+</math> <math>\text{C}_{28}\text{H}_{35}\text{F}_2\text{N}_4\text{O}_6</math> についての MS 計算値: 561.2, 実測値: 561.3.</p>	30
			40

【表 2 4】

<p><b>J11</b></p> 		<p><math>^1\text{H-NMR}</math> (400 MHz, DMSO-<math>d_6</math>) <math>\delta</math> = 8.16 (d, <math>J</math> = 2.0 Hz, 1H), 7.55 (s, 1H), 7.46 (m, 2H), 3.92 (m, 4H), 2.75 (m, 2H), 1.90 (m, 1H), 1.75 (m, 2H), 1.46 (s, 3H), 1.15 (m, 2H), 0.76 (m, 2H), 0.59 (m, 2H); <math>[\text{M}+\text{H}]^+</math> <math>\text{C}_{23}\text{H}_{24}\text{F}_2\text{N}_3\text{O}_5</math> についての MS 計算値: 460.2, 実測値: 460.2.</p>	10
<p><b>J12</b></p> 		<p><math>^1\text{H-NMR}</math> (400 MHz, <math>\text{CDCl}_3</math>) <math>\delta</math> = 8.93 (s, 2H), 7.15 (m, 2H), 4.14 (m, 2H), 4.05 (d, <math>J</math> = 6.4 Hz, 2H), 3.87 (m, 2H), 3.43 (m, 2H), 2.76 (t, <math>J</math> = 2.4 Hz, 2H), 2.54 (m, 2H), 2.43 (m, 2H), 2.33 (s, 3H), 1.98 (m, 1H), 1.85 (m, 2H), 1.55 (s, 3H), 1.28 (m, 2H), 0.86 (m, 2H), 0.62 (m, 2H); <math>[\text{M}+\text{H}]^+</math> <math>\text{C}_{27}\text{H}_{34}\text{F}_2\text{N}_5\text{O}_4</math> についての MS 計算値: 530.3, 実測値: 530.2.</p>	20
<p><b>J13</b></p> 		<p><math>^1\text{H-NMR}</math> (400 MHz, DMSO-<math>d_6</math>, 回転異性体, HCl 塩) <math>\delta</math> = 9.94 および 10.08 (bs, 1H), 9.287 および 9.282 (s, 2H), 7.82 (m, 2H), 4.05 (d, <math>J</math> = 6.4 Hz, 2H), 3.70-4.02 (m, 3.2H), 3.52 (m, 0.8H), 3.37 (m, 2H), 3.06 (s, 1.1H), 2.88 (m, 5.8H), 2.76 (m, 4.1H), 3.09 (m, 2H), 1.91 (m, 1H), 1.76 (m, 2H), 1.46 (s, 3H), 1.17 (m, 2H), 0.76 (m, 2H), 0.60 (m, 2H); <math>[\text{M}+\text{H}]^+</math> <math>\text{C}_{27}\text{H}_{36}\text{F}_2\text{N}_5\text{O}_4</math> についての MS 計算値: 532.3, 実測値: 532.2.</p>	30

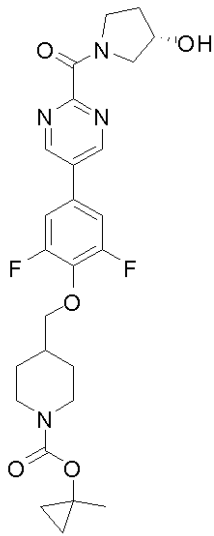
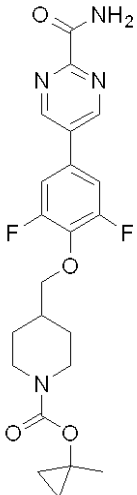
【 0 1 4 8 】

【表 2 5】

<p><b>J14</b></p>		<p><sup>1</sup>H-NMR (400 MHz, DMSO-d<sub>6</sub>) δ = 9.31 (s, 2H), 8.84 (t, <i>J</i> = 5.6 Hz, 1H), 7.85 (m, 2H), 4.82 (t, <i>J</i> = 5.6 Hz, 1H), 4.06 (d, <i>J</i> = 6.4 Hz, 2H), 3.94 (m, 2H), 3.54 (m, 2H), 3.41 (m, 2H), 2.75 (m, 2H), 1.92 (m, 1H), 1.76 (m, 2H), 1.46 (s, 3H), 1.16 (m, 2H), 0.76 (m, 2H), 0.60 (m, 2H); [M+H]<sup>+</sup> C<sub>24</sub>H<sub>29</sub>F<sub>2</sub>N<sub>4</sub>O<sub>5</sub> についての MS 計算値: 491.2, 実測値: 491.1.</p>	10
<p><b>J15</b></p>		<p><sup>1</sup>H-NMR (400 MHz, DMSO-d<sub>6</sub>) δ = 9.30 (s, 2H), 8.98 (t, <i>J</i> = 6.0 Hz, 1H), 7.84 (m, 2H), 4.56 (t, <i>J</i> = 5.2 Hz, 1H), 4.05 (d, <i>J</i> = 6.4 Hz, 2H), 3.94 (m, 2H), 3.48 (m, 2H), 3.38 (m, 2H), 2.76 (m, 2H), 1.92 (m, 1H), 1.76 (m, 2H), 1.70 (p, <i>J</i> = 6.4 Hz, 2H), 1.46 (s, 3H), 1.17 (m, 2H), 0.76 (m, 2H), 0.60 (m, 2H); [M+H]<sup>+</sup> C<sub>25</sub>H<sub>31</sub>F<sub>2</sub>N<sub>4</sub>O<sub>5</sub> についての MS 計算値: 505.2, 実測値: 505.1.</p>	20
<p><b>J16</b></p>		<p><sup>1</sup>H-NMR (400 MHz, CDCl<sub>3</sub>) δ = 8.93 (s, 2H), 7.15 (m, 2H), 4.00-4.35 (m, 8H), 3.76 (m, 2H), 2.91 (m, 2H), 2.76 (t, <i>J</i> = 12.4 Hz, 2H), 1.97 (m, 1H), 1.84 (m, 2H), 1.55 (s, 3H), 1.27 (m, 2H), 0.85 (m, 2H), 0.62 (m, 2H); [M+H]<sup>+</sup> C<sub>26</sub>H<sub>32</sub>F<sub>2</sub>N<sub>4</sub>O<sub>5</sub> についての MS 計算値: 533.2, 実測値: 533.2.</p>	30
			40



【表 27】

<p><b>J19</b></p>		<p><sup>1</sup>H-NMR (400 MHz, DMSO-d<sub>6</sub>) δ = 9.270 および 9.265 (s, 2H), 7.81 (m, 2H), 5.06 (d, <i>J</i> = 3.2 Hz, 0.5H), 5.01 (d, <i>J</i> = 3.6 Hz, 0.5H), 4.36 および 4.27 (m, 1H), 4.05 (d, <i>J</i> = 6.4 Hz, 2H), 3.93 (m, 2H), 3.33-3.65 (m, 3.5H), 3.17 (m, 0.5H), 2.76 (m, 2H), 1.71-2.02 (m, 5H), 1.46 (s, 3H), 1.17 (m, 2H), 0.76 (m, 2H), 0.60 (m, 2H); [M+H]<sup>+</sup> C<sub>26</sub>H<sub>31</sub>F<sub>2</sub>N<sub>4</sub>O<sub>5</sub> についての MS 計算値: 517.2, 実測値: 517.2.</p>
<p><b>J20</b></p>		<p><sup>1</sup>H-NMR (400 MHz, DMSO-d<sub>6</sub>) δ = 9.30 (s, 2H), 8.26 (s, 1H), 7.84 (m, 3H), 4.05 (d, <i>J</i> = 6.4 Hz, 2H), 3.94 (m, 2H), 2.75 (m, 2H), 1.92 (m, 1H), 1.76 (m, 2H), 1.46 (s, 3H), 1.17 (m, 2H), 0.76 (m, 2H), 0.60 (m, 2H); [M+H]<sup>+</sup> C<sub>22</sub>H<sub>25</sub>F<sub>2</sub>N<sub>4</sub>O<sub>4</sub> についての MS 計算値: 447.2, 実測値: 475.1.</p>

10

20

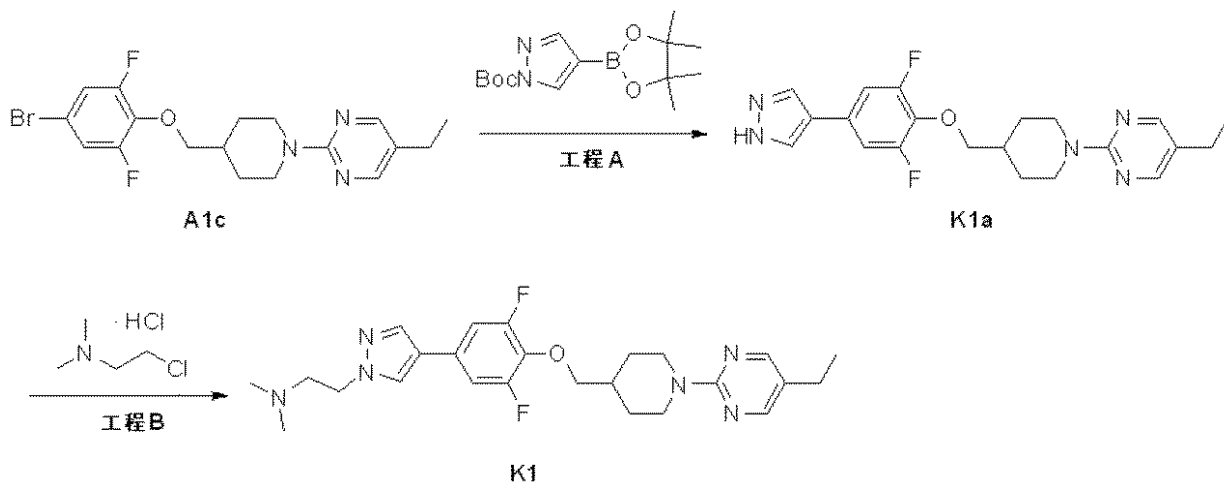
30

【0150】

実施例 K 1

2 - ( 4 - ( 4 - ( ( 1 - ( 5 - エチルピリミジン - 2 - イル ) ピペリジン - 4 - イル ) メトキシ ) - 3, 5 - ジフルオロフェニル ) - 1 H - ピラゾール - 1 - イル ) - N, N - ジメチルエタンアミン

【化 28】



40

50

工程 A : マイクロ波バイアルで。中間体 A 1 c (310 mg、0.75 mmol)、6 - クロロ - 2 - メチルピリジン - 3 - イルボロン酸 (243 mg、0.83 mmol)、Pd(dppf)Cl<sub>2</sub> (33 mg、0.045 mmol) の乾燥ジオキサン (4 mL) 中の混合物を 1 M Cs<sub>2</sub>CO<sub>3</sub> (0.9 ml、0.9 mmol) で処理する。バイアルを密閉し、窒素雰囲気下でマイクロ波照射する (120、15 分間)。冷却後、混合物を EtOAc で希釈し、塩水で洗浄し、乾燥させ (Na<sub>2</sub>SO<sub>4</sub>)、真空で濃縮する。フラッシュクロマトグラフィー (EtOAc / ヘキサン 勾配) での精製により、2 - (4 - ((2,6 - ジフルオロ - 4 - (1H - ピラゾール - 4 - イル)フェノキシ)メチル)ピペリジン - 1 - イル) - 5 - エチルピリミジン K 1 a を白色固体として得る：<sup>1</sup>H-NMR (400 MHz, CDCl<sub>3</sub>) = 10.24 (br s, 1H), 8.19 (s, 2H), 7.80 (s, 2H), 7.06 (d, J = 9.2 Hz, 2H), 4.78 (d, J = 13.2 Hz, 2H), 4.02 (d, J = 6.8 Hz, 2H), 2.96 (td, J = 12.8, 2.8 Hz, 2H), 2.48 (q, J = 7.6 Hz, 2H), 2.10 (m, 1H), 1.96 (d, J = 13.2 Hz, 2H), 1.35 (qd, J = 12.0, 4.0 Hz, 2H), 1.18 (t, J = 7.6 Hz, 3H); <sup>19</sup>F-NMR (376.5 MHz, CDCl<sub>3</sub>) = -127.90; [M+H]<sup>+</sup> C<sub>21</sub>H<sub>24</sub>F<sub>2</sub>N<sub>5</sub>O についての MS 計算値: 400.2, 実測値: 400.2。

10

## 【 0 1 5 1 】

工程 B : 中間体 K 1 a (22 mg、0.05 mmol)、2 - クロロ - N,N - ジメチルエタンアミンヒドロクロライド (17 mg、0.12 mmol) および Cs<sub>2</sub>CO<sub>3</sub> (80 mg、0.245 mmol) の MeCN (3 mL) 中の混合物を 80 で 1 時間加熱する。混合物を次いで rt に冷却し、セライトを通して濾過し、MeCN および CH<sub>2</sub>Cl<sub>2</sub> で洗浄する。溶媒を蒸発させ、残留物をフラッシュクロマトグラフィー (EtOAc / ヘキサン 勾配) で精製して、表題化合物 (実施例 K 1) を得る：<sup>1</sup>H-NMR (400 MHz, CDCl<sub>3</sub>) = 8.17 (s, 2H), 7.66 (d, J = 8.0 Hz, 2H), 6.98 (d, J = 9.6 Hz, 2H), 4.76 (br. d, J = 13.2 Hz, 2H), 4.23 (t, J = 6.8 Hz, 2H), 3.97 (d, J = 6.8 Hz, 2H), 2.91 (td, J = 12.8, 2.4 Hz, 2H), 2.77 (t, J = 6.8 Hz, 2H), 2.45 (q, J = 7.6 Hz, 2H), 2.28 (s, 6H), 2.14-2.03 (m, 1H), 1.99-1.92 (m, 2H), 1.34 (qd, J = 12.4, 4.4 Hz, 2H), 1.18 (t, J = 7.6 Hz, 3H); <sup>19</sup>F-NMR (376.5 MHz, CDCl<sub>3</sub>) = -128.15; [M+H]<sup>+</sup> C<sub>25</sub>H<sub>33</sub>F<sub>2</sub>N<sub>6</sub>O についての MS 計算値: 471.3, 実測値: 471.2。

20

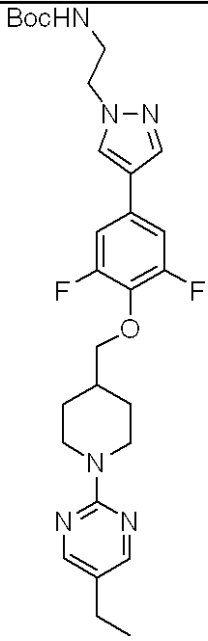
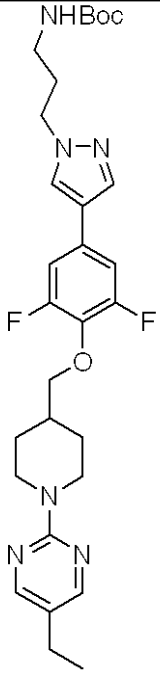
## 【 0 1 5 2 】

上記実施例 K 1 に記載する方法を、適当な出発物質を使用して繰り返して、以下の表 7 に同定する式 I の化合物が得られる：

30

【表 2 8】

表 7

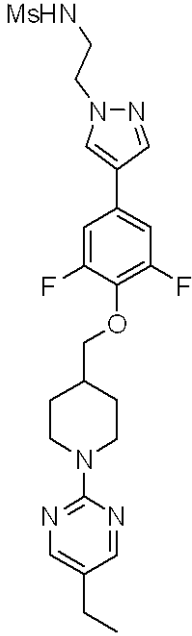
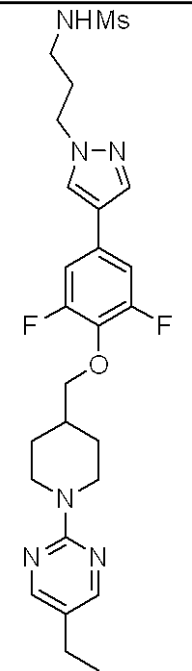
実施例番号	構造	NMR および/または ESMS
<b>K2</b>		$^1\text{H-NMR}$ (400 MHz, $\text{CDCl}_3$ ) $\delta$ = 8.16 (s, 2H), 7.70 (d, $J$ = 0.8 Hz, 1H), 7.56 (s, 1H), 6.97 (d, $J$ = 9.6 Hz, 2H), 4.88 (br. t, 1H), 4.76 (br. d, $J$ = 13.2 Hz, 2H), 4.24 (t, $J$ = 5.6 Hz, 2H), 3.98 (d, $J$ = 6.4 Hz, 2H), 3.63-3.55 (m, 2H), 2.91 (td, $J$ = 12.8, 2.4 Hz, 2H), 2.45 (q, $J$ = 7.6 Hz, 2H), 2.14-2.03 (m, 1H), 1.98-1.92 (m, 2H), 1.43 (s, 9H), 1.35 (qd, $J$ = 12.4, 4.0 Hz, 2H), 1.18 (t, $J$ = 7.2 Hz, 3H); $^{19}\text{F-NMR}$ (376.5 MHz, $\text{CDCl}_3$ ) $\delta$ = -127.91; $[\text{M}+\text{H}]^+$ $\text{C}_{28}\text{H}_{37}\text{F}_2\text{N}_6\text{O}_3$ についての MS 計算値: 543.3, 実測値: 543.2.
<b>K3</b>		$^1\text{H-NMR}$ (400 MHz, $\text{CDCl}_3$ ) $\delta$ = 8.16 (s, 2H), 7.67 (d, $J$ = 0.8 Hz, 1H), 7.60 (s, 1H), 6.97 (d, $J$ = 9.2 Hz, 2H), 4.76 (br. d, $J$ = 13.2 Hz, 2H), 4.64 (br. s, 1H), 4.20 (t, $J$ = 6.4 Hz, 2H), 3.97 (d, $J$ = 6.4 Hz, 2H), 3.44 (t, $J$ = 6.4 Hz, 1H), 3.27 (q, $J$ = 6.4 Hz, 1H), 3.13 (q, $J$ = 6.0 Hz, 2H), 2.91 (td, $J$ = 12.8, 2.4 Hz, 2H), 2.45 (q, $J$ = 7.6 Hz, 2H), 2.14-2.00 (m, 1H), 2.05 (t, $J$ = 6.4 Hz, 2H), 1.98-1.92 (m, 2H), 1.43 (s, 9H), 1.34 (qd, $J$ = 12.4, 4.0 Hz, 2H), 1.18 (t, $J$ = 7.6 Hz, 3H); $^{19}\text{F-NMR}$ (376.5 MHz, $\text{CDCl}_3$ ) $\delta$ = -128.04; $[\text{M}+\text{H}]^+$ $\text{C}_{29}\text{H}_{39}\text{F}_2\text{N}_6\text{O}_3$ についての MS 計算値: 557.3, 実測値: 557.2.

10

20

30

【表 29】

<p><b>K4</b></p>		<p><math>^1\text{H-NMR}</math> (400 MHz, <math>\text{CDCl}_3</math>) <math>\delta</math> = 8.17 (s, 2H), 7.71 (s, 1H), 7.63 (s, 1H), 6.97 (d, <math>J</math> = 9.2 Hz, 2H), 5.08 (t, <math>J</math> = 6.4 Hz, 1H), 4.75 (br. d, <math>J</math> = 13.2 Hz, 2H), 4.34-4.31 (m, 2H), 3.98 (d, <math>J</math> = 6.8 Hz, 2H), 3.66-3.62 (m, 2H), 2.95 (s, 3H), 2.91 (td, <math>J</math> = 12.8, 2.8 Hz, 2H), 2.45 (q, <math>J</math> = 7.6 Hz, 2H), 2.14-2.02 (m, 1H), 1.98-1.92 (m, 2H), 1.33 (qd, <math>J</math> = 12.4, 4.4 Hz, 2H), 1.17 (t, <math>J</math> = 7.6 Hz, 3H); <math>^{19}\text{F-NMR}</math> (376.5 MHz, <math>\text{CDCl}_3</math>) <math>\delta</math> = -127.69; <math>[\text{M}+\text{H}]^+</math> <math>\text{C}_{24}\text{H}_{31}\text{F}_2\text{N}_6\text{O}_3\text{S}</math> についての MS 計算値: 521.2, 実測値: 521.1.</p>
<p><b>K5</b></p>		<p><math>^1\text{H-NMR}</math> (400 MHz, <math>\text{CDCl}_3</math>) <math>\delta</math> = 8.17 (s, 2H), 7.68 (s, 1H), 7.63 (s, 1H), 6.98 (d, <math>J</math> = 9.2 Hz, 2H), 4.96 (t, <math>J</math> = 6.8 Hz, 1H), 4.76 (br. d, <math>J</math> = 13.2 Hz, 2H), 4.30 (t, <math>J</math> = 6.4 Hz, 2H), 3.97 (d, <math>J</math> = 6.4 Hz, 2H), 3.13 (q, <math>J</math> = 6.4 Hz, 2H), 2.96 (s, 3H), 2.90 (td, <math>J</math> = 13.2, 2.4 Hz, 2H), 2.45 (q, <math>J</math> = 7.6 Hz, 2H), 2.15-2.03 (m, 3H), 1.98-1.92 (m, 2H), 1.34 (qd, <math>J</math> = 12.8, 4.4 Hz, 2H), 1.18 (t, <math>J</math> = 7.6 Hz, 3H); <math>^{19}\text{F-NMR}</math> (376.5 MHz, <math>\text{CDCl}_3</math>) <math>\delta</math> = -125.12; <math>[\text{M}+\text{H}]^+</math> <math>\text{C}_{25}\text{H}_{33}\text{F}_2\text{N}_6\text{O}_3\text{S}</math> についての MS 計算値: 535.2, 実測値: 535.2.</p>

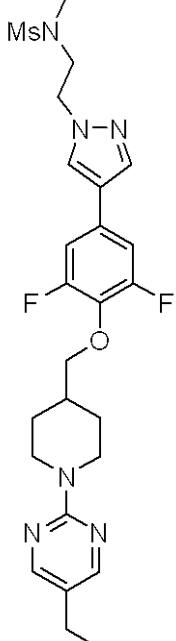
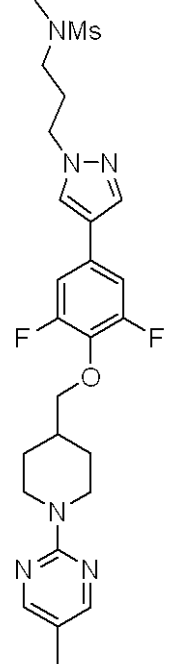
10

20

30

【 0 1 5 3 】

【表 3 0】

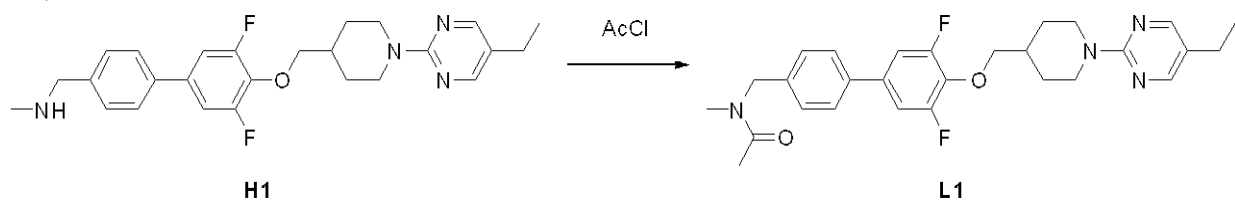
<p><b>K6</b></p>		<p><sup>1</sup>H-NMR (400 MHz, CDCl<sub>3</sub>) δ = 8.16 (s, 2H), 7.72 (s, 1H), 7.67 (s, 1H), 6.98 (d, <i>J</i> = 9.2 Hz, 2H), 4.75 (br. d, <i>J</i> = 13.2 Hz, 2H), 4.34 (t, <i>J</i> = 6.0 Hz, 2H), 3.97 (d, <i>J</i> = 6.4 Hz, 2H), 3.61 (t, <i>J</i> = 5.6 Hz, 2H), 2.91 (td, <i>J</i> = 13.2, 2.4 Hz, 2H), 2.76 (s, 3H), 2.66 (s, 3H), 2.45 (q, <i>J</i> = 7.6 Hz, 2H), 2.14-2.02 (m, 1H), 1.98-1.92 (m, 2H), 1.33 (qd, <i>J</i> = 12.4, 4.4 Hz, 2H), 1.18 (t, <i>J</i> = 7.6 Hz, 3H); <sup>19</sup>F-NMR (376.5 MHz, CDCl<sub>3</sub>) δ = -127.82; [M+H]<sup>+</sup> C<sub>25</sub>H<sub>33</sub>F<sub>2</sub>N<sub>6</sub>O<sub>3</sub>S についての MS 計算値: 535.2, 実測値: 535.2.</p>
<p><b>K7</b></p>		<p><sup>1</sup>H-NMR (400 MHz, CDCl<sub>3</sub>) δ = 8.17 (s, 2H), 7.71 (s, 1H), 7.69 (s, 1H), 6.99 (d, <i>J</i> = 9.2 Hz, 2H), 4.75 (br. d, <i>J</i> = 13.2 Hz, 2H), 4.24 (t, <i>J</i> = 6.0 Hz, 2H), 3.97 (d, <i>J</i> = 6.4 Hz, 2H), 3.14 (t, <i>J</i> = 6.4 Hz, 2H), 2.91 (td, <i>J</i> = 13.2, 2.8 Hz, 2H), 2.85 (s, 3H), 2.79 (s, 3H), 2.45 (q, <i>J</i> = 7.6 Hz, 2H), 2.18 (quintet, <i>J</i> = 6.4 Hz, 2H), 2.10-2.01 (m, 1H), 1.99-1.92 (m, 2H), 1.33 (qd, <i>J</i> = 12.4, 4.0 Hz, 2H), 1.18 (t, <i>J</i> = 7.6 Hz, 3H); <sup>19</sup>F-NMR (376.5 MHz, CDCl<sub>3</sub>) δ = -128.04; [M+H]<sup>+</sup> C<sub>26</sub>H<sub>35</sub>F<sub>2</sub>N<sub>6</sub>O<sub>3</sub>S についての MS 計算値: 549.2, 実測値: 549.2.</p>

【 0 1 5 4】

実施例 L 1

N - ((4' - ((1 - (5 - エチルピリミジン - 2 - イル)ピペリジン - 4 - イル)メトキシ) - 3', 5' - ジフルオロピフェニル - 4 - イル)メチル) - N - メチルアセトアミド

【化 2 9】



実施例 H 1 (10 mg、0.022 mmol) の CH<sub>2</sub>Cl<sub>2</sub> (1 mL) 溶液を NEt<sub>3</sub> (9 μL、0.066 mmol) およびアセチルクロライド (2.4 μL、0.033 mmol) で処理する。混合物を

次いで r t で 2 時間 攪拌 し、 $\text{CH}_2\text{Cl}_2$  で 希釈 し、飽和  $\text{NaHCO}_3$  および 塩水 で 洗淨 し、乾燥 させ ( $\text{MgSO}_4$ )、真空 で 濃縮 する。フラッシュ クロマト グラフィー ( $\text{SiO}_2$ 、 $\text{EtOAc}$  / ヘキサン 勾配) で の 精製 により、表題 化合物 (実施 例 L 1) を 得る： $^1\text{H-NMR}$  (400 MHz,  $\text{CDCl}_3$ , 回 転 異性 体 の 混合 物)  $\delta$  = 8.17 (s, 2H), 7.51 (d,  $J$  = 8.0 Hz, 1H), 7.46 (d,  $J$  = 8.0 Hz, 1H), 7.30 (d,  $J$  = 8.4 Hz, 1H), 7.24 (d,  $J$  = 8.0 Hz, 1H), 7.11 (dd,  $J$  = 9.6, 4.4 Hz, 2H), 4.75 (d,  $J$  = 13.2 Hz, 2H), 4.62 (s, 1.2H), 4.57 (s, 0.8H), 4.03 (dd,  $J$  = 6.8, 3.2 Hz, 2H), 3.97 (s, 3H), 2.93 (td,  $J$  = 12.0, 2.0 Hz, 2H), 2.46 (q,  $J$  = 7.6 Hz, 2H), 2.88 (s, 3H), 2.15-2.05 (m, 1H), 1.99-1.93 (m, 2H), 1.35 (qd,  $J$  = 12.4, 4.0 Hz, 2H), 1.19 (t,  $J$  = 7.6 Hz, 3H);  $^{19}\text{F-NMR}$  (376.5 MHz,  $\text{CDCl}_3$ )  $\delta$  = -127.75;  $[\text{M}+\text{H}]^+$   $\text{C}_{28}\text{H}_{33}\text{F}_2\text{N}_4\text{O}_2$  につい て の MS 計 算 値: 495.2, 実 測 値: 495.3。

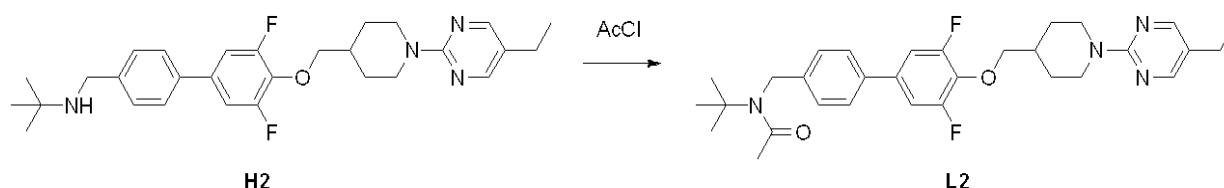
10

【 0 1 5 5 】

実施 例 L 2

N - tert - ブチル - N - ((4' - ((1 - (5 - エチルピリミジン - 2 - イル)ピペリジン - 4 - イル)メトキシ) - 3', 5' - ジフルオロピフェニル - 4 - イル)メチル)アセトアミド

【 化 3 0 】



20

実施 例 H 2 (10 mg、約 0.02 mmol) を、実施 例 L 2 に 記載 する 通り に 処理 して、表題 化合物 (実施 例 L 2) を 得る： $^1\text{H-NMR}$  (400 MHz,  $\text{CDCl}_3$ )  $\delta$  = 8.17 (s, 2H), 7.50 (d,  $J$  = 8.4 Hz, 2H), 7.29 (d,  $J$  = 8.0 Hz, 2H), 7.12 (d,  $J$  = 9.6 Hz, 2H), 4.77 (d,  $J$  = 13.2 Hz, 2H), 4.63 (s, 2H), 4.03 (d,  $J$  = 6.8 Hz, 2H), 2.92 (td,  $J$  = 13.2, 2.4 Hz, 2H), 2.46 (q,  $J$  = 7.6 Hz, 2H), 2.16-2.05 (m, 1H), 2.11 (s, 3H), 2.00-1.94 (m, 2H), 1.45 (s, 9H), 1.35 (qd,  $J$  = 13.6, 4.8 Hz, 2H), 1.18 (t,  $J$  = 7.6 Hz, 3H);  $^{19}\text{F-NMR}$  (376.5 MHz,  $\text{CDCl}_3$ )  $\delta$  = -127.68;  $[\text{M}+\text{H}]^+$   $\text{C}_{31}\text{H}_{39}\text{F}_2\text{N}_4\text{O}_2$  につい て の MS 計 算 値: 537.3, 実 測 値: 537.2。

30

【 0 1 5 6 】

生物 学 的 アッセイ

安定 細胞 株 の 製造

F1p - In - CHO 細胞 (Invitrogen, Cat.# R758-07) を、10% ウシ 胎児 血清、1% 抗 生物 質 混合 物 および 2 mM L - グルタミン を 補った HMF12 培地 に 維持 する。細胞 を、pcDNA5 / FRT ベクター および pOG44 ベクター (1 : 9) 中 に ヒト GPR119 を 含む DNA 混合 物 で、Fugene6 (Roche) を 使用 して、製造 者 の 指示 に 従い トラ ンスフェクト する。48 時間 後、培地 を 400  $\mu\text{g}/\text{ml}$  ハイグロマイシン B を 添加 した 培地 に 変え、トラ ンスフェクト され た 細胞 の 選択 を 開始 する。

40

【 0 1 5 7 】

安定 細胞 株 の 環状 AMP アッセイ

本 発明 の 化合物 の 活性 を アッセイ する ため に、F1p - In - CHO - hGPR119 細胞 を 回収 し、DMEM + 3% 脂質 涸渴 ウシ 胎児 血清 に 再懸濁 する。4  $\mu\text{l}$  の 細胞 を 384 ウェル プレート に 15,000 細胞 / ウェル 密度 で 播種 する。IBMX (3 - イソブチル - 1 - メチル - キサンチン) を 細胞 に 1 mM の 最終 濃度 で 添加 し、続いて 500 nL の 試験 化合物 を 添加 する。細胞 を 37  $^{\circ}\text{C}$  で 30 分間 インキュベート する。当量 (20  $\mu\text{l}$ ) の HTRF 試薬、抗 cAMP - クリプテート および cAMP - XL665 を 細胞 に 添加 する。プレートを r t で 1 時間 インキュベート し、製造 者 の 指示 に 従い、HTRF リーダー で 読む。

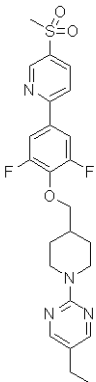
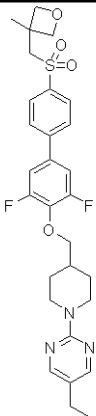
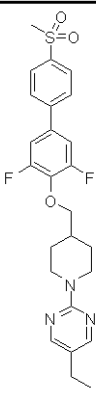
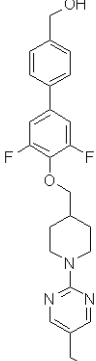
【 0 1 5 8 】

遊離 形 または 薬学 的 に 許容 され る 塩 形態 の 式 I の 化合物 は、細胞 内 cAMP レベル の 濃

50

度依存的増加を引き起こす。本発明の化合物は、 $1 \times 10^{-5} \sim 1 \times 10^{-10}$  M、好ましくは500 nM未満、より好ましくは100 nM未満の $EC_{50}$ を示す。代表的化合物とその $EC_{50}$ 値を以下の表に示す。

【表 3 1】

実施例番号	構造	CHO-hGPR119 細胞 ( $EC_{50}$ - nM)
A1		1
A3		0.7
A6		0.7
A14		5

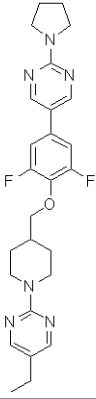
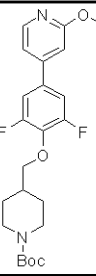
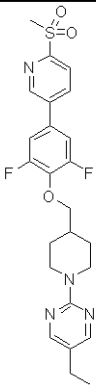
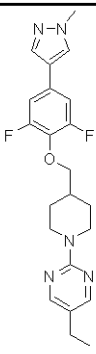
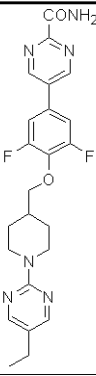
10

20

30

40

【表 3 2】

A16		171
A20		46
A22		2
A24		258
A35		9

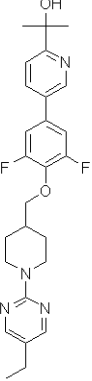
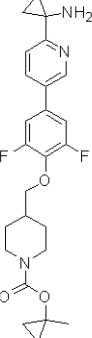
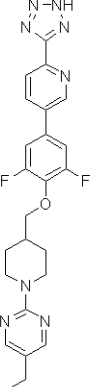
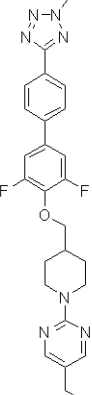
10

20

30

40

【表 3 3】

A38		29
A39		37
B5		79
C1		5

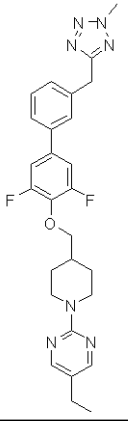
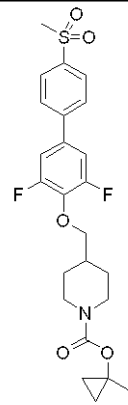
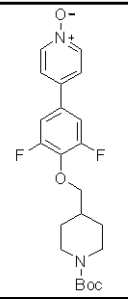
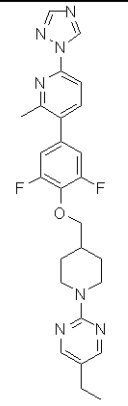
10

20

30

40

【表 3 4】

C5		22
D1		1
E1		38
F1		0.5

10

20

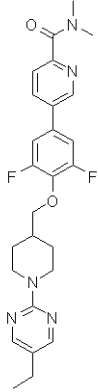
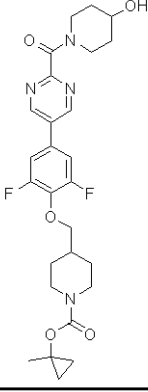
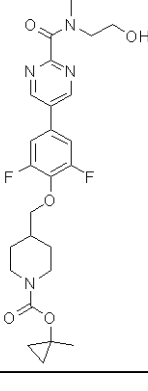
30

40

【 0 1 6 0 】



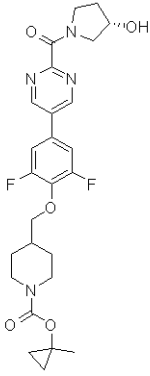
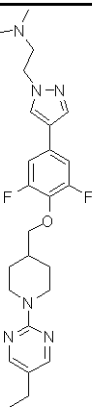
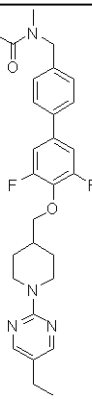
【表 3 6】

H5		28	10
I3		4	20
J1		13	30
J5		19	40

【 0 1 6 1 】



【表 3 8】

J19		47
K1		2070
L1		62

10

20

30

## 【 0 1 6 2 】

ここに記載する実施例および態様は説明の目的のみであり、それに照らした種々の修飾または変化が、当業者には示唆され、本明細書および添付する特許請求の範囲の精神および範囲内に包含されることは理解されるべきである。ここに引用する全ての刊行文献、特許および特許出願は、全ての目的について、ここに引用により包含する。

## 【 国際調査報告 】

INTERNATIONAL SEARCH REPORT		International application No PCT/US2009/050139
<b>A. CLASSIFICATION OF SUBJECT MATTER</b> INV. C07D211/30 C07D401/04 C07D401/12 C07D401/14 C07D405/14 C07D498/04 A61K31/4523 A61P3/10		
According to International Patent Classification (IPC) or to both national classification and IPC		
<b>B. FIELDS SEARCHED</b>		
Minimum documentation searched (classification system followed by classification symbols) C07D		
Documentation searched other than minimum documentation to the extent that such documents are included in the fields searched		
Electronic data base consulted during the International search (name of data base and, where practical, search terms used) EPO-Internal, CHEM ABS Data, BEILSTEIN Data, WPI Data		
<b>C. DOCUMENTS CONSIDERED TO BE RELEVANT</b>		
Category*	Citation of document, with indication, where appropriate, of the relevant passages	Relevant to claim No.
A	WO 2007/003962 A (PROSIDION LTD [GB]; BRADLEY STUART EDWARD [GB]; FYFE MATTHEW COLIN THO) 11 January 2007 (2007-01-11) page 76 - page 79; claims; examples 143,147,150	1-13
A	WO 2008/081205 A (PROSIDION LTD [GB]; BERTRAM LISA SARAH [GB]; FYFE MATTHEW COLIN THOR []) 10 July 2008 (2008-07-10) page 27 - page 31; claims; examples	1-13
A	WO 2007/003960 A (PROSIDION LTD [GB]; BRADLEY STUART EDWARD [GB]; DAWSON GRAHAM JOHN [GB]) 11 January 2007 (2007-01-11) page 66 - page 69; claims; examples 64,140,141	1-13
	----- -/-	
<input checked="" type="checkbox"/> Further documents are listed in the continuation of Box C. <input checked="" type="checkbox"/> See patent family annex.		
* Special categories of cited documents : *A* document defining the general state of the art which is not considered to be of particular relevance *E* earlier document but published on or after the international filing date *L* document which may throw doubts on priority claim(s) or which is cited to establish the publication date of another citation or other special reason (as specified) *O* document referring to an oral disclosure, use, exhibition or other means *P* document published prior to the international filing date but later than the priority date claimed *T* later document published after the international filing date or priority date and not in conflict with the application but cited to understand the principle or theory underlying the invention *X* document of particular relevance; the claimed invention cannot be considered novel or cannot be considered to involve an inventive step when the document is taken alone *Y* document of particular relevance; the claimed invention cannot be considered to involve an inventive step when the document is combined with one or more other such documents, such combination being obvious to a person skilled in the art. *Z* document member of the same patent family		
Date of the actual completion of the international search  8 October 2009		Date of mailing of the international search report  16/10/2009
Name and mailing address of the ISA/ European Patent Office, P.B. 5818 Patentlaan 2 NL - 2280 HV Rijswijk Tel. (+31-70) 340-2040, Fax: (+31-70) 340-3016		Authorized officer  Gavriliu, Daniela

## INTERNATIONAL SEARCH REPORT

International application No  
PCT/US2009/050139

C(Continuation). DOCUMENTS CONSIDERED TO BE RELEVANT		
Category*	Citation of document, with indication, where appropriate, of the relevant passages	Relevant to claim No.
A	HUBSCHWERLEN C ET AL: "Structure-activity relationship in the oxazolidinone-quinolone hybrid series: Influence of the central spacer on the antibacterial activity and the mode of action" BIOORGANIC & MEDICINAL CHEMISTRY LETTERS, PERGAMON, ELSEVIER SCIENCE, GB, vol. 13, no. 23, 1 December 2003 (2003-12-01), pages 4229-4233, XP002308675 ISSN: 0960-894X example 3i; tables 1,2	1-13
P,X	WO 2009/038974 A (IRM LLC; ALPER PHILLIP [US]; AZIMIOARA MIHAI [US]; COW CHRISTOPHER [US]) 26 March 2009 (2009-03-26) page 206 - page 212; claims; examples P1,P1c,P12-P17,U1-U4,U6	1-13

**INTERNATIONAL SEARCH REPORT**

Information on patent family members

International application No

PCT/US2009/050139

Patent document cited in search report	Publication date	Patent family member(s)	Publication date
WO 2007003962 A	11-01-2007	AU 2006264649 A1	11-01-2007
		CA 2613235 A1	11-01-2007
		EP 1910290 A2	16-04-2008
		JP 2008545009 T	11-12-2008
		KR 20080027908 A	28-03-2008
WO 2008081205 A	10-07-2008	AR 064736 A1	22-04-2009
		AU 2008203673 A1	10-07-2008
		CA 2674093 A1	10-07-2008
		CL 172008 A1	01-08-2008
WO 2007003960 A	11-01-2007	EP 1907383 A1	09-04-2008
		JP 2008545007 T	11-12-2008
WO 2009038974 A	26-03-2009	PE 07082009 A1	15-07-2009

## フロントページの続き

(51)Int.Cl.	F I	テーマコード(参考)
A 6 1 K 31/5377 (2006.01)	A 6 1 K 31/5377	
A 6 1 K 31/4545 (2006.01)	A 6 1 K 31/4545	
C 0 7 D 401/12 (2006.01)	C 0 7 D 401/12	
C 0 7 D 413/14 (2006.01)	C 0 7 D 413/14	
C 0 7 D 498/04 (2006.01)	C 0 7 D 498/04	1 0 5
C 0 7 D 405/14 (2006.01)	C 0 7 D 405/14	
A 6 1 P 3/04 (2006.01)	A 6 1 P 3/04	
A 6 1 P 3/06 (2006.01)	A 6 1 P 3/06	
A 6 1 P 3/10 (2006.01)	A 6 1 P 3/10	
A 6 1 P 3/00 (2006.01)	A 6 1 P 3/00	
A 6 1 P 9/10 (2006.01)	A 6 1 P 9/10	
A 6 1 P 9/00 (2006.01)	A 6 1 P 9/10	1 0 3
A 6 1 P 9/12 (2006.01)	A 6 1 P 9/00	
A 6 1 P 9/04 (2006.01)	A 6 1 P 9/12	
A 6 1 P 19/02 (2006.01)	A 6 1 P 9/04	
A 6 1 P 19/08 (2006.01)	A 6 1 P 19/02	
A 6 1 P 27/12 (2006.01)	A 6 1 P 19/08	
A 6 1 P 27/02 (2006.01)	A 6 1 P 27/12	
A 6 1 P 13/12 (2006.01)	A 6 1 P 27/02	
A 6 1 P 7/02 (2006.01)	A 6 1 P 13/12	
A 6 1 P 15/10 (2006.01)	A 6 1 P 7/02	
A 6 1 P 19/04 (2006.01)	A 6 1 P 9/10	1 0 1
A 6 1 P 17/00 (2006.01)	A 6 1 P 15/10	
A 6 1 P 1/04 (2006.01)	A 6 1 P 19/04	
A 6 1 P 43/00 (2006.01)	A 6 1 P 17/00	
	A 6 1 P 1/04	
	A 6 1 P 43/00	1 1 1

(81)指定国 AP(BW, GH, GM, KE, LS, MW, MZ, NA, SD, SL, SZ, TZ, UG, ZM, ZW), EA(AM, AZ, BY, KG, KZ, MD, RU, TJ, TM), EP(AT, BE, BG, CH, CY, CZ, DE, DK, EE, ES, FI, FR, GB, GR, HR, HU, IE, IS, IT, LT, LU, LV, MC, MK, MT, NL, NO, PL, PT, RO, SE, SI, SK, SM, TR), OA(BF, BJ, CF, CG, CI, CM, GA, GN, GQ, GW, ML, MR, NE, SN, TD, TG), AE, AG, AL, AM, AO, AT, AU, AZ, BA, BB, BG, BH, BR, BW, BY, BZ, CA, CH, CL, CN, CO, CR, CU, CZ, DE, DK, DM, DO, DZ, EC, EE, EG, ES, FI, GB, GD, GE, GH, GM, GT, HN, HR, HU, ID, IL, IN, IS, JP, KE, KG, KM, KN, KP, KR, KZ, LA, LC, LK, LR, LS, LT, LU, LY, MA, MD, ME, MG, MK, MN, MW, MX, MY, MZ, NA, NG, NI, NO, NZ, OM, PG, PH, PL, PT, RO, RS, RU, SC, SD, SE, SG, SK, SL, SM, ST, SV, SY, TJ, TM, TN, TR, TT, TZ, UA, UG, US, UZ, VC, VN, ZA, ZM, ZW

(74)代理人 100067035

弁理士 岩崎 光隆

(74)代理人 100156144

弁理士 落合 康

(72)発明者 ロベルト・エツブレ

アメリカ合衆国 9 2 1 2 2 カリフォルニア州サンディエゴ、ピア・サン・サバ 8 0 4 5 番

(72)発明者 ゲラルト・レライス

アメリカ合衆国 9 2 1 3 0 カリフォルニア州サンディエゴ、カミニト・デル・マー・サーフ 3 9 6 5 番

(72)発明者 ビクター・ニクリン

アメリカ合衆国 9 2 0 0 9 カリフォルニア州カールスバッド、ピスタ・リカ 3 1 6 4 番

(72)発明者 ルーカス・ウエストコット - ベイカー

アメリカ合衆国 9 3 1 1 7 カリフォルニア州ゴleta、アパートメント 1 0 1、エルクス・ウォーク  
7 3 1 番

F ターム(参考) 4C054 AA02 CC04 DD01 EE01 FF04 FF12  
4C063 AA01 AA03 AA05 BB01 BB02 BB04 BB07 BB08 CC12 CC29  
CC41 CC47 CC52 CC72 DD03 DD10 DD12 EE01  
4C072 AA01 BB02 CC02 CC11 EE03 FF07 GG07 HH02 HH07  
4C086 AA01 AA02 AA03 BC21 BC42 BC60 BC62 BC69 BC73 CB22  
GA02 GA07 GA08 GA09 GA12 MA01 MA04 MA17 MA22 MA23  
MA28 MA31 MA32 MA35 MA37 MA52 MA59 MA63 MA66 NA14  
ZA33 ZA36 ZA37 ZA40 ZA42 ZA45 ZA54 ZA68 ZA70 ZA81  
ZA89 ZA94 ZA96 ZA97 ZC02 ZC21 ZC33 ZC35